

**Escuela Técnica Superior De Ingenieros
Industriales y de Telecomunicación.**

**Modelado Computacional de un Banco de
Ensayos para un Bogie de Tren a Escala del
laboratorio IMAC.**



**Máster en Ingeniería Mecánica Aplicada y
Computacional.**

Trabajo Fin de Estudios.

José David Fuentes Lárez

Pamplona, 12 de Febrero de 2016



Agradecimientos

En primer lugar, agradecer a todas las personas que han estado involucradas de alguna manera en este proyecto y que no solo me han dado su apoyo sino el ánimo de continuar, no ha sido un camino fácil, sin embargo solo de estos es donde el aprendizaje queda, a mis amigos en especial a Javier Lopez quien me acompaña en cada paso dado en este Máster y que nunca dejo de darme su apoyo aun en los momentos mas difíciles, a mis compañeros del curso quienes me han mostrado un compañerismo que va mas allá de todo, a mi amiga Esti que esta muy molesta conmigo (estoy seguro que se le va a pasar), y a todos los profesores involucrados en especial Javier Ros y Aitor Plaza, quienes se dieron a la tarea de transmitir sus conocimientos de manera abnegada en todo momento y por lo cual tienen mi aprecio, y para terminar, a las personas mas importantes, con las que con mucha suerte algún ser humano pueda contar, y creo que tuve la suerte de tener a los mas especiales, a mis hermanos y mis padres quienes no paran de darme su apoyo todos los días y que en la distancia se las arreglaron para estar conmigo y apoyarme, no me queda mas sino decir: Gracias!

Abstract

In this work we show a Multibody model for the dinamic simulation of the testing bench of a scaled railway of the laboratory IMAC. Taking an special account to the characterization of the forces and moments that is being produced in the contact point between the wheelset and the rail. so the representation of the bogie could be as accurate as possible.

The contact model used in the present work is the one presented by the Kalker linear theory, which relates the creeps produced in the contact point between the wheels with the tangencial forces and moments produced in this point through certain values and equations. To find the numeric solution in face of the differential equations obtained of the dynamics, has been precised the use of the Euler implicit Linear kalker model which is the application of Euler explicit for all the model except for the introduction of the Kalker forces that solves in the model in the implicit way.

Once we finish the model, its important to know that its possible keep including a more number or functions or effects, that will become more accurate, realistic and capable to adapt to a mayor number of situations.

keywords :KALKER,Contact,Wheel-Rail,Hertz ,Model,Multibody,Simulation.

Resumen

En este Trabajo se presenta un modelo Multibody para la simulación de la dinámica del banco de ensayos de bogie de tren a escala del laboratorio IMAC. Prestando especial atención a la caracterización de las fuerzas y momentos que se producen en el punto de contacto de la rueda con el raíl, de forma que el comportamiento del Bogie sea lo más preciso posible.

El modelo de contacto utilizado es el presentado por la teoría lineal de Kalker la cual relaciona los pseudo deslizamientos producidos en el punto de contacto entre las ruedas, con las fuerzas tangenciales y momento producidos en este punto a través de ciertos parámetros y ecuaciones. Para hallar la solución numérica ante las ecuaciones diferenciales obtenidas de la dinámica, ha sido preciso utilizar el método de integración de Euler explícito-implícito el cual es explícito para todo excepto para las fuerzas de Kalker que se trabajan de manera implícita en el modelo.

Una vez terminado el planteamiento del modelo, es importante tener en cuenta que es posible seguir incluyendo un mayor número de efectos que lo harían ser más preciso, más realista y capaz de adaptarse a un mayor número de situaciones.

Palabras claves :KALKER,Contacto,Rueda-Rail,Hertz ,Modelo, Multibody,Simulador.

Índice general

Agradecimientos	III
Abstract	IV
Resumen	1
Lista de figuras	4
1. Introducción	7
1.1. Introducción	7
1.2. Objeto	8
1.3. Sistemas Multi-cuerpo	9
1.3.1. Cinemática	9
1.3.2. Ecuaciones Cinemáticas	10
1.3.3. Ecuaciones Cinemáticas para las Velocidades Generalizadas	10
1.3.4. Ecuaciones Cinemática para las Aceleraciones Generalizadas:	10
1.3.5. Tipos de Coordenadas	11
1.3.6. Problemas de posición, velocidad y aceleración iniciales .	12
1.3.7. Simulación cinemática	12
1.3.8. Dinámica	13
1.3.9. Estructura del sistema de Ecuaciones Dinámico	14
1.3.10. Estructura del Sistema de Ecuaciones Dinámico	15
2. El Modelo	16
2.1. Descripción del Modelo	16
2.2. Características generales del banco de pruebas	16
2.2.1. Perfil de la Rueda	21
2.2.2. Obtención de los coeficientes de los splines	24
2.3. lib_3D_mec	26
3. Desarrollo Del Modelo	27
3.1. Modelo Computacional	27
3.1.1. Parametrización	27
3.1.2. Restricciones	32
3.2. Nomenclatura	32

3.2.1. Sólidos	33
3.2.2. Bases	33
3.2.3. Puntos	33
4. El Modelo lineal de Kalker	35
4.1. Modelo lineal de Kalker	35
4.1.1. El Problema Normal	35
4.1.2. El Problema Tangencial	39
5. Implementación de Kalker en el Modelo Multicuerpo	42
5.1. Parametrización de la superficie	42
5.2. Fuerzas Externas en el Modelo	43
5.2.1. Muelles de Unión	43
5.2.2. Muelle de fijación	45
5.2.3. Fuerzas de Kalker	45
5.2.4. Par Torsor en el Raíl	45
5.3. Obtención de las Variables Mediante el Modelo Dinámico	45
5.3.1. Obtención de las Velocidades de Creep en el Modelo	45
5.4. Obtención de las fuerzas de Kalker	46
5.4.1. El problema de equilibrio	46
5.4.2. Integración con Kalker	47
5.4.3. Oscilación de Klingel	48
6. Validación cualitativa del modelo	51
6.1. Validación del modelo en condición de operación ideal	51
6.1.1. Par motor aplicado desde el raíl	51
6.1.2. Par motor aplicado desde el raíl y un desplazamiento en dirección y del bogie	57
6.1.3. Inclinación de la bancada	66
6.1.4. Conclusiones	75
6.1.5. Otras simulaciones y pruebas	75
7. Mejoras en el modelo	77
7.0.6. Transmisión del Par Motor	77
7.0.7. Tiempo de integración	77
Apéndice	79
Valores de los Parámetros	79
Coordenadas	80
Fichero Símbolico lib_3D_mec	81
Fichero de integración en MATLAB	130
Fichero Solve Dynamics2	144
Fichero KalkerCoeffUpdate2	146
Fichero de Calculo de Splines en MATLAB	148

Índice de figuras

1.1.	Banco de ensayos	7
2.1.	Bogie	17
2.2.	Whelseet	17
2.3.	Bancada	18
2.4.	Ruedas	19
2.5.	Rail	20
2.6.	Perfil de la rueda	22
2.7.	Datos del perfil	23
2.8.	Perfil en MATLAB	25
2.9.	Perfil en MATLAB con splines	26
3.1.	Modelo del Bogie	28
4.1.	Contacto de Hertz	36
4.2.	coeficientes de Hertz	38
4.3.	coeficientes de Hertz cont.	39
4.4.	coeficientes de Hertz cont2.	39
4.5.	coeficientes de Kalker.	40
5.1.	vector de posición del centro del rodamiento definido desde el Wheelset.	44
5.2.	vector de posición del centro del rodamiento definido desde el chasis	44
5.3.	Oscilacion de Klingel	50
6.1.	Desplazamientos en el eje x del bogie en el tiempo	52
6.2.	Desplazamientos en el eje y del bogie en el tiempo	52
6.3.	Desplazamientos en el eje y de la rueda en el punto de contacto en el tiempo	53
6.4.	Desplazamientos en el eje y del rail en el punto de contacto en el tiempo	53
6.5.	Desplazamientos en el eje z del bogie en el tiempo	54
6.6.	Giros en rad de las ruedas y el rail	54
6.7.	Velocidad en rad/s de las ruedas y rail	55

6.8. Fuerzas de Kalker en la dirección x entre la rueda y el rail en el tiempo	55
6.9. Fuerzas de Kalker en la dirección y entre la rueda y el rail en el tiempo	56
6.10. Momento de Kalker en la dirección z entre la rueda y el rail en el tiempo	56
6.11. Desplazamientos en el eje x del bogie en el tiempo	58
6.12. Desplazamientos en el eje y del bogie en el tiempo	58
6.13. Desplazamientos en el eje y de la rueda en el punto de contacto en el tiempo	59
6.14. Desplazamientos en el eje y del rail en el punto de contacto en el tiempo	59
6.15. Desplazamientos en el eje z del bogie en el tiempo	60
6.16. Giros en rad alrededor del eje x	60
6.17. Giros en rad de las ruedas y el rail	61
6.18. Giros en rad alrededor del eje y	61
6.19. Giros en rad alrededor del eje y	62
6.20. Giros en rad alrededor del eje y	62
6.21. Giros en rad alrededor del eje z	63
6.22. Velocidad en rad/s de las ruedas y rail	63
6.23. longitud de arco vs desplazamiento en U	64
6.24. Fuerzas de Kalker en la dirección x entre la rueda y el rail en el tiempo	64
6.25. Fuerzas de Kalker en la dirección y entre la rueda y el rail en el tiempo	65
6.26. Momento de Kalker en la dirección z entre la rueda y el rail en el tiempo	65
6.27. longitud de arco vs desplazamiento en U	66
6.28. Desplazamientos en el eje x del bogie en el tiempo	67
6.29. Desplazamientos en el eje y del bogie en el tiempo	67
6.30. Desplazamientos en el eje y de la rueda en el punto de contacto en el tiempo	68
6.31. Desplazamientos en el eje y del rail en el punto de contacto en el tiempo	68
6.32. Desplazamientos en el eje z del bogie en el tiempo	69
6.33. Giros en rad alrededor del eje x	69
6.34. Giros en rad de las ruedas y el rail	70
6.35. Giros en rad alrededor del eje y	70
6.36. Giros en rad alrededor del eje y	71
6.37. Giros en rad alrededor del eje y	71
6.38. Giros en rad alrededor del eje z	72
6.39. Velocidad en rad/s de las ruedas y rail	72
6.40. longitud de arco vs desplazamiento en U	73
6.41. Fuerzas de Kalker en la dirección x entre la rueda y el rail en el tiempo	73

6.42. Fuerzas de Kalker en la dirección y entre la rueda y el raíl en el tiempo	74
6.43. Momento de Kalker en la dirección z entre la rueda y el raíl en el tiempo	74

Capítulo 1

Introducción

1.1. Introducción

Hoy día la simulación numérica de sistemas dinámicos es un tema de interés especial para el mundo científico puesto que es usada en la industria, para predecir de alguna manera los efectos de esfuerzos y cargas a los que un elemento compuesto por diferentes cuerpos puede estar sometido.

En el laboratorio de Ingeniería Mecánica Aplicada y Computacional se encuentra un banco de ensayos de un bogie de tren a escala desarrollado en un trabajo de fin de grado con el fin de poder experimentar y obtener parámetros dinámicos del sistema.



Figura 1.1: Banco de ensayos

Un paso para esto es desarrollar un modelo dinámico que ayude a experimentar e identificar los parámetros dinámicos del conjunto.

La caracterización fiable de las fuerzas de contacto de fricción que aparecen entre el raíl y la rueda fue una de las prioridades del proyecto. Para la simulación dinámica el modelo de contacto es de gran importancia puesto que no solo tiene que describir de manera muy exacta el comportamiento del sistema sino que también tiene que ser de alguna manera discreto para que su cálculo sea óptimo en el tiempo.

Un modelo con el cual se recogen estas características es el modelo de contacto lineal de Kalker con el cual se cuenta con una serie de parámetros obtenidos a partir de la huella y de la fuerza normal ejercida entre el raíl y la rueda.

La elaboración de un simulador que fuese capaz de representar el comportamiento del banco de ensayos correctamente en situaciones diferentes tiene cierto grado complejidad. La precisión y capacidad de adaptación tienen como inconveniente un gran coste computacional - el método de integración es el método de Euler explícito-implícito con un paso de integración de 0.001 s. Esto se traduce que el tiempo de análisis es mayor que el tiempo físico del movimiento, por lo que no es posible realizar simulaciones a tiempo real.

1.2. Objeto

El objeto de este proyecto es modelar, el banco de ensayos de un bogie de tren a escala reducida mediante la técnica de sistemas Multi-cuerpo y el uso de los programas lib_3D_mec y Matlab, con los cuales podamos simular o reproducir diferentes condiciones de trabajo. Los procesos que se pretenden simular son:

1. Simulación de condiciones de trabajo estándar.
2. Obtención de las fuerzas de contacto de Kalker en cualquier instante.
3. Simulación y obtención de parámetros bajo diferentes condiciones de trabajo en cualquier instante de tiempo.

Los aspectos más importantes en el desarrollo del proyecto son:

1. Implementación del modelado del sistema en la librería lib_3D_mec.
2. Resolución del punto de contacto entre el raíl y la ruedas.
3. Implementación del modelo lineal de contacto de Kalker.
4. Simulación de la evolución en el tiempo modelo.(simulación dinámica)

Las características del modelo son:

1. Posibilidad de reproducir diversas condiciones de trabajo.
2. Posibilidad de obtener la posición del sistema en cualquier instante.

3. Posibilidad de obtener las fuerzas que se producen debido a la fricción en cualquier instante de tiempo.

En este proyecto se ha realizado toda la parte correspondiente al modelado de los elementos en lib_3D_mec y su simulación mediante sistemas multicuerpos. Además de la incorporación del modelo de contacto de Kalker.

1.3. Sistemas Multi-cuerpo

Las técnicas de la Dinámica de Sistemas Multicuerpo (DSM) permiten la simulación de cualquier sistema o subsistema mecánico, y con ello su análisis, diseño y mejora. Resulta claro por tanto el interés industrial, económico y científico de la DSM.

Por lo cual, para comprender los procedimientos y las técnicas aplicadas, procedemos a definir los términos a continuación

1.3.1. Cinemática

Habitualmente las ecuaciones de un sistema mecánico pueden plantearse en términos analíticos gracias a la definición de la posición del sistema en términos de un conjunto de variables constantes en el tiempo denominadas parámetros

$$\mathbf{p} = \begin{bmatrix} p_1 \\ \vdots \\ p_n \end{bmatrix} \quad (1.1)$$

Y de variables que varían con el tiempo denominadas coordenadas generalizadas:

$$\mathbf{q} = \begin{bmatrix} q_1 \\ \vdots \\ q_n \end{bmatrix} \quad (1.2)$$

Y cuyo objeto es describir en cada instante de tiempo, la posición del sistema mecánico. Las coordenadas generalizadas, \mathbf{q} , se relacionan mediante un conjunto de ecuaciones geométricas o ecuaciones para las coordenadas generalizadas. Dichas relaciones, en general no lineales quedan recogidas en un vector ϕ de tal forma que:

$$\Phi(\mathbf{q}, t) = \begin{bmatrix} \Phi_1(\mathbf{q}, t) \\ \vdots \\ \Phi_n(\mathbf{q}, t) \end{bmatrix} \quad (1.3)$$

1.3.2. Ecuaciones Cinemáticas

Formalmente, las ecuaciones geométricas no son más que relaciones arbitrarias entre las coordenadas \mathbf{q} , la variable tiempo, t , y un conjunto de parámetros relacionados con la geometría del sistema mecánico. Desde un punto de vista operativo, las ecuaciones geométricas se plantean como condiciones que deben cumplir los vectores de posición de puntos y vectores unitarios de las bases introducidas para posicionar los elementos del sistema.

1.3.3. Ecuaciones Cinemáticas para las Velocidades Generalizadas

Ecuaciones holónomas: la derivada de las ecuaciones geométricas denotaran las relaciones que deben existir entre las velocidades generalizadas, relaciones que son lineales en las incógnitas $\dot{\mathbf{q}}$.

Además pueden existir relaciones adicionales entre las velocidades, que también son lineales en estas, a esto denominamos ecuaciones no-holónomas y se diferencian de las anteriores ya que estas no tienen un origen geométrico provienen de relaciones que deben satisfacer las velocidades de los puntos del sistema las cuales pueden expresarse de la siguiente forma:

$$\mathbf{A}(\mathbf{q}, t)\dot{\mathbf{q}} + \mathbf{b}(\mathbf{q}, t) = 0 \quad (1.4)$$

Las cuales darán lugar a un sistema de ecuaciones para las velocidades generalizadas:

$$\Phi_v(\mathbf{q}, t)\dot{\mathbf{q}} + \mathbf{b}_v(\mathbf{q}, t) = 0 \quad (1.5)$$

Donde:

$$\Phi_v = \begin{bmatrix} \Phi_q \\ A \end{bmatrix} y \begin{bmatrix} \Phi_t \\ b \end{bmatrix} \quad (1.6)$$

Φ_v como el jacobiano del problema de velocidad. b_v el término independiente del problema de velocidad.

A partir de esto definimos el problema de montaje como aquel que busca las coordenadas generalizadas que son compatibles con las ecuaciones geométricas

1.3.4. Ecuaciones Cinemática para las Aceleraciones Generalizadas:

La derivada total de las ecuaciones anteriores respecto al tiempo nos produce las ecuaciones que relacionan las aceleraciones generalizadas, según:

$$\Phi_v(\mathbf{q}, t)\ddot{\mathbf{q}} + \dot{\Phi}_v(\mathbf{q}, \dot{\mathbf{q}}, t)\dot{\mathbf{q}} + \mathbf{b}_v(\mathbf{q}, \dot{\mathbf{q}}, t) = \mathbf{0} \quad (1.7)$$

donde:

$\dot{\Phi}_v$ es la derivada del jacobiano del problema de velocidad respecto al tiempo

$$\dot{\Phi}_v = \sum_{j=1}^p \frac{\partial}{\partial q_i} \Phi_v \dot{q}_j + \frac{\partial}{\partial t} \Phi_v \quad (1.8)$$

\dot{b}_v representa la derivada del término independiente del problema de la velocidad que formalmente se define como:

$$\dot{b}_v = \left[\begin{array}{l} \frac{\partial \Phi_t}{\partial q} \dot{q} + \frac{\partial \Phi_t}{\partial t} \\ \frac{\partial b}{\partial q} \dot{q} + \frac{\partial b}{\partial t} \end{array} \right] \quad (1.9)$$

1.3.5. Tipos de Coordenadas

La elección de las coordenadas es una delicada tarea que no tiene una respuesta única. El tipo de coordenadas, junto con el formalismo empleado, determinarán la estructura final de las ecuaciones.

Problema de montaje para velocidades y aceleraciones generalizadas: De la misma forma que los valores iniciales dados a las coordenadas generalizadas no tienen por qué satisfacer el conjunto de ecuaciones geométricas, los valores inicialmente asignados a las velocidades generalizadas tampoco tienen por qué satisfacer las ecuaciones cinemáticas para las velocidades generalizadas. Lo mismo puede decirse de los valores inicialmente asignados a las aceleraciones generalizadas.

Forma más usual de resolver este sistema de ecuaciones no lineales es utilizar el método de Newton-Raphson. El método de Newton-Raphson sustituye el sistema no lineal de ecuaciones $\phi(\mathbf{q}; t) = 0$ por una aproximación en serie de Taylor de primer orden respecto de las incógnitas.

$$\Phi(\mathbf{q}, t) \approx \Phi(\mathbf{q}^0, t) + \Phi_q(\mathbf{q}^0, t)(\mathbf{q} - \mathbf{q}^0) = \mathbf{0} \quad (1.10)$$

El sistema presentara una solución aproximada puesto a fin de cuentas es una aproximación en serie de Taylor. Sin embargo este sistema no tiene solución única por lo tanto se tienen diferentes maneras de no tener una solución única pero sí la más adecuada, la más común se tiene como la solución de norma mínima .

La solución de norma mínima de un sistema lineal de ecuaciones indeterminado de la forma general.

$$\mathbf{Ax} = \mathbf{b} \quad (1.11)$$

Es aquella que busca dentro de las infinitas soluciones aquella que tiene la mínima norma. Así la solución de norma mínima es aquel vector \mathbf{x} de la afinidad que es normal al sub-espacio trasladado.

Otra solución son las coordenadas dependientes en términos de independientes, en cada iteración de Newton Raphson elegir un conjunto de coordenadas como independientes, dejar su valor sin modificar y determinar el valor del resto en términos de estas. Este algoritmo funciona bien si el método de elegir las coordenadas independientes es adecuado.

El método de elección de las coordenadas independientes están ligados al método de solución. Por lo que para llegar a esto es posible pensar en la eliminación gaussiana. La cual consiste en hacer 0 los elementos situados debajo de la diagonal de la matriz del sistema. Lo cual triangulará la matriz. La estrategia numérica consiste en el movimiento de filas y columnas que permite elegir el elemento de la diagonal que se utilizará para hacer ceros por debajo de forma que se produzca el mínimo error en la solución.

Con lo cual esta estrategia de pivoteo de filas y columnas propone una forma óptima de variables dependientes e independientes. A esta separación de coordenadas se le denomina partición de coordenadas.

1.3.6. Problemas de posición, velocidad y aceleración iniciales

Para obtener el valor de las coordenadas generalizadas, de forma que el sistema se encuentre montado y en la posición deseada, se aplica el algoritmo de Newton Raphson . Análogamente las ecuaciones cinemáticas para las velocidades no forman un conjunto completo de ecuaciones. Así si se desea inicializar las velocidades de forma que su valor sea compatible con ellas es necesario introducir un conjunto adicional de ecuaciones para que el sistema resultante sea compatible determinado.

El sistema lineal de ecuaciones resultantes puede resolverse utilizando el método de eliminación gaussiana. Evidentemente esto también puede aplicarse para las aceleraciones generalizadas

1.3.7. Simulación cinemática

Con frecuencia suele ser interesante simular el movimiento del mecanismo en un contexto puramente cinemático.

La simulación cinemática para sistemas no-holónomos requiere la integración numérica. Para la solución de estos sistemas consideraremos el método de Euler en donde en cada instante de tiempo la solución de q se puede sustituir por su aproximación en serie de Taylor de primer orden.

$$q(t + \Delta t) \approx q(t) + \dot{q}(t)\Delta t \quad (1.12)$$

$$\dot{q}(t + \Delta t) \approx \dot{q}(t) + \ddot{q}(t)\Delta t \quad (1.13)$$

Al disponer del valor de \dot{q} podemos realizar la integración de manera más óptima sustituyendo de manera ventajosa:

$$q = q + (\dot{q}\Delta t + \frac{1}{2}\ddot{q})\Delta t \quad (1.14)$$

1.3.8. Dinámica

De forma clásica, el planteamiento de las ecuaciones dinámicas de cualquier sistema, requiere la caracterización de las acciones que recaen sobre los diferentes elementos del mismo.

Con el objeto de introducir la notación utilizada en las diferentes secciones del capítulo, se propone la siguiente clasificación:

Acciones de inercia: son aquellas acciones derivadas de las fuerzas y momentos de inercia de D'Alembert

Acciones de enlace: son aquellas acciones encargadas de mantener las ligaduras cinemáticas entre los diferentes elementos del sistema. Y su efecto queda reflejado en las ecuaciones dinámicas a través de las denominadas incógnitas de enlace,

En el caso particular de sistemas de sólidos, éstas se subdividen en:

- Acciones correspondientes a enlaces compatibles con la acotación de partida.
- Acciones correspondientes a enlaces no respetados por la acotación de partida.

Esta clasificación tiene su importancia cuando se implementan formulaciones de tipo lagrangiano, ya que en estos casos, la contribución de las primeras se anula en virtud de la tercera ley de Newton.

Acciones constitutivas: son aquellas acciones que vienen caracterizadas por una ley constitutiva.

Otras acciones: son aquellas que no pueden englobarse en ninguno de los apartados anteriores y se denotan de la misma forma que las constitutivas con el objeto de diferenciarlas de las de enlace.

En el caso del sólido rígido las ecuaciones vectoriales son el teorema del momento lineal para un sistema de partículas o ecuaciones de Newton y el teorema del momento angular o cinético o ecuaciones de Euler. Esto hace que las citadas ecuaciones se conozcan comúnmente como ecuaciones de Newton-Euler.

$$-\frac{d\tilde{\mathbf{D}}(Sol_k)}{dt} \Big|_{R.I} + \sum_{L_k}^{j-1} \tilde{\mathbf{F}}_j^{sol_k} = \mathbf{0} \quad (1.15)$$

$$-\frac{d\tilde{\mathbf{H}}_{GK}(Sol_k)}{dt} \Big|_{R.I} + \sum_{L_k}^{j-1} \tilde{\mathbf{M}}_j^{GK}^{sol_k} = \mathbf{0} \quad (1.16)$$

Donde K hace referencia al número de sólidos L_k es el número de acciones exteriores al sólido sol_k , G_k es el centro de gravedad del sólido sol_k , R.I. es una referencia inercial, $d\tilde{\mathbf{D}}(Sol_k) = m_{sol_k} \tilde{\mathbf{V}} R.I(G_k)$ es el momento lineal del sólido, $\tilde{\mathbf{H}}_{GK}(Sol_k) = \tilde{\mathbf{I}}_{G_k}(sol_k) \tilde{\Omega} R.I(Sol_k)$ es el momento angular del sólido.

El tensor de inercia es un concepto análogo al de momento de inercia utilizado en problemas en dos dimensiones, pero extendido al caso de tres dimensiones.

De hecho siempre existe una base orto normal solidaria al sólido, en la que el momento angular del sólido es igual al momento.

$$\left\{ \vec{\mathbf{H}}_{\mathbf{G}_k}(Sol_k) \right\} = \begin{Bmatrix} I_1\omega_1 \\ I_2\omega_2 \\ I_3\omega_3 \end{Bmatrix} = \begin{bmatrix} I_1 & 0 & 0 \\ 0 & I_2 & 0 \\ 0 & 0 & I_3 \end{bmatrix} \begin{Bmatrix} \omega_1 \\ \omega_2 \\ \omega_3 \end{Bmatrix} \quad (1.17)$$

Frecuentemente conviene denominar a las parejas Fuerza-Momento como torsor (wrench en inglés) del sistema de fuerzas correspondiente.

$$\begin{bmatrix} \vec{\mathbf{F}}_{\mathbf{j}}^{Sol_k} \\ \vec{\mathbf{M}}_{\mathbf{j}_{G_k}}^{Sol_k} \end{bmatrix} \quad (1.18)$$

En este contexto, a la pareja Velocidad-Velocidad Angular se denomina rotor (twist en inglés), y puede considerarse un vector dual del torsor, puesto que multiplicado por el escalarmente nos daría la potencia del torsor:

$$\begin{bmatrix} \vec{\mathbf{F}}_{\mathbf{j}}^{Sol_k} \\ \vec{\mathbf{M}}_{\mathbf{j}_{G_k}}^{Sol_k} \end{bmatrix}^T \begin{bmatrix} \vec{\mathbf{V}}_{(\mathbf{O}_k)} \\ \vec{\boldsymbol{\Omega}}_{(Sol_k)} \end{bmatrix} = \dot{\mathbf{W}}(Action_j, Sol_k) \quad (1.19)$$

El torsor:

$$\begin{bmatrix} \vec{\mathbf{F}}^{Sol_k} \\ \vec{\mathbf{M}}^{Sol_k} \end{bmatrix} = \begin{bmatrix} -\frac{d\mathbf{D}(Sol_k)}{dt} \\ -\frac{d\mathbf{H}_{\mathbf{G}_k}(Sol_k)}{dt} \end{bmatrix} \Big|_{R.I} \quad (1.20)$$

Se denomina torsor de acciones de inercia o de acciones de inercia de D'Alembert. Utilizando la notación de torsores empleada anteriormente las ecuaciones para los diferentes sólidos pueden escribirse

$$\begin{bmatrix} -\frac{d\mathbf{D}(Sol_k)}{dt} \\ -\frac{d\mathbf{H}_{\mathbf{G}_k}(Sol_k)}{dt} \end{bmatrix} \Big|_{R.I} + \sum_{j=1}^{L_k} \begin{bmatrix} \vec{\mathbf{F}}_{\mathbf{j}}^{Sol_k} \\ \vec{\mathbf{M}}_{\mathbf{j}_{G_k}}^{Sol_k} \end{bmatrix} = \begin{bmatrix} 0 \\ 0 \end{bmatrix}, K = 1, \dots, M \quad (1.21)$$

Esta notación con torsores es particularmente conveniente ya que en dinámica de sólido rígido: la fuerza y el momento resultantes asociados a una distribución de fuerzas (acción) actuante sobre un sólido rígido son conceptualmente inseparables. No obstante es importante constatar que las citadas aceleraciones no son las únicas incógnitas del problema dinámico. También aparecen como incógnitas en el sistema anterior las incógnitas de enlace, las cuales se definen como aquel conjunto de incógnitas que se utiliza para caracterizar las fuerzas y momentos de enlace actuantes sobre los sólidos del sistema.

1.3.9. Estructura del sistema de Ecuaciones Dinámico

Las ecuaciones dinámicas son lineales en las aceleraciones generalizadas $\ddot{\mathbf{q}}$ por ser las derivadas del momento lineal y del momento angular. Por otra parte

las acciones de enlace son lineales en las incógnitas de enlace. Resto de acciones no depende de estas incógnitas así las ecuaciones dinámicas toman la forma general:

$$[M_{V\dot{q}} \quad V_q^\perp] \begin{bmatrix} \ddot{\boldsymbol{q}} \\ \boldsymbol{\varepsilon} \end{bmatrix} = [\boldsymbol{\delta}] \quad (1.22)$$

donde V_q^\perp es definida como la matriz que cumple :

$$V_q V_q^\perp = 0 \quad (1.23)$$

Para el caso más normal en el que existan relaciones cinemáticas es necesario completar el sistema con las ecuaciones cinemáticas para las aceleraciones teniendo:

$$\begin{bmatrix} M_{V\dot{q}} & V_q^\perp \\ \Phi_{\dot{q}} & 0 \end{bmatrix} \begin{bmatrix} \ddot{\boldsymbol{q}} \\ \boldsymbol{\varepsilon} \end{bmatrix} = \begin{bmatrix} \boldsymbol{\delta} \\ \boldsymbol{\gamma} \end{bmatrix} \quad (1.24)$$

1.3.10. Estructura del Sistema de Ecuaciones Dinámico

El problema dinámico directo resuelve el sistema de ecuaciones determinando las aceleraciones generalizadas y las incógnitas de enlace. Conocidos los valores de las coordenadas y velocidades generalizadas en un instante de tiempo t . De no existir redundancia en las ecuaciones de enlace el sistema puede resolverse de la siguiente manera:

$$\begin{bmatrix} M_{V\dot{q}} & \Phi_q^T \\ \Phi_{\dot{q}} & 0 \end{bmatrix} \begin{bmatrix} \ddot{\boldsymbol{q}} \\ \boldsymbol{\lambda} \end{bmatrix} = \begin{bmatrix} \boldsymbol{\delta} \\ \boldsymbol{\gamma} \end{bmatrix} \quad (1.25)$$

Donde $\boldsymbol{\delta}$ es el conjunto de fuerzas actuantes sobre el sistema sin tomar en cuenta las acciones de enlace, $\boldsymbol{\lambda}$ es un conjunto de incógnitas auxiliares denominadas multiplicadores de Lagrange que pueden obtenerse del sistema una vez conocidas las aceleraciones del sistema anterior.

La solución más sencilla a estos problemas suele ser buscar la solución de norma mínima, para lo cual basta usar la pseudo inversa en vez de la inversa. El resto de incógnitas quedan completamente determinadas. Otra posibilidad es la utilización de una eliminación gaussiana con movimiento de columnas de forma que las incógnitas que no tienen asociado un elemento en la diagonal se toman como independientes. Este algoritmo suele utilizarse utilizando la descomposición LU con pivote.

Capítulo 2

El Modelo

2.1. Descripción del Modelo

El proyecto surge de un trabajo de fin de estudios donde la idea principal era diseñar y construir un prototipo de bogie de tren a escala que permita medir diferentes parámetros relacionados con el movimiento del mismo a lo largo de la vía. Los parámetros reales del tren fueron escalados y llevados al modelo a escala para así poder obtener unos valores que puedan ser llevados y analizados en la realidad.

Los procesos experimentales que se pretenden llevar a cabo con el banco de ensayos son los siguientes:

- Estimación de los parámetros inerciales.
- Estimación del estado, es decir, coordenadas y velocidades generalizadas que definan el movimiento del sistema.
- Estimación de las fuerzas de contacto entre la rueda y la vía.

2.2. Características generales del banco de pruebas

1. Bogie: Se define el bogie como un bastidor que puede girar respecto al chasis del vagón, al que se fija el tren de rodadura. Está formado dos o tres pares de ruedas, montadas sobre sus respectivos ejes, los cuales son paralelos y solidarios entre sí, cuya función es circular sobre los raíles de la vía.

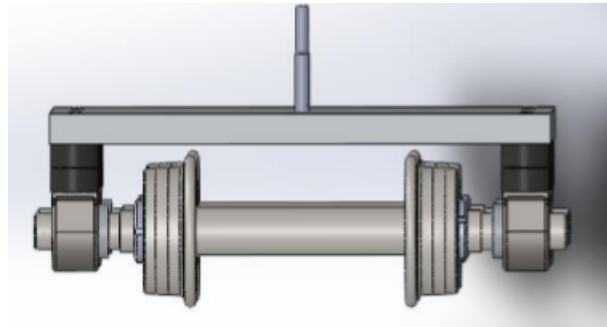


Figura 2.1: Bogie

2. Eje Calado o Whelseet: Conjunto formado por un eje y sus dos ruedas. El eje les proporciona a las ruedas la misma velocidad angular y una distancia constante entre ellas. Este eje establece en el sistema:

- La distancia entre el vehículo y la vía.
- Los medios de transmisión de las fuerzas de tracción y de frenado a los raíles para acelerar y decelerar el vehículo.
- El movimiento de lazo: oscilación que describe el eje al desplazarse de su posición centrada mientras circula el tren de forma libre por la vía.



Figura 2.2: Whelseet

3. Bancada:

El bastidor del bogie tiene forma de H y está formado por planchas de acero soldadas. Tiene la función de formar la base de la estructura del bogie para montar sobre él el resto de componentes. Los materiales más utilizados para su construcción son:

- SS400 (acero laminado para estructuras generales).
- SM400B (acero laminado para estructuras soldadas).



Figura 2.3: Bancada

4. Ruedas: Elemento de transmisión que permite:

- Soportar el peso del vehículo.
- Guiar al vehículo por la vía.
- Frenar y acelerar al vehículo.

El desgaste que se produce en las ruedas que circulan por el carril exterior en la curva, se debe al deslizamiento que se produce al recorrer mayor distancia durante el trazado de curvas. Una solución consiste en fabricar un perfil cónico para la superficie de rodadura de la rueda cuyo ángulo de inclinación sea variable respecto al eje calado.

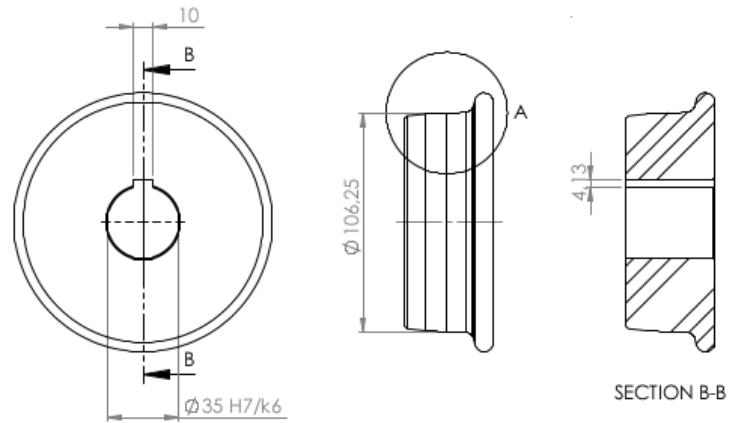


Figura 2.4: Ruedas

5. Vía:

Se entiende por vía al camino por el que circulan los trenes. Por este motivo, su función consiste en el guiado de los vehículos ferroviarios de la forma más segura y económica posible. Cualquier fallo en la nivelación y alineación de la vía, produce vibraciones en el tren, repercutiendo en el confort de los pasajeros; e incluso se pueden generar daños en la estructura.

6. Raíl:

Elemento sobre el que circula el vehículo. Sus funciones son las siguientes:

- Resistir y transmitir las tensiones que recibe del tren.
- Guiar a las ruedas en su movimiento.
- Conducir la corriente eléctrica para la señalización en las líneas electrificadas.

Los elementos que lo componen son:

- Cabeza: es la superficie de rodadura que sufre el desgaste.
- Alma: une el patín con la cabeza.
- Patín: es el ala inferior del perfil, debe tener la anchura suficiente para que la superficie de apoyo sobre la traviesa sea grande y haya un mejor reparto de presiones.

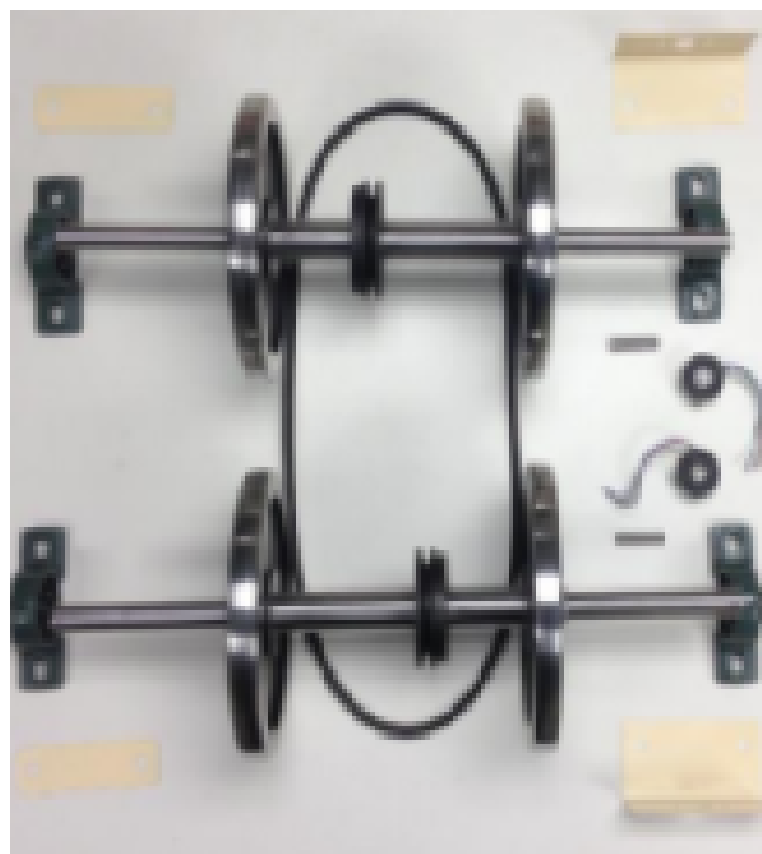


Figura 2.5: Rail

Para nuestro caso particular, en el banco de pruebas, estará una rueda vía, la cual, será una rueda que estará compuesta de un perfil igual al de una vía de tren y se encargará de simular y transmitir las fuerzas que vienen del motor, estas serán diferentes al caso real en donde la vía es inmóvil y no transmite fuerzas y las ruedas transmiten el par proveniente del motor.

Ancho de Vía.

El ancho de vía de un ferrocarril es la mínima distancia entre la parte interna de las cabezas de los perfiles, medida 14 mm por debajo del punto más alto del perfil. En las curvas se suele añadir unos milímetros más para facilitar el paso de las ruedas, el ancho de vía en el modelo sera de 0.2185 m.

2.2.1. Perfil de la Rueda

Con el objetivo de hallar el punto de contacto es importante parametrizar las curvas a las que se referencia el modelo, por lo tanto una parte importante al hallar el punto de contacto es poder parametrizar el perfil. Una manera de hacer esto es llevándolo a un conjunto de splines de orden 3 con lo cual podemos modelar las superficies de contacto como un polinomio de tercer orden. Los perfiles tendrán unos coeficientes que se irán modificando, según sea el lugar del perfil en el que se encuentre. Estos son actualizados dependiendo de la posición de el punto de contacto y es aplicado antes de cada iteración usada para resolver el problema geométrico.

El perfil de la rueda estará dado de la siguiente manera :
los datos del perfil vendrán dados en la siguiente imagen:

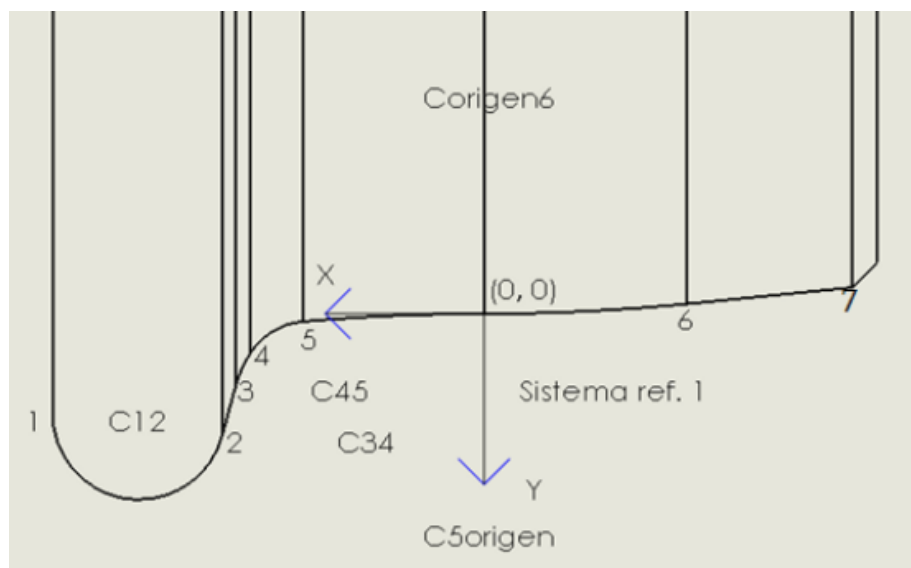


Figura 2.6: Perfil de la rueda

punto	x	y
1	22.66667	5.25
2	13.74028	6.369
3	13.07625	3.8908
4	12.31877	2.1373
5	9.51724	0.4125
origen	0	0
6	-10.66667	-0.51839
Centro 12	18.1333	5.25
Centro 34	6.7333	5.5904
Centro 45	9.2	4.0654
Centro 5origen	0	110
Centro origen6	0	-110

Figura 2.7: Datos del perfil

2.2.2. Obtención de los coeficientes de los splines

En primer lugar es importante definir el término de spline, el cual no es más que una curva diferenciable definida en porciones mediante polinomios. Un spline de tercer orden es seccionar a trozos una función con funciones cúbicas o de la forma:

$$P(x) = ax^3 + bx^2 + cx + d \quad (2.1)$$

en donde se tendrán 4 variables por cada intervalo y ciertas condiciones para cada punto en común a dos intervalos, respecto de la derivada segunda:

1. Las dos funciones que pasen por el punto a aproximar sean igual a la función original en cada uno de sus puntos.
2. Que la derivada en un punto siempre coincida para ambos “lados” de la función definida a trozos que pasa por tal punto común.
3. Que la derivada segunda en un punto siempre coincida para ambos lados de la función definida a trozos que pasa por tal punto común.

Las demás ecuaciones que resuelven este sistema de ecuaciones y generan los coeficientes del spline determinan el tipo de spline que estamos considerando, sin embargo, todo este proceso es hecho en MATLAB automáticamente mediante el comando `spline`.

La determinación de los puntos de corte y de los coeficientes que regirán el spline de tercer orden es obtenida mediante la minimización de la norma mínima entre la función original y el spline.

En otras palabras, el procedimiento utilizado para esto, fue partir del comando de MATLAB “`fminunc`” el cual tiene como función hallar el valor mínimo local de una función. Con lo que partiendo de unos valores de cortes iniciales (valores a lo largo del eje x que consideran el inicio y el final del spline en cada sección), procedemos a evaluarlos en nuestra función original. (Para este caso denominaremos función original a las curvas obtenidas de los perfiles creados a partir del conjunto de datos), consiguiendo en si mismo los valores en y de la función original.

Con estos valores creamos una función a trozos de polinomios de tercer orden (splines) con el comando `spline` de MATLAB, esto generara una curva que pasará por los puntos dados pero que no necesariamente tenga la forma de nuestra función original. Con lo cual nuestro objetivo en este caso es evaluar nuestra función original en la mayor cantidad de intervalos posibles y después evaluar nuestros splines en estos mismos intervalos de tal manera que al restar estos valores evaluados nos generara un vector al que denominaremos vector de error y con el cual al obtener su norma obtendremos un valor que denominaremos valor de error .

La función “`fminunc`” no hará mas que interpolar con un conjunto de valores de x para hallar el mínimo valor de nuestro valor de error. Lo que hará que

nuestra curva generada en los splines sea lo más parecida posible a nuestra función original, dando los coeficientes y puntos de cortes óptimos.

Con este algoritmo en sí, solo logras hacer que se obtenga la mejor distribución de puntos de cortes posible, sin embargo no es capaz por sí solo de obtener la menor cantidad de puntos de cortes. Esto fue logrado a partir de una serie de pruebas, (probando distintas cantidades de puntos de cortes , hallando los splines y comparándolos con nuestra función original), logramos establecer el número mínimo de puntos de cortes para poder representar en splines la función original o el perfil.

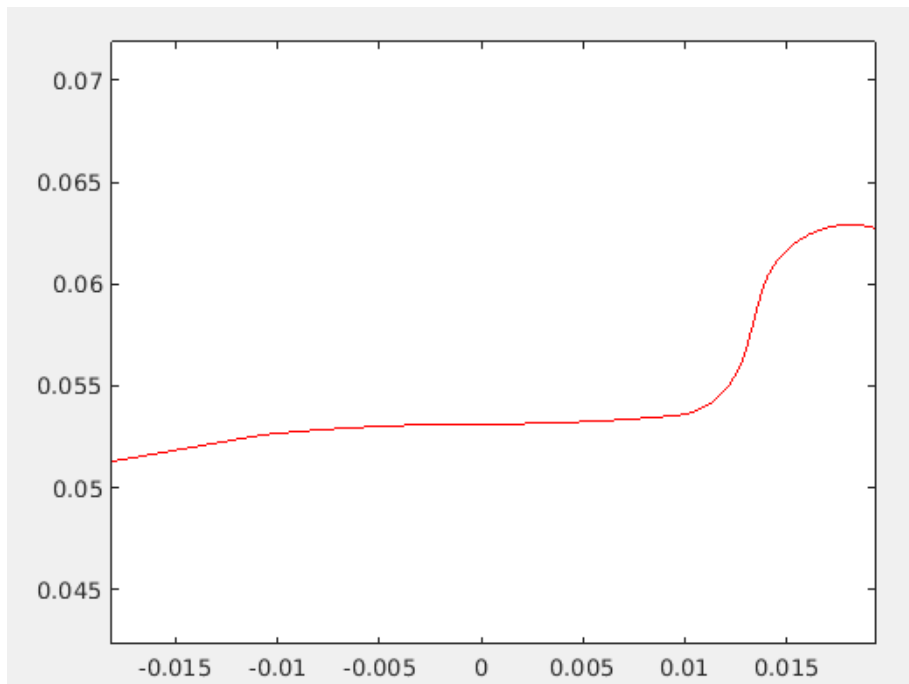


Figura 2.8: Perfil en MATLAB

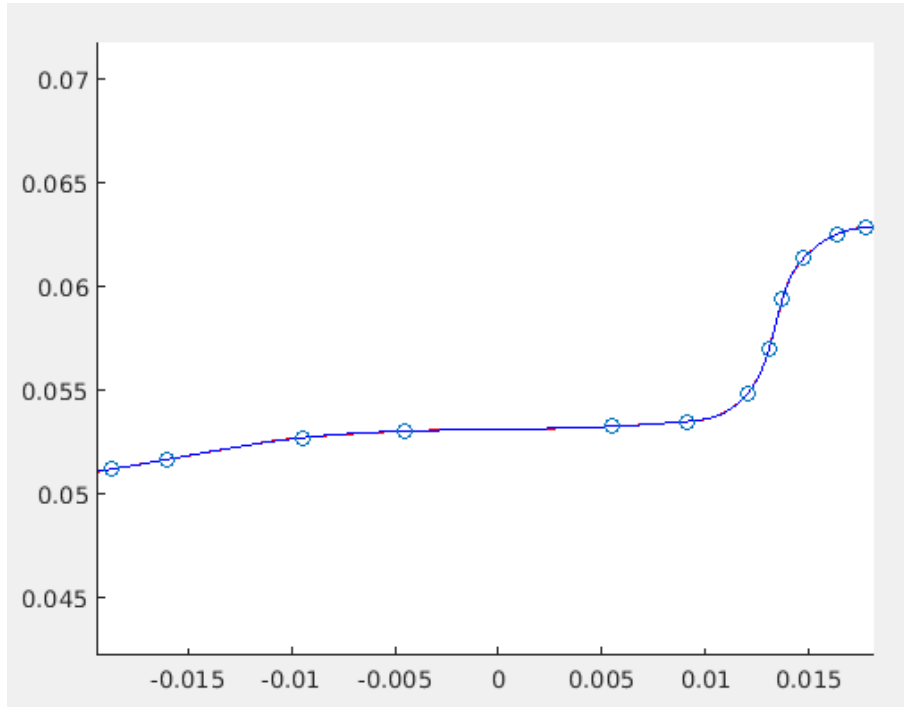


Figura 2.9: Perfil en MATLAB con splines

2.3. lib_3D_mec

El software lib_3D_mec es una librería de software libre diseñado por la UPNA cuyo propósito general es presentar una librería para resolver la dinámica multicuerpo, la cual ofrece diferentes operadores dinámicos y un lenguaje que se asemeja mucho a la mecánica tales como : vectores, tensores, puntos ,bases, matrices, y con el cual se pueden resolver y exportar las distintas matrices en distintos formatos para su posterior evaluación numérica.

Capítulo 3

Desarrollo Del Modelo

Como bien se definió anteriormente el sistema de ecuaciones a resolver nos queda de la forma:

$$\begin{bmatrix} M_{V\dot{q}} & \Phi_q^T \\ \Phi_{\dot{q}} & 0 \end{bmatrix} \begin{bmatrix} \ddot{q} \\ \lambda \end{bmatrix} = \begin{bmatrix} \delta \\ \gamma \end{bmatrix} \quad (3.1)$$

En donde una vez se tenga planteado el modelo en lib_3D_mec exportaremos las matrices y funciones a utilizar para operar con Matlab a nivel numérico.

3.1. Modelo Computacional

3.1.1. Parametrización

El modelo dinámico estará compuesto por 5 sólidos los cuales se denominarán:

- RAILB: eje de ruedas del raíl trasero.
- RAILF: eje de ruedas del raíl delantero.
- BOG: bogie.
- WHSB: eje de ruedas traseras del Bogie.
- WHSF: eje de ruedas delanteras del Bogie.

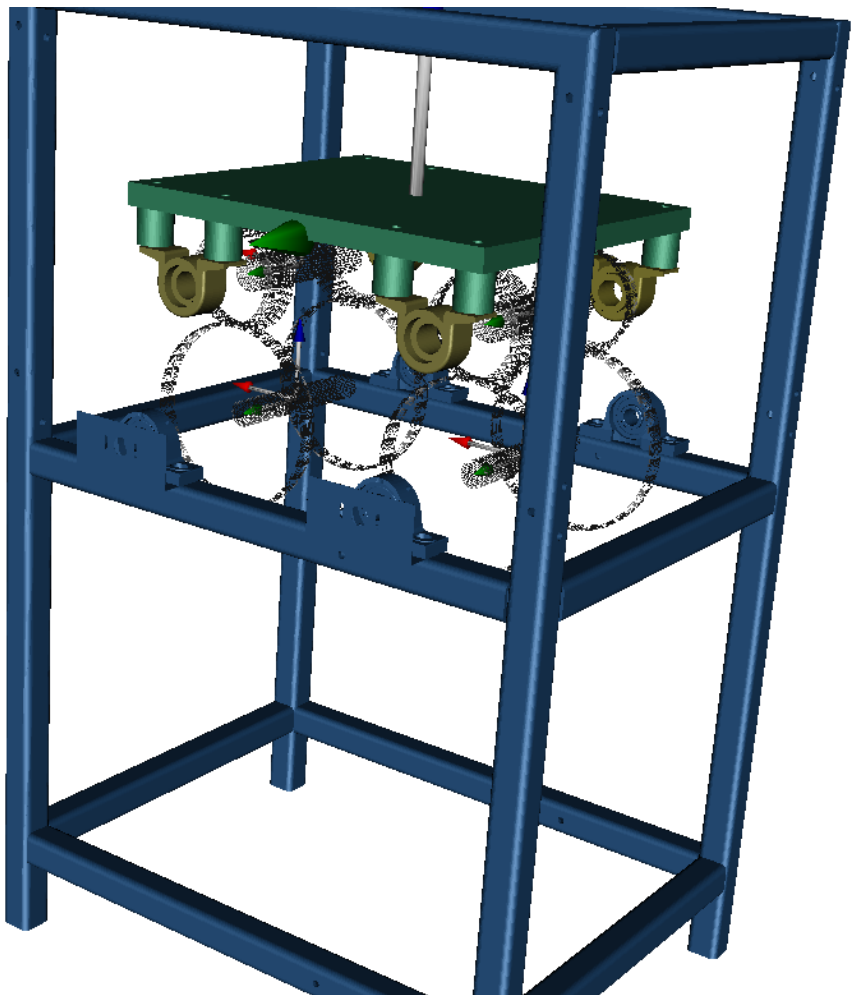


Figura 3.1: Modelo del Bogie

Figure 3.1 representa la Parametrización del Bogie.

Definición de las Bases:

$$xyz \xrightarrow{(\mathbf{e}^{xyz}, bRailB)} B_RailB, \quad (3.2)$$

$$xyz \xrightarrow{(\mathbf{e}^{xyz}, bRailF)} B_RailF, \quad (3.3)$$

$$xyz \xrightarrow{(\mathbf{e}^{xyz}, cCh)} B_Ch_c, \quad (3.4)$$

$$B_Ch_c \xrightarrow{(\mathbf{e}^{B_Ch_c}, aCh)} B_Ch_a, \quad (3.5)$$

$$B_Ch_a \xrightarrow{(\mathbf{e}^{B_Ch_a}, bCh)} B_Ch, \quad (3.6)$$

$$xyz \xrightarrow{(\mathbf{e}^{xyz}, cWhsB)} B_WhsB_c, \quad (3.7)$$

$$B_WhsB_c \xrightarrow{(\mathbf{e}^{B_WhsB_c}, aWhsB)} B_WhsB_a, \quad (3.8)$$

$$B_WhsB_a \xrightarrow{(\mathbf{e}^{B_WhsB_a}, bWhsB)} B_WhsB, \quad (3.9)$$

$$xyz \xrightarrow{(\mathbf{e}^{xyz}, cWhsF)} B_WhsF_c, \quad (3.10)$$

$$B_WhsF_c \xrightarrow{(\mathbf{e}^{B_WhsF_c}, aWhsF)} B_WhsF_a, \quad (3.11)$$

$$B_WhsF_a \xrightarrow{(\mathbf{e}^{B_WhsF_a}, bWhsF)} B_WhsF, \quad (3.12)$$

El diagrama anterior muestra esquemáticamente la definición de las diferentes bases. Por ejemplo, la base B_RailB es la obtenida al girar un ángulo $bRailB$ alrededor eje Y de la base xyz que otorga la orientación del cuerpo inercial.

Definición de puntos:

$$O \xrightarrow{-0,15625 \mathbf{e}_x} O_RailB, \quad (3.13)$$

$$O \xrightarrow{0,15625 \mathbf{e}_x} O_RailF, \quad (3.14)$$

$$O \xrightarrow{xCh \mathbf{e}_x + yCh \mathbf{e}_y + zCh \mathbf{e}_z} O_Ch, \quad (3.15)$$

$$O_Ch \xrightarrow{xWhsB \mathbf{e}_x + yWhsB \mathbf{e}_y + zWhsB \mathbf{e}_z} O_WhsB, \quad (3.16)$$

$$O_Ch \xrightarrow{xWhsF \mathbf{e}_x + yWhsF \mathbf{e}_y + zWhsF \mathbf{e}_z} O_WhsF, \quad (3.17)$$

$$O_WhsB \xrightarrow{0,188 \mathbf{e}_y WhsB} C_BearBL_WhsB, \quad (3.18)$$

$$O_WhsB \xrightarrow{-0,188 \mathbf{e}_y WhsB} C_BearBR_WhsB, \quad (3.19)$$

$$O_WhsF \xrightarrow{0,188 \mathbf{e}_y WhsF} C_BearFL_WhsF, \quad (3.20)$$

$$O_WhsF \xrightarrow{-0,188 \mathbf{e}_y WhsF} C_BearFR_WhsF, \quad (3.21)$$

$$O \xrightarrow{-0,15625 \mathbf{e}_x + 0,188 \mathbf{e}_y - 0,0775 \mathbf{e}_z} C_BearBL_Ch, \quad (3.22)$$

$$O \xrightarrow{-0,15625 \mathbf{e}_x - 0,188 \mathbf{e}_y + -0,0775 \mathbf{e}_z} C_BearBR_Ch, \quad (3.23)$$

$$O \xrightarrow{0,15625 \mathbf{e}_x + 0,188 \mathbf{e}_y + -0,0775 \mathbf{e}_z} C_BearFL_Ch, \quad (3.24)$$

$$O \xrightarrow{0,15625 \mathbf{e}_x - 0,188 \mathbf{e}_y + -0,0775 \mathbf{e}_z} C_BearFR_Ch, \quad (3.25)$$

De forma similar, el anterior diagrama muestra esquemáticamente la definición de los diferentes puntos del modelo. Por ejemplo el punto C_BearFR_Ch es el punto en el centro de los cojinetes el cual esta ubicado a una distancia de 0.15625 en la dirección del eje x , 0.0188 en la dirección del eje y, -0.0775 en la dirección del eje z. Los vectores de las coordenadas generalizadas, velocidades y aceleraciones quedarán de la siguiente manera:

$$\begin{aligned}
\mathbf{q} = & \begin{bmatrix} bRailB \\ bRailF \\ xCh \\ yCh \\ zCh \\ cCh \\ aCh \\ bCh \\ bWhsB \\ cWhsB \\ aWhsB \\ xWhsB \\ yWhsB \\ cWhsB \\ bWhsF \\ cWhsF \\ aWhsF \\ xWhsF \\ yWhsF \\ zWhsF \\ thetaWBL \\ uWBL \\ uRBL \\ thetaRBBL \\ thetaWBBL \\ uWBBL \\ uRBBL \\ thetaRBRR \\ thetaWFLL \\ uWFLL \\ uRFL \\ thetaRFL \\ thetaWFR \\ uWFR \\ uRFR \\ thetaRFR, \end{bmatrix} \\
\dot{\mathbf{q}} = & \begin{bmatrix} b\dot{RailB} \\ b\dot{RailF} \\ x\dot{Ch} \\ y\dot{Ch} \\ z\dot{Ch} \\ c\dot{Ch} \\ a\dot{Ch} \\ b\dot{Ch} \\ b\dot{WhsB} \\ c\dot{WhsB} \\ a\dot{WhsB} \\ x\dot{WhsB} \\ y\dot{WhsB} \\ c\dot{WhsB} \\ b\dot{WhsF} \\ c\dot{WhsF} \\ a\dot{WhsF} \\ x\dot{WhsF} \\ y\dot{WhsF} \\ z\dot{WhsF} \\ theta\dot{WBL} \\ u\dot{WBL} \\ u\dot{RBL} \\ theta\dot{RBBL} \\ theta\dot{WBBL} \\ u\dot{WBBL} \\ u\dot{RBBL} \\ theta\dot{RBRR} \\ theta\dot{WFLL} \\ u\dot{WFLL} \\ u\dot{RFL} \\ theta\dot{RFL} \\ theta\dot{WFR} \\ u\dot{WFR} \\ u\dot{RFR} \\ theta\dot{RFR}, \end{bmatrix} \\
\ddot{\mathbf{q}} = & \begin{bmatrix} b\ddot{RailB} \\ b\ddot{RailF} \\ x\ddot{Ch} \\ y\ddot{Ch} \\ z\ddot{Ch} \\ c\ddot{Ch} \\ a\ddot{Ch} \\ b\ddot{Ch} \\ b\ddot{WhsB} \\ c\ddot{WhsB} \\ a\ddot{WhsB} \\ x\ddot{WhsB} \\ y\ddot{WhsB} \\ c\ddot{WhsB} \\ b\ddot{WhsF} \\ c\ddot{WhsF} \\ a\ddot{WhsF} \\ x\ddot{WhsF} \\ y\ddot{WhsF} \\ z\ddot{WhsF} \\ theta\ddot{WBL} \\ u\ddot{WBL} \\ u\ddot{RBL} \\ theta\ddot{RBBL} \\ theta\ddot{WBBL} \\ u\ddot{WBBL} \\ u\ddot{RBBL} \\ theta\ddot{RBRR} \\ theta\ddot{WFLL} \\ u\ddot{WFLL} \\ u\ddot{RFL} \\ theta\ddot{RFL} \\ theta\ddot{WFR} \\ u\ddot{WFR} \\ u\ddot{RFR} \\ theta\ddot{RFR}, \end{bmatrix}
\end{aligned} \tag{3.26}$$

3.1.2. Restricciones

En general se tiene que cada una de las ruedas del bogie presentará la mismas ecuaciones de restricción. Cada rueda a su vez estará compuesta de 5 restricciones en donde restringiremos los vectores tangentes, y los vectores normales del raíl con los de la rueda en el punto de contacto J. Estas nos darán las restricciones suficientes para que se tenga el mismo punto de contacto. En este caso obligamos a que los vectores tangentes en el punto de contacto sean perpendiculares al vector normal. Por lo que las ecuaciones nos quedan de la siguiente manera:

$$\Phi = \begin{bmatrix} \mathbf{t}_1^r \cdot \mathbf{r}_{Pr}^{Pw} = 0 \\ \mathbf{t}_2^r \cdot \mathbf{r}_{Pr}^{Pw} = 0 \\ \mathbf{t}_1^w \cdot \mathbf{n}^r = 0 \\ \mathbf{t}_2^w \cdot \mathbf{n}^r = 0 \\ \mathbf{n}^r \cdot \mathbf{r}_{Pr}^{Pw} = 0 \end{bmatrix} \quad (3.27)$$

Donde definimos como 1 y 2 como las direcciones x e y del sistema absoluto de referencia, también tenemos que \mathbf{r}_{Pr}^{Pw} representan los puntos de contactos entre las superficies de la rueda y el raíl respectivamente. Los vectores tangentes y normal de la rueda y el raíl definidos en el punto de contacto están definidos de la siguiente manera:

$$\mathbf{t}_1^r = \frac{\frac{\partial \mathbf{r}_r^{P^r}}{\partial s}}{\left| \frac{\partial \mathbf{r}_r^{P^r}}{\partial s} \right|}, \quad (3.28)$$

$$\mathbf{t}_2^r = \frac{\frac{\partial \mathbf{r}_r^{Pw_r}}{\partial U_r}}{\left| \frac{\partial \mathbf{r}_r^{Pw_r}}{\partial U_r} \right|}, \quad (3.29)$$

$$\mathbf{n}^r = \mathbf{t}_x^r \times \mathbf{t}_y^r \quad (3.30)$$

$$\mathbf{t}_1^w = \frac{\frac{\partial \mathbf{r}_r^{Pw_r}}{\partial \alpha}}{\left| \frac{\partial \mathbf{r}_r^{Pw_r}}{\partial \alpha} \right|}, \quad (3.31)$$

$$\mathbf{t}_2^w = \frac{\frac{\partial \mathbf{r}_r^{Pw_r}}{\partial U_w}}{\left| \frac{\partial \mathbf{r}_r^{Pw_r}}{\partial U_w} \right|} \quad (3.32)$$

Donde expresamos como la posición del punto de contacto \mathbf{P}^r medido a lo largo del raíl, y \mathbf{U}^r como la posición del punto de contacto medido en la dirección perpendicular al raíl.

3.2. Nomenclatura

Al ser un sistema formado por diferentes elementos es importante saber cómo se han definido las diferentes coordenadas y parámetros. También es importante tener una nomenclatura que permita saber rápidamente a qué nos referimos, por

ejemplo en nuestro caso el punto de origen (o punto inicial donde nos empezaremos a tomar como referencia el resto del modelo), lo llamamos punto O y se situara en el [0,0,0] de la referencia absoluta.

3.2.1. Sólidos

Para hacer referencia a los sólidos es necesaria una notación corta pero que sea clara, para establecer el tipo de elemento al que nos referimos.

La notación, que usaremos para los sólidos se expresara de la siguiente manera: se usará una abreviatura del nombre a usar, para nuestro caso como tenemos 5 sólidos quedarán puestos de la siguiente manera:

- El Wheelset trasero (ruedas del tren) quedará: WhsB.
- El Wheelset delantero quedará: WhsF.
- El Chasis del tren quedará: Ch.
- El Raíl delantero quedará: RailF.
- El Raíl trasero quedará: RailB.

Tenemos en cuenta que para la notación hemos decidido en poner en mayúscula la primera letra del sólido, abbreviar el nombre y definir su ubicación con respecto al espacio mediante una letra en mayúscula donde definimos por defecto B como parte trasera (Back) y F como parte delantera (Front). En otros apartados de otras definiciones tales como los cojinetes se tiene en cuenta el hecho de que se puedan encontrar a la izquierda o a la derecha del centro de referencia inicial. Por lo que un factor muy importante a tomar en cuenta es si queda a la izquierda o a la derecha del centro para este caso continuaremos con la notación y le daremos como nombre la primera letra en mayúscula, y las ultimas 2 del nombre en mayúscula indicando la ubicación por ejemplo (C_BearBL).

3.2.2. Bases

Para el caso de las bases, estas las hemos definido en el código poniendo en primer lugar una *B*_ y después agregamos el nombre del sólido a la cual estuviese asociada esta base, en caso de base intermedia al final del nombre damos cuenta del ángulo que se gira para obtener la base. Por ejemplo si en nuestro caso tenemos *B_Ch_c.*, donde vemos que *B*_ indica que estamos hablando de una base, Ch que indica que estamos hablando de un sólido y c indica mediante cual ángulo fue girada.

3.2.3. Puntos

En general se tienen diferentes puntos a los cuales se tendrán asociados ciertas funciones.

- Para los puntos que expresan el Origen de un sólido lo denotamos como O_- y agregamos el nombre del sólido.
- Para los centros de sólidos usamos como nomenclatura C_- y agregamos el nombre del sólido y después el sólido al que pertenece.
- Para definir el punto de contacto lo denotamos como el punto J_- y nombramos lugar y después a la superficie que pertenece(ejemplo: J_BR_Wheel donde en primer lugar ponemos J_- , después la ubicación BR y después a que superficie en este caso la rueda (wheel).

Capítulo 4

El Modelo lineal de Kalker

4.1. Modelo lineal de Kalker

Una de las partes mas importantes a tomar en cuenta en el modelo era la interacción de fuerzas entre la rueda y el raíl. Para determinar estas fuerzas lo primero que hay que hacer es hallar algunos parámetros de contacto, tales como: la superficie de contacto, la presión y las fuerzas tangenciales. Para hallar estos parámetros se suelen resolver los siguientes casos:

- El problema normal (teoría de Hertz).
- El problema tangencial(teoría de Kalker).

4.1.1. El Problema Normal

El estudio del contacto entre cuerpos es posible hoy día con métodos de elementos finitos. Sin embargo, la necesidad para calcular lo mas rápido posible en los códigos dinámicos nos lleva al uso de métodos analíticos.

El Contacto de Hertz

Hertz demostró que cuando dos cuerpos elásticos son presionados entre ellos bajo las siguientes condiciones:

- Comportamiento elástico.
- Espacios semi-infinitos.
- Largos radios de curvatura comparados al tamaño del contacto.
- Curvaturas constantes dentro del área de contacto.

Entonces:

- La superficie de contacto es una elipse.

- La superficie de contacto es considerada plana.

- La presión tiene la forma de semi-elipse.

La curvaturas principales de los dos semi espacios son necesarias para los cálculos de la dimensiones de la superficie y su distribución de presión. En el caso de las vías de un tren, las 4 curvaturas principales se encuentran en planos perpendiculares; sus direcciones corresponden a los ejes principales de la estructura.

Considerando los dos cuerpos elásticos, estos se encontrarán en un punto donde la distancia entre ellos es mínima. Cerca de este punto de contacto, sin carga alguna, las formas de las superficies de los cuerpos están representadas por dos polinomios de segundo orden:

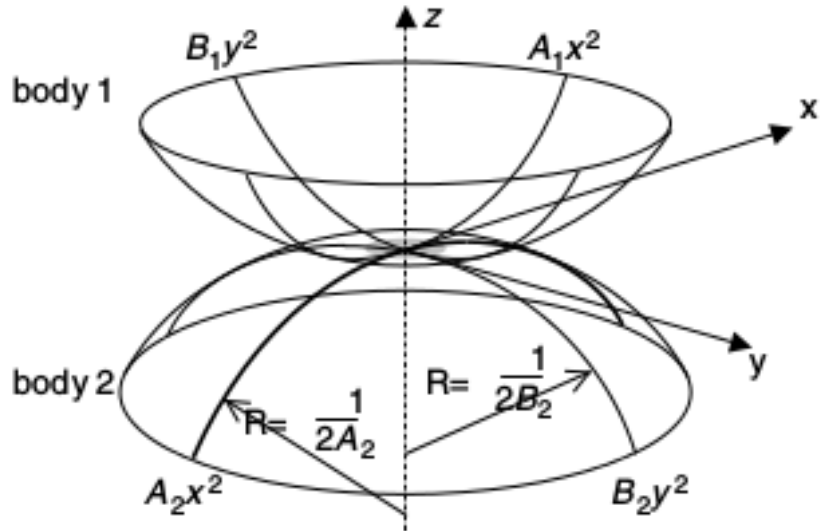


Figura 4.1: Contacto de Hertz

$$z_1 = A_1 x^2 + B_1 y^2 \quad (4.1)$$

$$z_2 = A_2 x^2 + B_2 y^2 \quad (4.2)$$

Los coeficientes $A_{1,2}$ y $B_{1,2}$ se asumen constantes cercanos al punto de contacto, y son obtenidos mediante el desarrollo de la serie de Taylor donde despreciaremos su contribución de primer orden por lo que tendríamos una solución de la siguiente manera:

$$\frac{\partial^2 z_1}{\partial_x^2} = 2A_1 \approx \frac{1}{r_{wn}} \quad (4.3)$$

$$\frac{\partial^2 z_1}{\partial_y^2} = 2B_1 \approx \frac{1}{R_{wx}} \quad (4.4)$$

$$\frac{\partial^2 z_2}{\partial_x^2} = 2A_2 \approx \frac{1}{r_{rn}} \quad (4.5)$$

$$\frac{\partial^2 z_2}{\partial_y^2} = 2B_2 \approx \frac{1}{R_{rx}} \quad (4.6)$$

El coeficiente A_2 es usualmente despreciado debido a que los rieles tienden a ser rectos, sin embargo para nuestro caso particular, esto no solo existirá, sino que tendrá que ser tomado en cuenta en las ecuaciones para el modelo.

Relación A/B con los Semiejes b/a

Antes de ser sometida a una carga, la distancia vertical relativa entre los dos cuerpos puede ser escrita de la siguiente manera:

$$z_1 + z_2 = Ax^2 + By^2 \quad (4.7)$$

con:

$$A = \frac{1}{2r_{wn}} + \frac{1}{2r_{rn}} \quad (4.8)$$

$$B = \frac{1}{2R_{wx}} + \frac{1}{2R_{rx}} \quad (4.9)$$

donde A y B tendrán que ser estrictamente positivos.

Convencionalmente, a es el semieje de la elipse en la dirección x y b es el semieje de la elipse en la dirección transversal. La relación de A/B y b/a variaran de la misma manera por lo que si $A > B$, entonces $b > a$ la igualdad nos llevara un área de contacto circular.

Cálculo de los Semiejes

El cálculo tradicional esta basado en hallar la relación de los semiejes: $g < 1$, ($g = b/a$) ó ($g = a/b$), en función de A y B usando un parámetro intermedio que llamaremos θ definido como:

$$\cos(\theta) = \frac{|B - A|}{B + A} \quad (4.10)$$

Los valores prácticos de los semiejes a y b, y θ como la reducción de la distancia entre cuerpos centrados estará dada por:

Si $a > b$

$$a = m \left(\frac{3}{2} N \frac{1-v^2}{E} \frac{1}{A+B} \right)^{1/3} \quad (4.11)$$

$$b = n \left(\frac{3}{2} N \frac{1-v^2}{E} \frac{1}{A+B} \right)^{1/3} \quad (4.12)$$

$$\delta = r \left(\left(\frac{3}{2} N \frac{1-v^2}{E} \right)^2 (A+B) \right)^{1/3} \quad (4.13)$$

Siendo E el módulo de Young y v el modulo de Poisson, suponemos que el material del raíl y la rueda es el mismo.

m, n y r son coeficientes adimensionales tabulados en función de la relación $g = n/m$ o del ángulo θ .

por lo que si π_{ab} es el perímetro de la elipse, esta puede ser expresada en función de:

$$ab = mn \left(\frac{3}{2} N \frac{1-v^2}{E} \frac{1}{A+B} \right)^{2/3} N^{2/3} \quad (4.14)$$

en donde el primer término contiene el material y las constantes geométricas, y el segundo sólo la carga.

Presión de Contacto para el Modelo

Con una distribución de presión elíptica, las presiones principales serían N/π_{ab} , por lo que la máxima presión podrá ser simplificada como:

$$\sigma_{max} = 1,5N/\pi \quad (4.15)$$

En el campo de los ferrocarriles, la presión máxima de contacto está frecuentemente sobre los 1000 Mpa. Este valor está por encima del límite elástico de la mayoría de los aceros, sin embargo el estado de compresión de los materiales, es mucho más complejo que un simple ensayo a tensión por lo que el límite elástico no es alcanzado. La determinación de la plastificación (el cual es el límite de la hipótesis de Hertz) debe ser calculado con un criterio basado en los esfuerzos hidrostáticos (Von Mises).

Hertz Coefficients (A/B < 1)

θ°	90	80	70	60	50	40	30	20	10	0
$g = n/m$	1	0.7916	0.6225	0.4828	0.3652	0.2656	0.1806	0.1080	0.0470	0
m	1	1.128	1.285	1.486	1.754	2.136	2.731	3.816	6.612	∞
n	1	0.8927	0.8000	0.7171	0.6407	0.5673	0.4931	0.4122	0.3110	0
r	1	0.9932	0.9726	0.9376	0.8867	0.8177	0.7263	0.6038	0.4280	0

Figura 4.2: coeficientes de Hertz

Hertz Coefficients for $\theta = 0$ to 180°

θ°	0	5	10	30	60	90	120	150	170	175	180
A/B	0	0.0019	0.0077	0.0717	0.3333	1	3.0	13.93	130.6	524.6	∞
b/a = n/m	0	0.0212	0.0470	0.1806	0.4826	1	2.0720	5.5380	21.26	47.20	∞
m	∞	11.238	6.612	2.731	1.486	1	0.7171	0.4931	0.311	0.2381	0
r	0	0.2969	0.4280	0.7263	0.9376	1	0.9376	0.7263	0.4280	0.2969	0

Figura 4.3: coeficientes de Hertz cont.

TABLE 4.3
Approximation of the n/m Values

θ°	0	5	10	30	60	90	120	150	170	175	180
A/B	0	0.0019	0.0077	0.0717	0.3333	1	3.0	13.93	130.6	524.6	∞
b/a = n/m	0	0.0212	0.0470	0.1806	0.4826	1	2.0720	5.5380	21.26	47.20	∞
$(A/B)^{0.63}$	0	0.0193	0.0466	0.1901	0.5005	1	1.9980	5.2564	21.530	51.700	∞

Figura 4.4: coeficientes de Hertz cont2.

4.1.2. El Problema Tangencial

La representación dinámica de las ruedas han sido usadas por largo tiempo para explicar el comportamiento sinusoidal de un conjunto de ruedas de tren libre. Sin embargo la situación es diferente en un vehículo real.

El eje de ruedas del tren está fuertemente unido al vehículo mediante elementos de suspensión flexibles, y estas uniones crean fuerzas significativas cuando el conjunto de ruedas está entrando a una curva o recorriendo una vía real con irregularidades.

Las fuerzas de la suspensión encuentran sus fuerzas de reacción en la interfase donde los componentes tangentes o de arrastre están relacionados a la velocidad relativa de los cuerpos: "los creepages" (o deslizamiento).

En el sistema de coordenadas en el punto de contacto, las fuerzas son llamadas de la siguiente manera:

- N para las fuerzas normales.
- F_x para las fuerzas de creep (o de deslizamiento) en el sentido longitudinal.
- F_y para las fuerzas de creep en el plano de contacto.

La fuerza Fy debe ser proyectada en el plano de la pista OY y sumado para dar la fuerzas de guía.

Fuerzas de Creep

En el caso del contacto lineal de Kalker, las fuerzas de creep (o de deslizamiento) están en función de las velocidades relativas entre los cuerpos rígidos cercanos al punto de contacto.(los creepages).

La expresión general de las fuerzas de creep tomaran en cuenta los coeficientes de rigidez expresados para en la teoría lineal de Kalker. Las cuales quedarán expresadas de la siguiente manera:

$$F_x = -Gabc_{11}v_x \quad (4.16)$$

$$F_y = -Gabc_{22}v_y - Gabc_{23}c\phi \quad (\text{con } c = \sqrt{ab}) \quad (4.17)$$

$$M_z = Gabc_{22}v_y - Gabc_{33}\phi \quad (4.18)$$

Donde G es el módulo de corte del material (acero); πab es la superficie de contacto y c_{ij} los coeficientes obtenidos por la tabla.

a/b	g	C_{11}			C_{22}			$C_{23} = -C_{32}$			C_{33}		
		$\sigma = 0$ $\pi^2/4(1-\sigma)$	$1/4$	$1/2$	$\sigma = 0$ $\pi^2/4 = 2,47$	$1/4$	$1/2$	$\sigma = 0$ $\pi\sqrt{g}/3$	$1/4$	$1/2$	$\sigma = 0$ $\pi^2/16(1-\sigma)g$	$1/4$	$1/2$
0.0	0.1	2.51	3.31	4.85	2.51	2.52	2.53	0.334	0.473	0.731	6.42	8.28	11.7
	0.2	2.59	3.37	4.81	2.59	2.63	2.66	0.483	0.603	0.809	3.46	4.27	5.66
	0.3	2.68	3.44	4.80	2.68	2.75	2.81	0.607	0.715	0.889	2.49	2.96	3.72
	0.4	2.78	3.53	4.82	2.78	2.88	2.98	0.720	0.823	0.977	2.02	2.32	2.77
	0.5	2.88	3.62	4.83	2.88	3.01	3.14	0.827	0.929	1.07	1.74	1.93	2.22
	0.6	2.98	3.72	4.91	2.98	3.14	3.31	0.930	1.03	1.18	1.56	1.68	1.86
	0.7	3.09	3.81	4.97	3.09	3.28	3.48	1.03	1.14	1.29	1.43	1.50	1.60
	0.8	3.19	3.91	5.05	3.19	3.41	3.65	1.13	1.25	1.40	1.34	1.37	1.42
	0.9	3.29	4.01	5.12	3.29	3.54	3.82	1.23	1.36	1.51	1.27	1.27	1.27
b/a	1.0	3.40	4.12	5.20	3.40	3.67	3.98	1.33	1.47	1.63	1.21	1.19	1.16
	0.9	3.51	4.22	5.30	3.51	3.81	4.16	1.44	1.59	1.77	1.16	1.11	1.06
	0.8	3.65	4.36	5.42	3.65	3.99	4.39	1.58	1.75	1.94	1.10	1.04	0.954
	0.7	3.82	4.54	5.58	3.82	4.21	4.67	1.76	1.95	2.18	1.05	0.965	0.852
	0.6	4.06	4.78	5.80	4.06	4.50	5.04	2.01	2.23	2.50	1.01	0.892	0.751
	0.5	4.37	5.10	6.11	4.37	4.90	5.56	2.35	2.62	2.96	0.958	0.819	0.650
	0.4	4.84	5.57	5.57	4.84	5.48	6.31	2.88	3.24	3.70	0.912	0.747	0.549
	0.3	5.57	6.34	7.34	5.57	6.40	7.51	3.79	4.32	5.01	0.868	0.674	0.446
	0.2	6.96	7.78	8.82	6.96	8.14	9.79	5.72	6.63	7.89	0.828	0.601	0.341
	0.1	10.7	11.7	12.9	10.7	12.8	16.0	12.2	14.6	18.0	0.795	0.526	0.228

Figura 4.5: coeficientes de Kalker.

Definición de los Creepages

Una expresión general para dos cuerpos que giran puede ser obtenida mediante la proyección de los vectores de velocidad en x,y y z.

las expresiones quedarán de la siguiente manera:

$$-longitudinal \quad v_x = \frac{proj./x(V_0 - V_1)}{\frac{1}{2}(V_0 + V_1)} \quad (adimensional) \quad (4.19)$$

$$-lateral \quad v_y = \frac{proj./y(V_0 - V_1)}{\frac{1}{2}(V_0 + V_1)} \quad (adimensional) \quad (4.20)$$

$$-Rotacional \quad \phi = \frac{proj./z(\omega_0 - \omega_1)}{\frac{1}{2}(V_0 + V_1)} \quad (1/m) \quad (4.21)$$

Las expresiones ω_0 y ω_1 representan la velocidad angular de dos sólidos proyectadas en el vector normal de contacto. Donde las velocidades V_0 y V_1 son las velocidades absolutas en el punto de contacto por lo cual la expresión $1/2(V_0 + V_1)$ sera la velocidad promedio.

Capítulo 5

Implementación de Kalker en el Modelo Multicuerpo

Como podemos ver para el modelo de Kalker se necesitan diferentes variables de entrada, que debemos proporcionar para poder obtener como salida las fuerzas de Kalker. Teniendo en cuenta la variación del estado en el sistema una de las metas es poder calcular con exactitud y rapidez los estados siguientes con el fin de obtener una simulación del comportamiento del sistema de manera rápida.

5.1. Parametrización de la superficie

La superficies de las ruedas se supone que deben de tener una simetría cilíndrica, al igual que los rieles, el perfil del raíl y las ruedas son paramentados usando splines de orden 3 . Las superficies de contacto son modeladas como un polinomio simple de tercer orden que representan los perfiles, los cuales tendrán unos coeficientes que irán modificándose según sea el lugar del perfil en el que se encuentre. Estos son actualizados dependiendo de la posición del punto de contacto y es aplicado antes de cada iteración usada para resolver el problema geométrico. Los polinomios quedan expresados de la siguiente manera:

$$sW = (uW - lW) \quad (5.1)$$

$$SplineW = dW + sW(cW + sW(bW + sW * aW)) \quad (5.2)$$

De igual forma para el Rail

$$sR = (uR - lR) \quad (5.3)$$

$$SplineR = dR + sR(cR + sR(bR + sR * aR)) \quad (5.4)$$

donde los coeficientes a,b,c,d y los puntos de corte l son los valores actualizados que dependerán del punto de contacto. u será la coordenada generalizada para dar la posición del punto de contacto en los perfiles.

En las coordenadas generalizadas θ es la usada para dar el punto de contacto (J) en la posición angular.

Para actualizar los coeficientes del spline se tiene una función específica en MATLAB la cual partiendo del valor U hallamos en que sección de la la spline nos encontramos y el valor en y respectivo a la sección del perfil(no es mas que evaluar nuestra función del perfil y obtener en que lugar exacto nos encontramos al punto de contacto).

5.2. Fuerzas Externas en el Modelo

5.2.1. Muelles de Unión

Además de las fuerzas de gravedad, se implementaron diferentes fuerzas de enlace en el modelo, con el fin de poder simular uniones muelle-amortiguadas entre los sólidos. Por lo que se implementaron una fuerza de acción y reacción en un punto ubicado en el centro del rodamiento definido en el Wheelset con un punto que estará definido desde el chasis e irá al centro del rodamiento, en donde entre estos 2 puntos existirán una fuerza de acción y una fuerza de reacción, que harán que se junten los cuerpos.

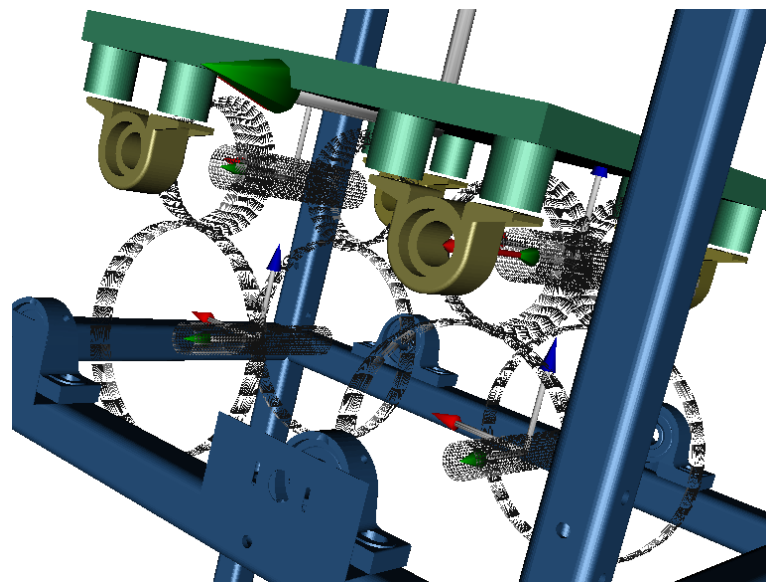


Figura 5.1: vector de posición del centro del rodamiento definido desde el Wheel-set.

En la 5.1 podemos ver la definición dada por el punto. De igual manera se definió con respecto al chasis como se muestra a continuación:

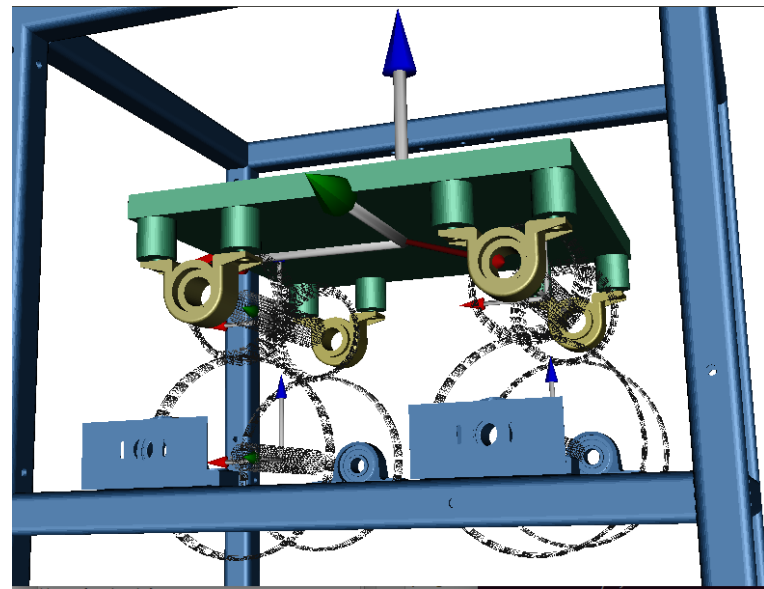


Figura 5.2: vector de posición del centro del rodamiento definido desde el chasis

En la figura 5.2 es una muestra de como definimos el punto del rodamiento pero esta vez desde el chasis.

5.2.2. Muelle de fijación

Otro de los temas que teníamos que lograr simular era el hecho de que el chasis está suspendido con una masa la cual evita el movimiento parcial en la dirección de x manteniendo el Bogie dentro de la estructura. Razón por la cual unas fuerzas de enlaces fueron implementadas de manera de que el desplazamiento en la dirección x de la estructura tendrán una fuerza de reacción en opuesta al movimiento, la cual disminuirá de manera parcial o total el movimiento en esta dirección, siendo esto ultimo lo buscado.

5.2.3. Fuerzas de Kalker

Este es uno de los parámetros más complicados, puesto que su solución tenía que darse en MATLAB sin embargo es parte del modelo. Mas adelante veremos el procedimiento para la obtención de estas fuerzas. Sin embargo los cálculos aplicados fueron basados en la teoría de Hertz, hay que tener en cuenta que estas fuerzas son variables de entrada al modelo, las cuales para tendremos que estar actualizando para que podamos resolver las coordenadas en un instante de tiempo dado.

5.2.4. Par Torsor en el Raíl

Una de las condiciones a reproducir en el modelo es el del par transmitido por un motor el cual dará el movimiento al sistema. Como input al sistema se tiene un par torsor el cual dará el movimiento a cada raíl.

5.3. Obtención de las Variables Mediante el Modelo Dinámico

Para obtener las variables de entrada de manera rápida, y como las fuerza normal es obtenida a partir del modelo dinámico, (ya que en este tomamos en cuenta las fuerzas de enlace), tomamos como premisa lo siguiente:

- Que al tener un paso de integración corto, las fuerzas obtenidas en el instante anterior son muy próximas o muy cercanas al estado siguiente.
- Que las fuerzas de enlace obtenidas en el modelo dinámico serán iguales a la fuerza normal.

5.3.1. Obtención de las Velocidades de Creep en el Modelo

Para hallar los creepages en nuestro modelo, usamos la siguientes ecuaciones:

$$\mathbf{v}_x = \frac{V_{Pw}^{Pw} - V_{Pr}^{Pr}}{\frac{1}{2}|V_{Pw}^{Pw} + V_{Pr}^{Pr}|} \mathbf{t}_x^r \quad (5.5)$$

$$\mathbf{v}_y = \frac{V_{Pw}^{Pw} - V_{Pr}^{Pr}}{\frac{1}{2}|V_{Pw}^{Pw} + V_{Pr}^{Pr}|} \mathbf{t}_y^r \quad (5.6)$$

$$\phi = \frac{\omega_{Pw}^{Pw} - \omega_{Pr}^{Pr}}{\frac{1}{2}|V_{Pw}^{Pw} + V_{Pr}^{Pr}|} \mathbf{n}^r \quad (5.7)$$

donde P_w^w y P_r^r , representa la velocidad lineal en el punto de contacto respecto de la rueda y con respecto al raíl respectivamente.

5.4. Obtención de las fuerzas de Kalker

A partir de los parámetros geométricos dados anteriormente, las fuerzas de Kalker son implementadas de la siguiente manera:

$$\begin{bmatrix} F_x \\ F_y \\ M_z \end{bmatrix} = - \begin{bmatrix} Gabc_{11} & 0 & 0 \\ 0 & Gabc_{22} & Gabc_{23}\sqrt{ab} \\ 0 & -Gabc_{23}\sqrt{ab} & Gabc_{33} \end{bmatrix} \begin{bmatrix} v_x \\ v_y \\ \Phi \end{bmatrix} \quad (5.8)$$

Donde la fuerza resultante de Kalker, estará dada por la siguiente expresión:

$$F_{Kalker} = F_x \mathbf{t}_1^r + F_y \mathbf{t}_2^r \quad (5.9)$$

$$M_{Kalker} = M_z \mathbf{n}^r \quad (5.10)$$

Las cuales expresarán el vector de momento y de la fuerza de Kalker en el modelo y que se actualizara en el tiempo.

5.4.1. El problema de equilibrio

El problema de equilibrio pasa por resolver las ecuaciones dinámicas y cinemáticas, buscando los valores de las coordenadas y de las incógnitas de enlace, cuando el sistema esta en reposo. En nuestro modelo buscaremos partir del reposo, para así dar una condiciones de inicio que sean compatibles con las restricciones y evitaremos tener posibles aceleraciones o velocidades que lleven a un problema de inestabilidad.

Con lo cual para esto resolvemos las ecuaciones haciendo 0 los valores de las aceleraciones y velocidades generalizadas y la resolveremos para las coordenadas en incógnitas de enlace.

por lo tanto tendremos que nuestro problema a resolver quedará de la siguiente manera:

$$\begin{bmatrix} \Phi_q^T \boldsymbol{\lambda} - \boldsymbol{\delta} \\ \gamma \end{bmatrix} = \begin{bmatrix} 0 \\ 0 \end{bmatrix} \quad (5.11)$$

Este sistema de ecuaciones es resuelto con el comando fsolve de MATLAB el cual resuelve sistema de ecuaciones no lineales en MATLAB, partiendo de unos valores iniciales. Esta función buscara resolver hasta encontrar los valores que satisfacen el planteamiento inicial, mas importante nos dará los valores de partida en el que el modelo se encuentra en reposo.

5.4.2. Integración con Kalker

En la sección anterior mostramos las ecuaciones mediante las cuales obtenemos las fuerzas de Kalker, en esta sección dedicaremos como resolveremos estas ecuaciones en nuestro modelo y de que manera hemos implementado el integrador en nuestro sistema.

Para esto partimos de nuestra estructura general del sistema de ecuaciones dinámico el cual tiene la forma:

$$\begin{bmatrix} M_{V\dot{q}} & \Phi_q^T \\ \Phi_{\dot{q}} & 0 \end{bmatrix} \begin{bmatrix} \ddot{\boldsymbol{q}} \\ \boldsymbol{\lambda} \end{bmatrix} = \begin{bmatrix} \boldsymbol{\delta} \\ \boldsymbol{\gamma} \end{bmatrix} \quad (5.12)$$

Partimos de la matriz $\boldsymbol{\delta}$ que tiene los componentes de las fuerzas que están aplicadas al modelo y que no son de enlace y es donde se encuentran las fuerzas de Kalker.

En este caso tenemos que las fuerzas de Kalker que se introducen al resolver el sistema. Tal como se plantea generan un efecto de stiffness el cual hace que el integrador en el tiempo sea inestable teniendo como consecuencia que paulatinamente nos alejemos de la solución.

Con lo cual la propuesta es reducir este efecto, integrando esta parte de manera implícita, logrando así evitar la inestabilidad numérica.

Para hacer esto, buscamos expresar las fuerzas de Kalker de manera que tomen la forma de una fuerza viscosa:

$$\mathbf{F}_i^{Kalker} = -\mathbf{C}_i^{Kalker} \mathbf{s}_i \quad (5.13)$$

donde

$$\mathbf{F}_i^{Kalker} = \begin{bmatrix} F_x \\ F_y \\ M_z \end{bmatrix} \quad (5.14)$$

$$\mathbf{s}_i = \begin{bmatrix} (V_{Pw}^{Pw} - V_{Pr}^{Pr})t_x^r \\ (V_{Pw}^{Pw} - V_{Pr}^{Pr})t_y^r \\ (\omega_{Pw}^{Pw} - \omega_{Pr}^{Pr})n^r \end{bmatrix} \quad (5.15)$$

$$\mathbf{C}_i^{Kalker} = \frac{Gab}{\frac{1}{2}|V_{Pw}^{Pw} + V_{Pr}^{Pr}|} \begin{bmatrix} c_{11} & 0 & 0 \\ 0 & c_{22} & ab^{-1/2}c_{23} \\ 0 & -ab^{-1/2}c_{23} & abc_{33} \end{bmatrix} \quad (5.16)$$

Dejamos que las fuerzas de Kalker sean las variables de entradas en el modelo dinámico, estas fuerzas pueden ser expresadas como:

$$\sum_i \frac{\partial \delta}{\partial F_i^{Kalker}} C_i^{Kalker} \frac{\partial s_i}{\partial \dot{q}} \dot{q} = C^{Kalker} \dot{q} \quad (5.17)$$

Con lo cual el excluir la contribución de Kalker en el vector δ , puede ser expresado como:

$$\begin{bmatrix} M_q & \dot{\phi}_{\dot{q}}^T \\ \dot{\phi}_{\dot{q}}^T & 0 \end{bmatrix} \begin{bmatrix} \ddot{q} \\ \lambda \end{bmatrix} = \begin{bmatrix} \delta \\ \gamma \end{bmatrix} + \begin{bmatrix} -C^{Kalker} \dot{q} \\ 0 \end{bmatrix} \quad (5.18)$$

De esta manera la contribución lineal de las fuerzas de Kalker para la dinámica son tratadas aparte .Por lo que las ecuaciones quedan expresadas de la siguiente manera:

$$\begin{aligned} M\ddot{q} + \Phi_q^t \lambda &= \delta_2 - C\dot{q} \\ \Phi_q \ddot{q} &= \gamma \end{aligned} \quad (5.19)$$

donde hacemos que:

$$\ddot{q} = \frac{\dot{q}_{(t+\Delta t)} - \dot{q}_t}{\Delta t} \quad (5.20)$$

sustituyendo en 5.18 tenemos:

$$M \left(\frac{\dot{q}_{(t+\Delta t)} - \dot{q}_t}{\Delta t} \right) + \Phi_q^t \lambda = \delta_2 - C\dot{q} \quad (5.21)$$

$$\Phi_q \left(\frac{\dot{q}_{(t+\Delta t)} - \dot{q}_t}{\Delta t} \right) = \gamma \quad (5.22)$$

Despejando y agrupando términos convenientemente nos queda:

$$\begin{bmatrix} M + C\Delta t & \Phi_q^T \Delta t \\ \Phi_q & 0 \end{bmatrix} \begin{bmatrix} q_{(t+\Delta t)} \\ \lambda \end{bmatrix} = \begin{bmatrix} \delta \Delta t + M\dot{q}_t \\ \gamma \Delta t + \Phi_q \dot{q}_t \end{bmatrix} \quad (5.23)$$

De esta manera resolvemos el problema de velocidades en el instante $t+\Delta t$, a partir de esto buscamos la posición en cualquier instante de tiempo con la siguiente ecuación:

$$q_{(t+\Delta t)} = q_t + \dot{q}_t \Delta t + \frac{1}{2} (\dot{q}_{(t+\Delta t)} - \dot{q}_t) * \Delta t \quad (5.24)$$

5.4.3. Oscilación de Klingel

La oscilación de Klingel no es más que un movimiento usualmente no buscado cerca del equilibrio. Esta expresión describe como un sistema busca el equilibrio.

Un movimiento clásico de este fenómeno es el balanceo de un vehículo ferroviario, causado por la acción de conicidad en dirección de estabilidad debido a

la adhesión ferroviaria. Esto surge de la interacción entre las fuerzas de adhesión y las fuerzas iniciales. A bajas velocidades la adhesión domina, pero a medida que la velocidad incrementa, las fuerzas iniciales y de adhesión pasan a ser comparables en magnitud y la oscilación comienza a una velocidad crítica.

Sobre esta velocidad el movimiento puede ser violento dañando las ruedas y causando un posible descarrilamiento.

Si por alguna razón las ruedas se encuentran hacia algún lado, los diámetros de las regiones de contacto y por consiguiente las velocidades tangenciales de las ruedas sean diferentes lo cual tenderá a regresar al centro.

una estimación de la longitud de onda puede ser expresada por la siguiente ecuación:

$$\lambda = 2\pi \sqrt{\frac{2lr_0}{2\tan\alpha}} \quad (5.25)$$

donde:

- λ = longitud onda de klingel.
- $2l$ = distancia entre centros.
- r_0 = radio de la rueda en la posición central.
- α =ángulo de conicidad de la rueda.

y la frecuencia de Klingel vendrá dada con la siguiente ecuación:

$$f = V/\lambda \quad (5.26)$$

donde V es la velocidad en la dirección x de las ruedas.

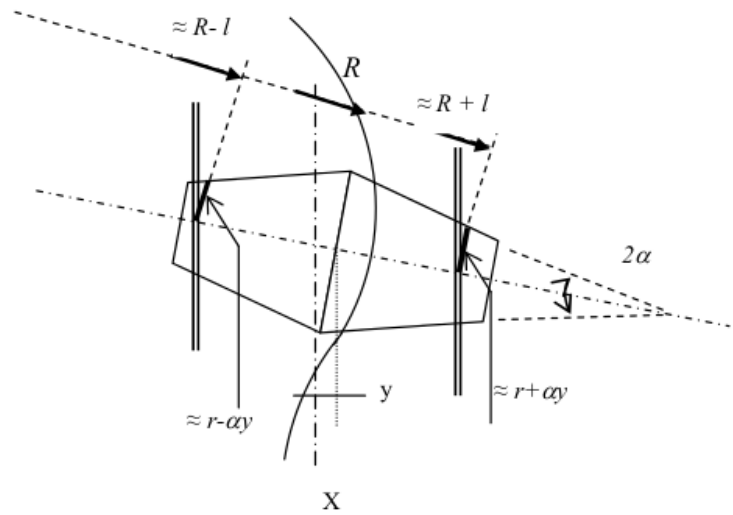


Figura 5.3: Oscilacion de Klingel

Capítulo 6

Validación cualitativa del modelo

6.1. Validación del modelo en condición de operación ideal

Una manera de validar el modelo es dar una condición en la que se tenga un comportamiento esperado, por ello las gráficas que a continuación se analizan muestran datos obtenidos de pruebas bajo distintas condiciones

La evolución de las variables más importantes para determinar si el comportamiento a lo largo del tiempo del modelo es correcto serán las encargadas de demostrar su validez.

6.1.1. Par motor aplicado desde el raíl

Si consideramos desde la posición de equilibrio, dar un par motor a las ruedas del raíl y así ver la transmisión del movimiento a partir de las fuerzas de Kalker, estas teóricamente transmitirán el par torsor de las ruedas del raíl a las ruedas del chasis. El par torsor aplicado es de 2NM

En esta condición de operación representa el comportamiento general del banco de ensayos y es nuestro caso más ideal.

Las coordenadas con las que podremos verificar el comportamiento puede ser la del giro de las ruedas del raíl, el giro de las ruedas del bogie y la evolución en el tiempo de las fuerzas de Kalker nos genera una idea de las cargas. que se transmiten en el banco de pruebas. Por lo que tenemos:

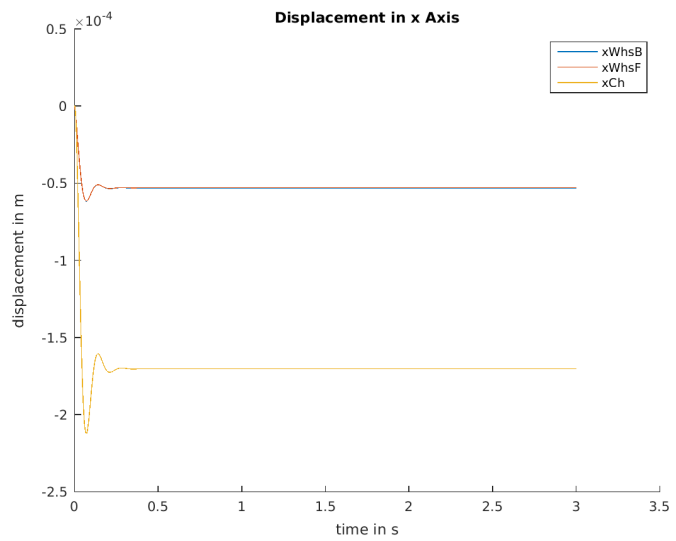


Figura 6.1: Desplazamientos en el eje x del bogie en el tiempo

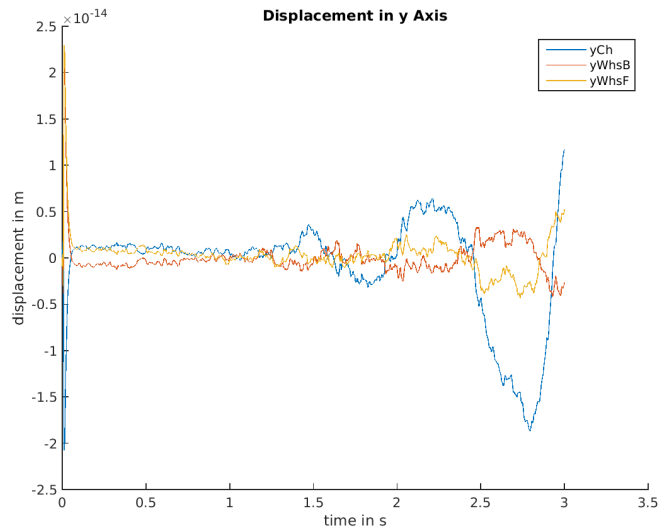


Figura 6.2: Desplazamientos en el eje y del bogie en el tiempo

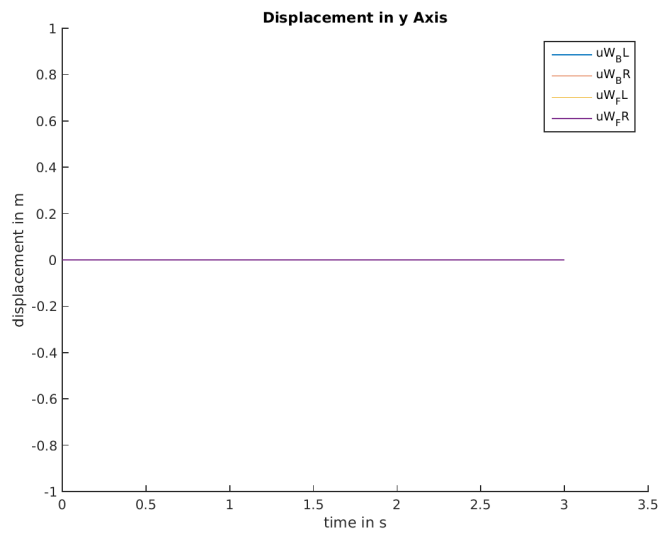


Figura 6.3: Desplazamientos en el eje y de la rueda en el punto de contacto en el tiempo

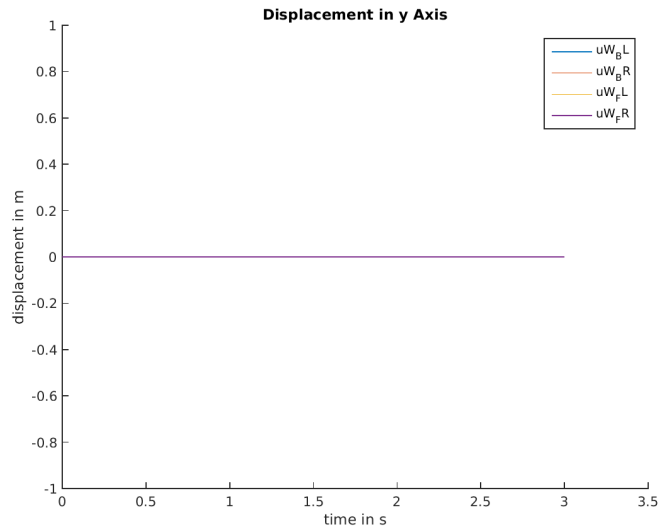


Figura 6.4: Desplazamientos en el eje y del rail en el punto de contacto en el tiempo

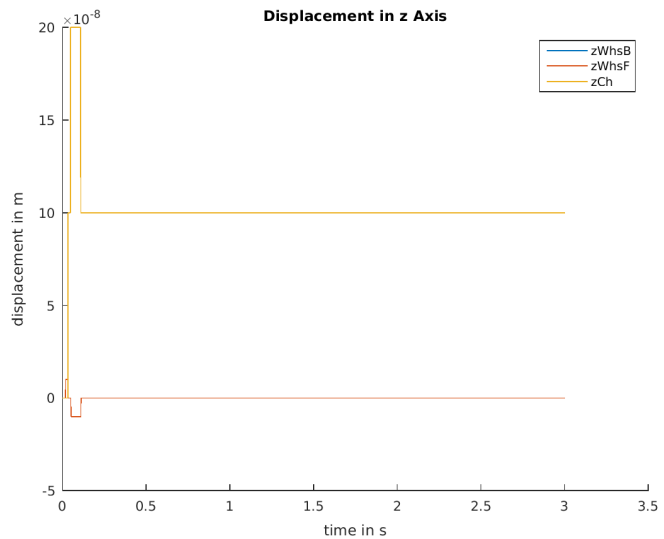


Figura 6.5: Desplazamientos en el eje z del bogie en el tiempo

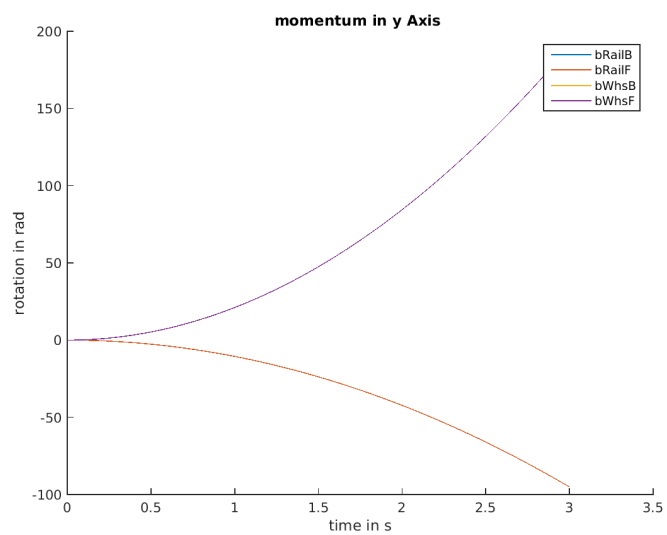


Figura 6.6: Giros en rad de las ruedas y el rail

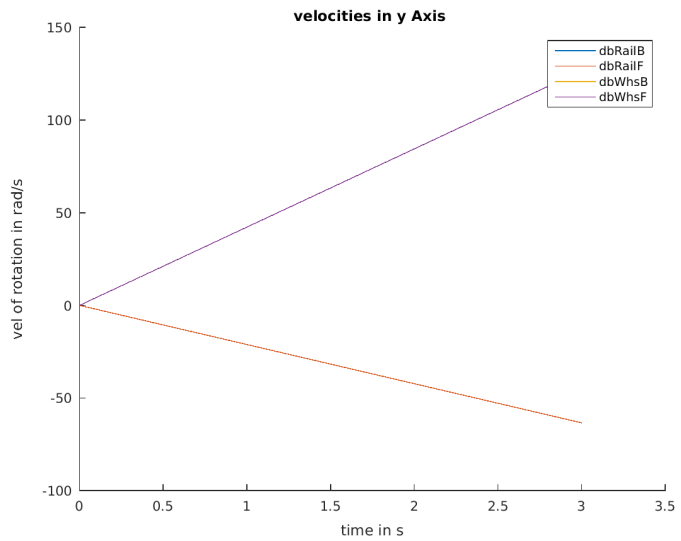


Figura 6.7: Velocidad en rad/s de las ruedas y rail

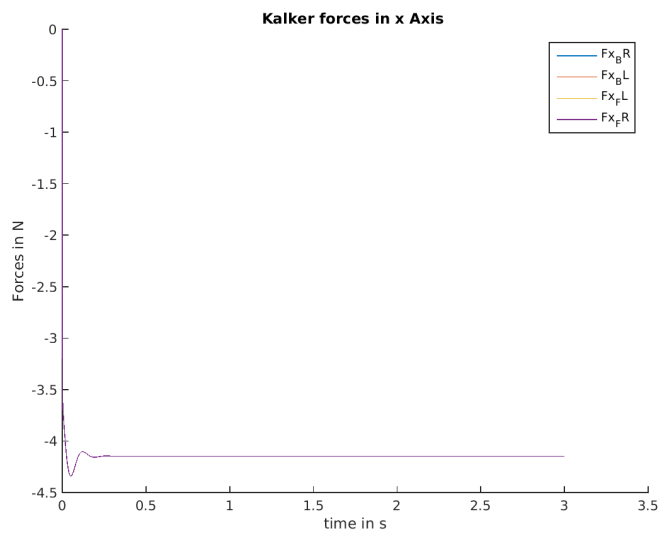


Figura 6.8: Fuerzas de Kalker en la dirección x entre la rueda y el rail en el tiempo

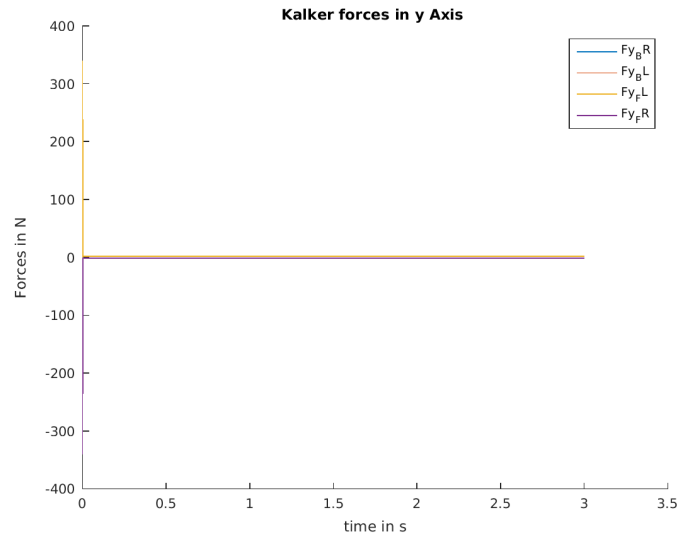


Figura 6.9: Fuerzas de Kalker en la dirección y entre la rueda y el rail en el tiempo

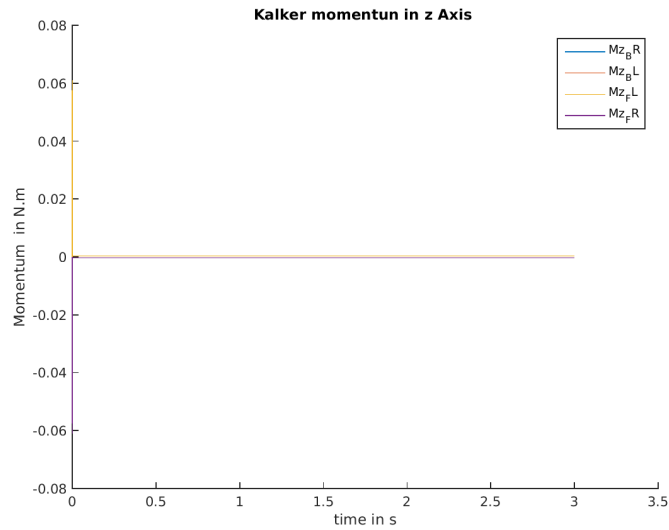


Figura 6.10: Momento de Kalker en la dirección z entre la rueda y el rail en el tiempo

Es importante ver en las fuerzas de Kalker el como partimos de un pico esto es debido a que en un principio el valor del deslizamiento entre la rueda inferior, y la superior es grande con lo cual hace que se produzca una fuerza muy grande la cual es atenuada con un valor límite, este valor límite estará dado en base a la fuerza máxima que se puede dar de una rueda a otra con lo cual nos dará un deslizamiento límite, para esto establecemos el valor límite a la velocidad promedio mínima entre las dos ruedas las cuales nos llevarán a un deslizamiento determinado, evitando así una inestabilidad numérica y limitando así el modelo

6.1.2. Par motor aplicado desde el raíl y un desplazamiento en dirección y del bogie

Esta situación partimos de un desplazamiento inicial en la dirección y de 0.001m del bogie y un par motor al cual mantendremos constante con un par motor en las ruedas de la parte superior que dependerán de la velocidad de giro, buscando tener un balanceo del bogie o un movimiento periódico en el eje y. Con este comportamiento podemos también observar la frecuencia de Klingel, las coordenadas del sistema en función del tiempo quedarán de la siguiente manera:

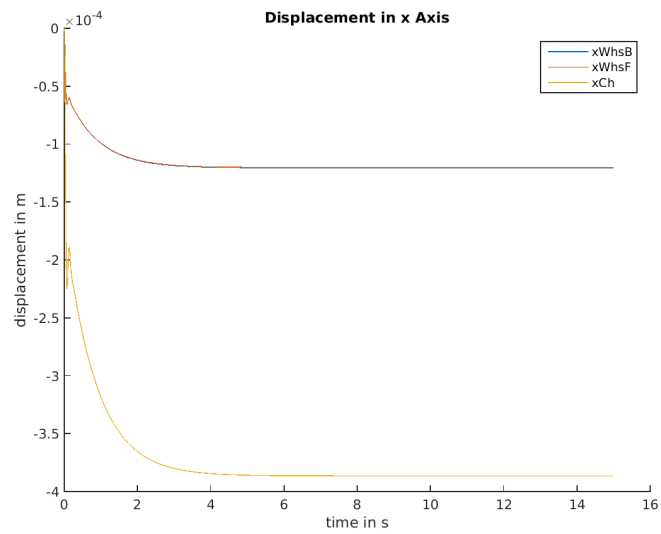


Figura 6.11: Desplazamientos en el eje x del bogie en el tiempo

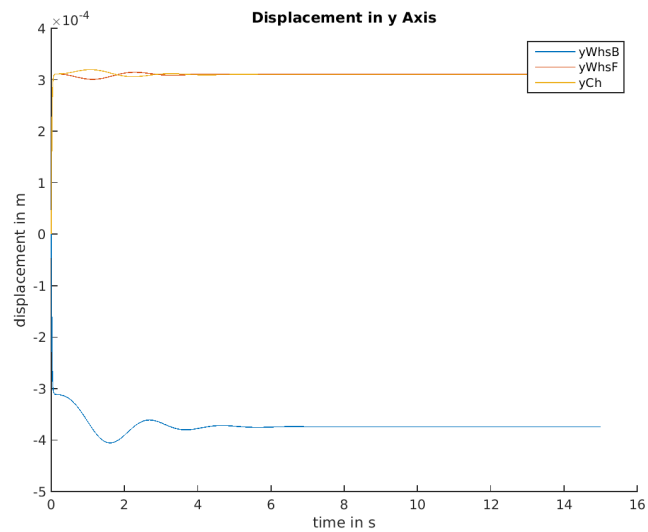


Figura 6.12: Desplazamientos en el eje y del bogie en el tiempo

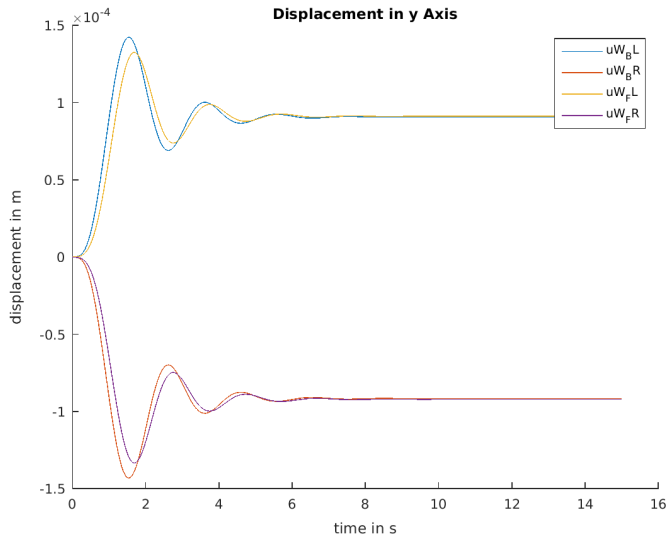


Figura 6.13: Desplazamientos en el eje y de la rueda en el punto de contacto en el tiempo

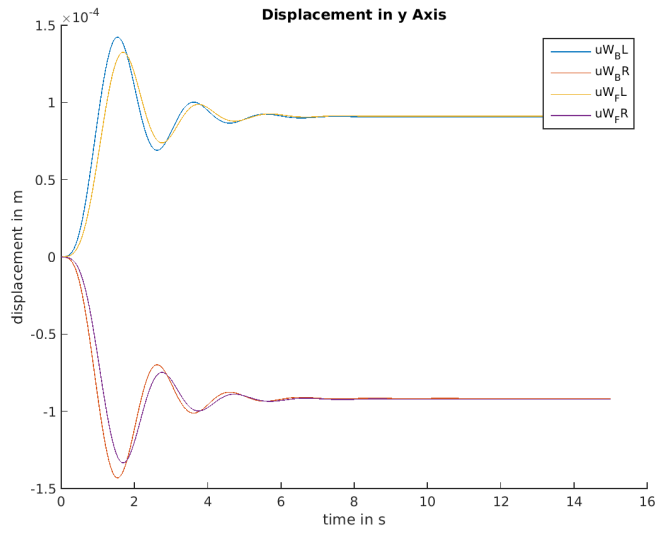


Figura 6.14: Desplazamientos en el eje y del rail en el punto de contacto en el tiempo

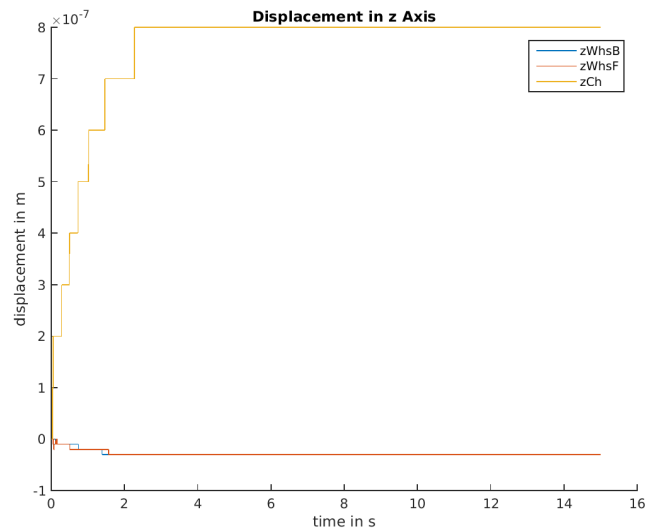


Figura 6.15: Desplazamientos en el eje z del bogie en el tiempo

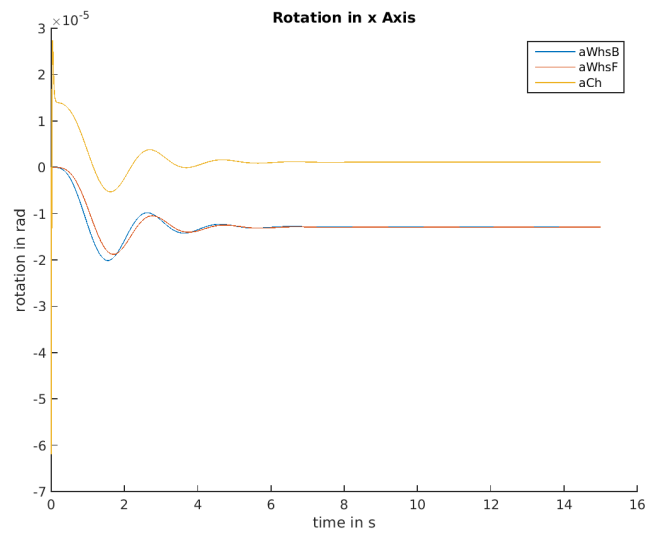


Figura 6.16: Giros en rad alrededor del eje x

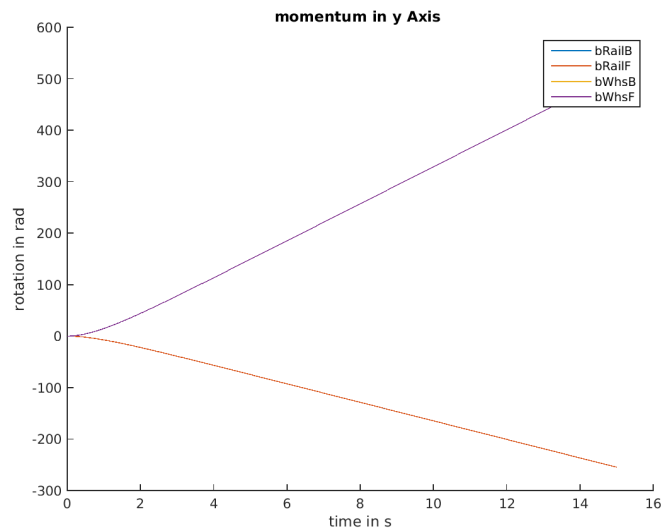


Figura 6.17: Giros en rad de las ruedas y el rail

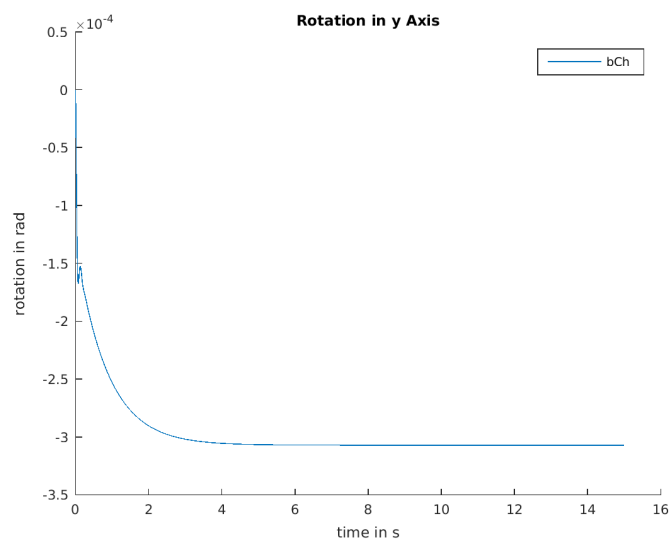


Figura 6.18: Giros en rad alrededor del eje y

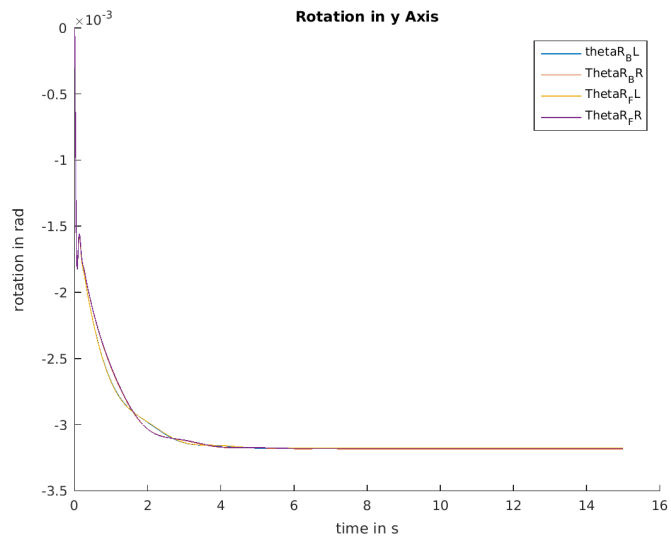


Figura 6.19: Giros en rad alrededor del eje y

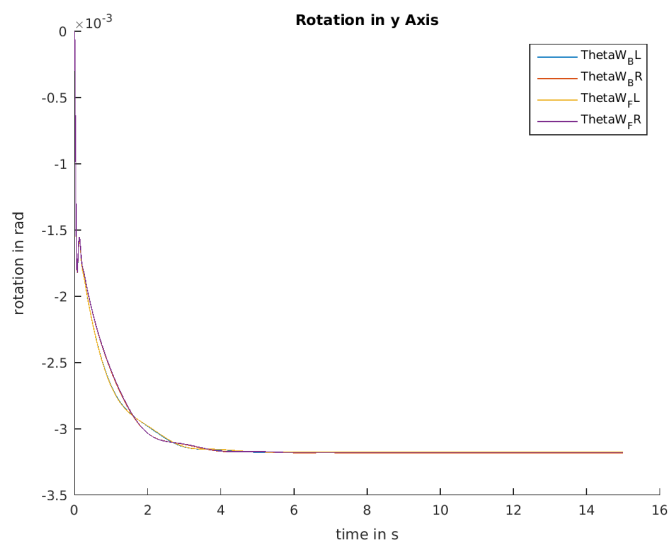


Figura 6.20: Giros en rad alrededor del eje y

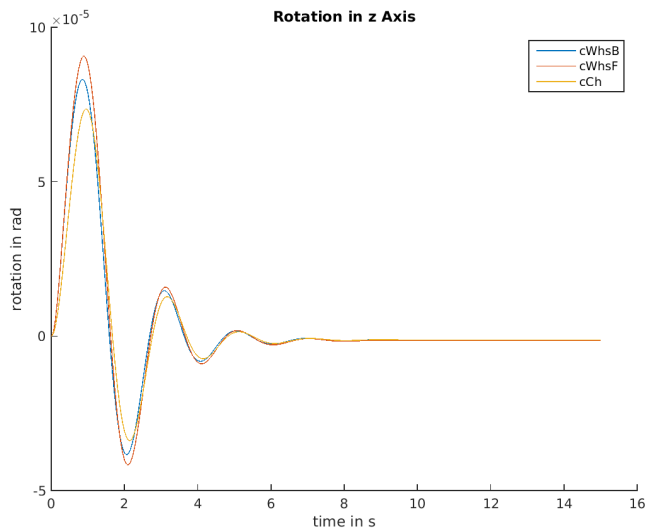


Figura 6.21: Giros en rad alrededor del eje z

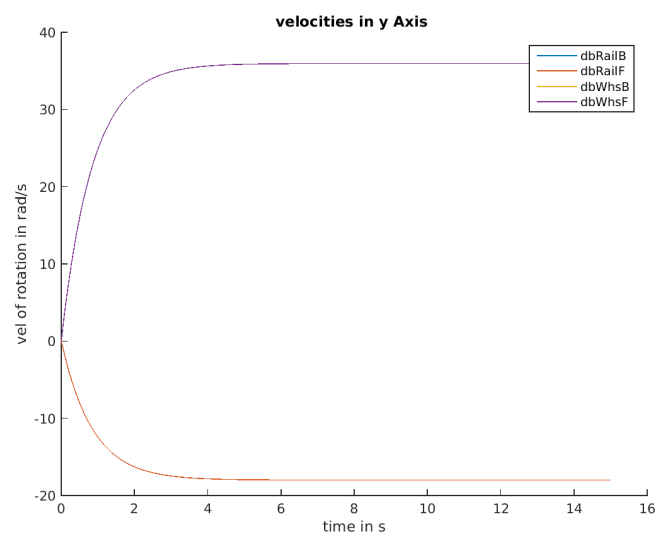


Figura 6.22: Velocidad en rad/s de las ruedas y rail

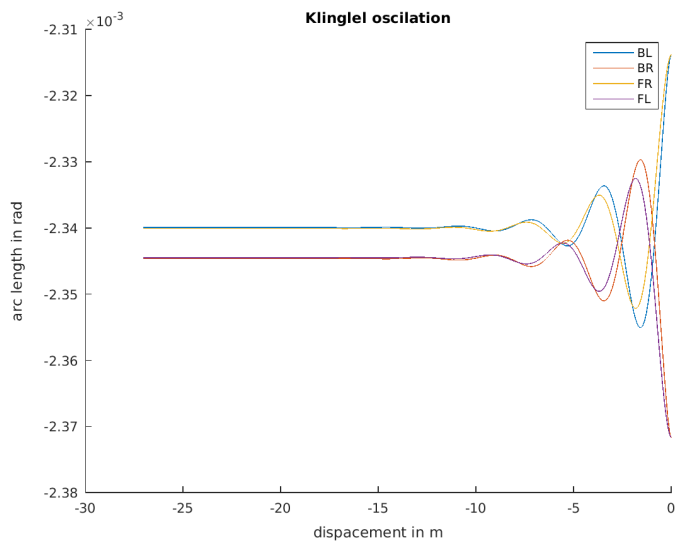


Figura 6.23: longitud de arco vs desplazamiento en U

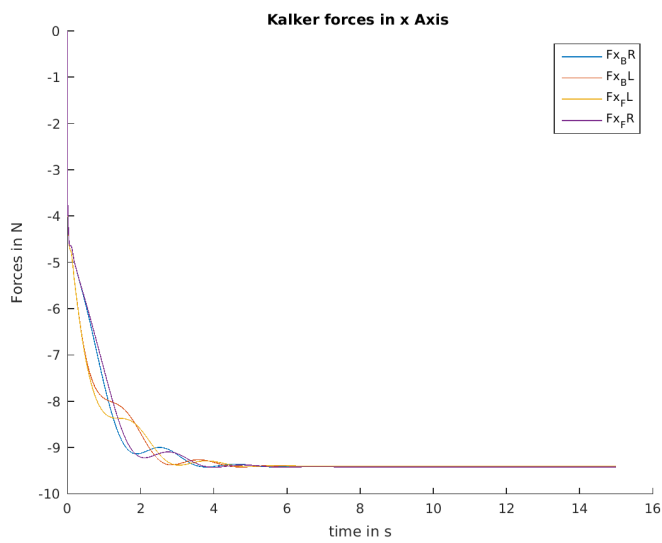


Figura 6.24: Fuerzas de Kalker en la dirección x entre la rueda y el rail en el tiempo

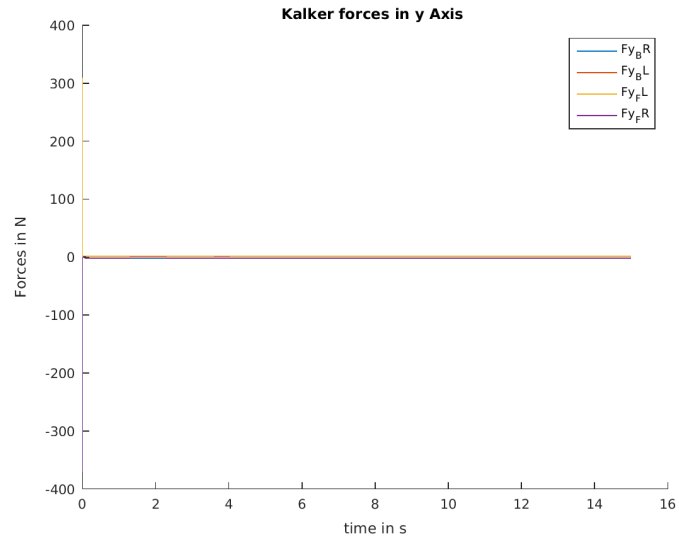


Figura 6.25: Fuerzas de Kalker en la dirección y entre la rueda y el rail en el tiempo

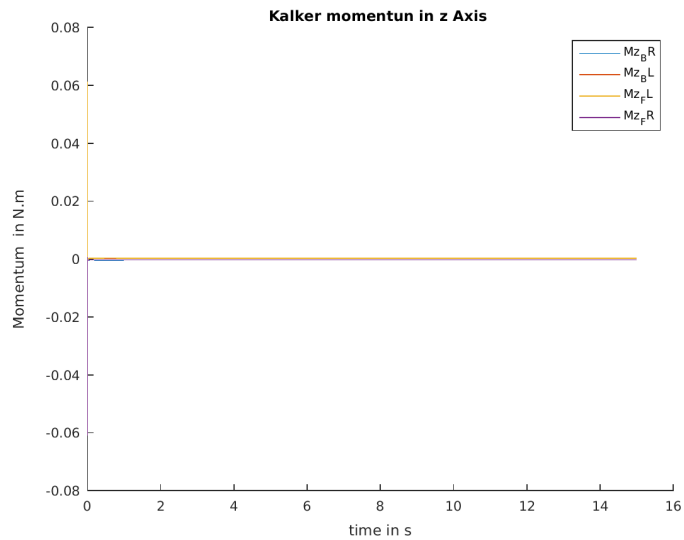


Figura 6.26: Momento de Kalker en la dirección z entre la rueda y el rail en el tiempo

Después de esto una segunda simulación fue llevada a cabo para corroborar el modelo en este caso para el valor de la frecuencia de Klingel la cual a una velocidad distinta se mantuvo en 0,29 hz. Lo cual teóricamente es lo que debe suceder en el modelo.

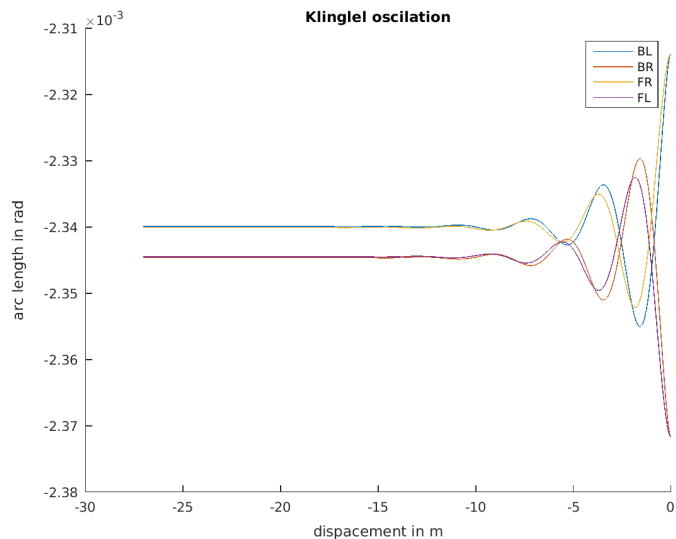


Figura 6.27: longitud de arco vs desplazamiento en U

6.1.3. Inclinación de la bancada

En la siguiente gráficas se muestra el comportamiento de la bancada ante una inclinación de aproximadamente 5 grados respecto del eje x, y moviéndose a una velocidad de 36 rad/s. En donde experimentalmente buscaremos observar algún tipo de desplazamiento con respecto al eje y ya que en un principio se logra ver un movimiento ligero, sin embargo este se atenuara y se mantendrá estable en el tiempo debido a las fuerzas de fricción.

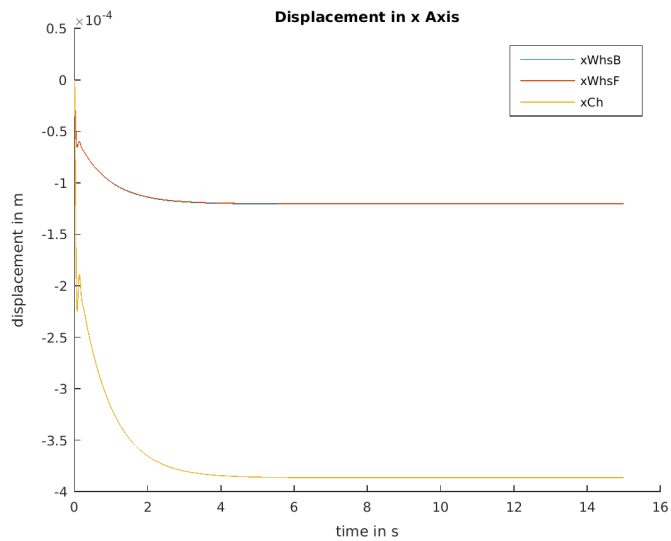


Figura 6.28: Desplazamientos en el eje x del bogie en el tiempo

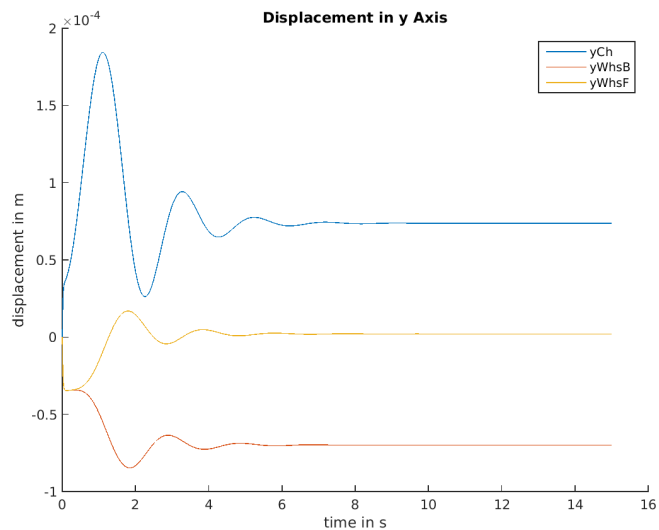


Figura 6.29: Desplazamientos en el eje y del bogie en el tiempo

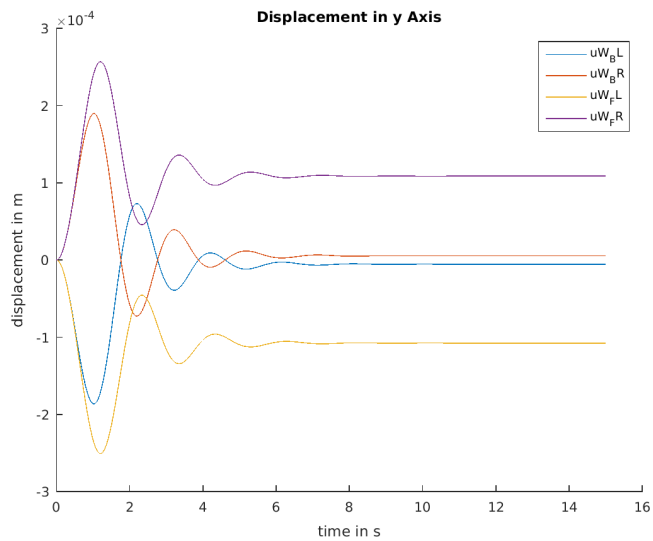


Figura 6.30: Desplazamientos en el eje y de la rueda en el punto de contacto en el tiempo

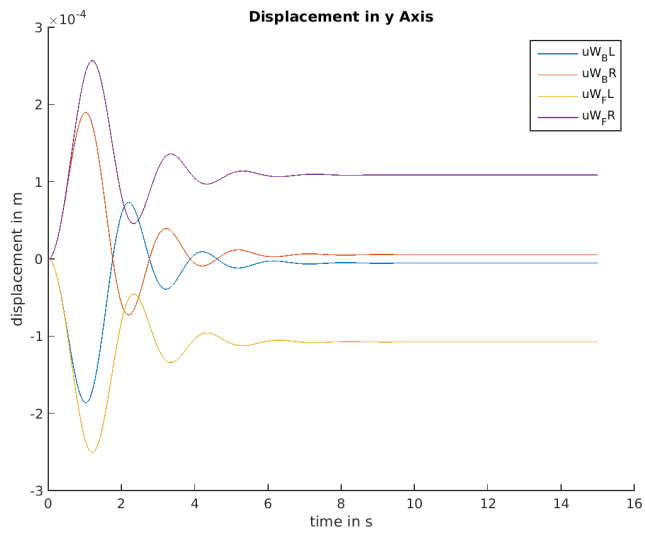


Figura 6.31: Desplazamientos en el eje y del rail en el punto de contacto en el tiempo

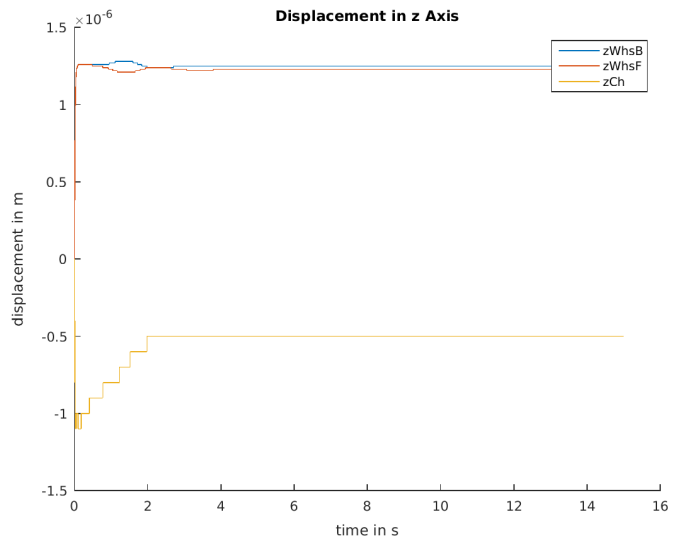


Figura 6.32: Desplazamientos en el eje z del bogie en el tiempo

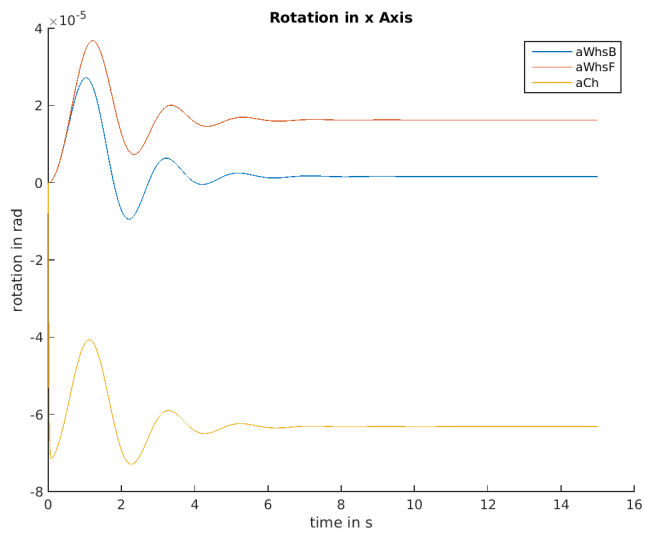


Figura 6.33: Giros en rad alrededor del eje x

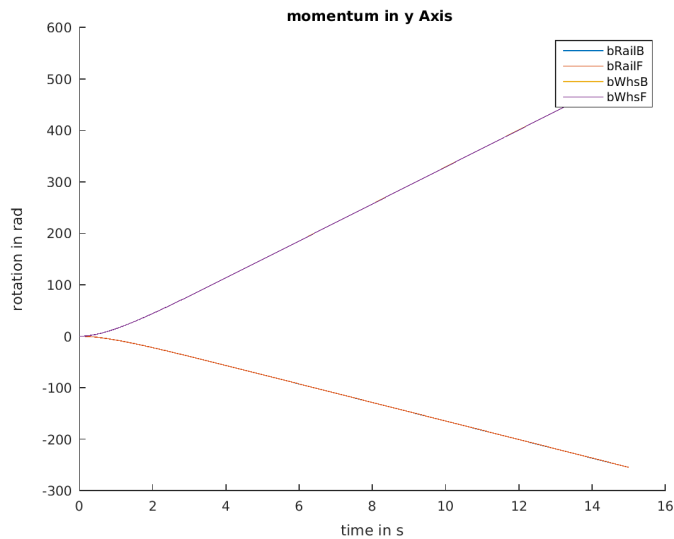


Figura 6.34: Giros en rad de las ruedas y el rail

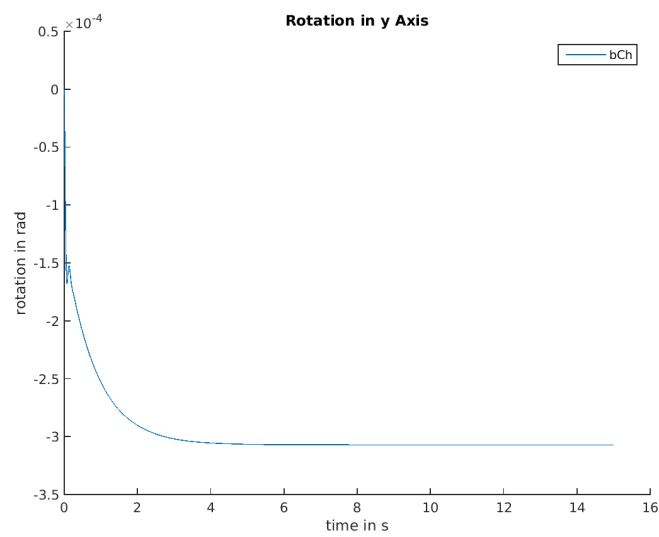


Figura 6.35: Giros en rad alrededor del eje y

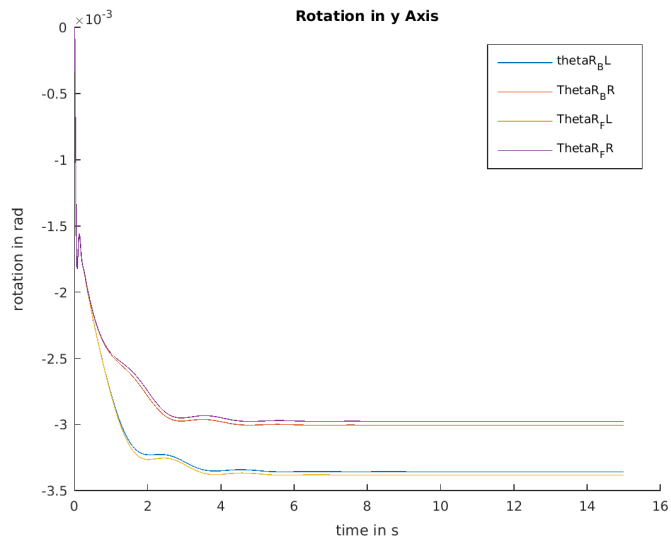


Figura 6.36: Giros en rad alrededor del eje y

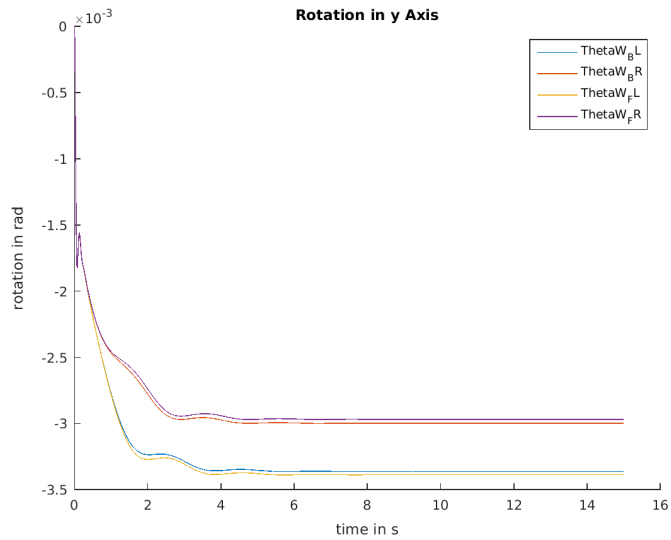


Figura 6.37: Giros en rad alrededor del eje y

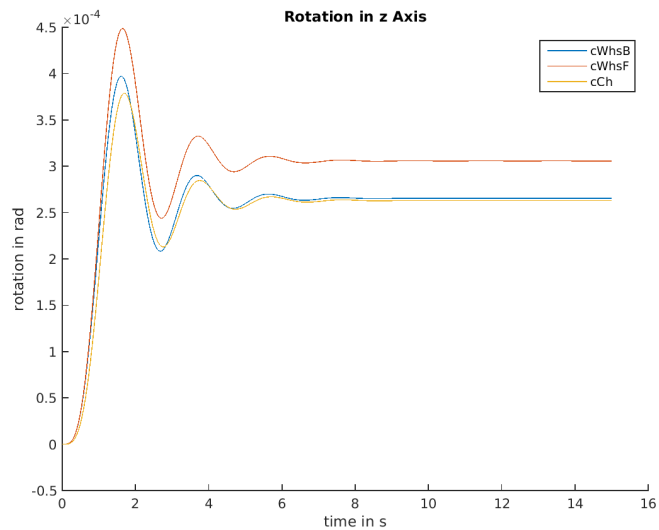


Figura 6.38: Giros en rad alrededor del eje z

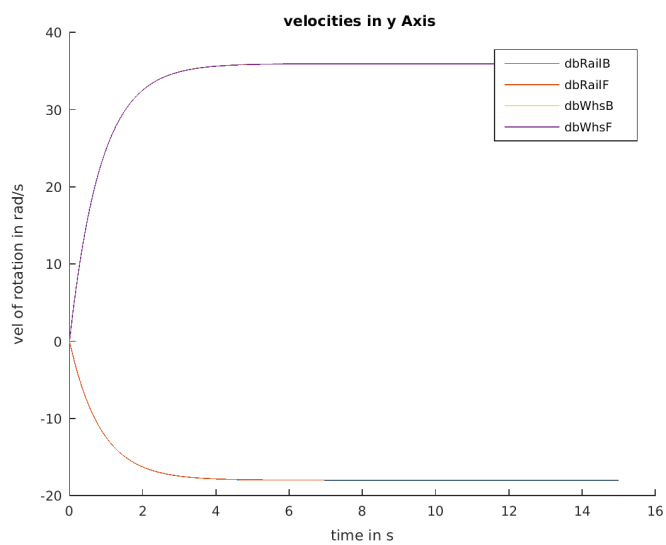


Figura 6.39: Velocidad en rad/s de las ruedas y rail

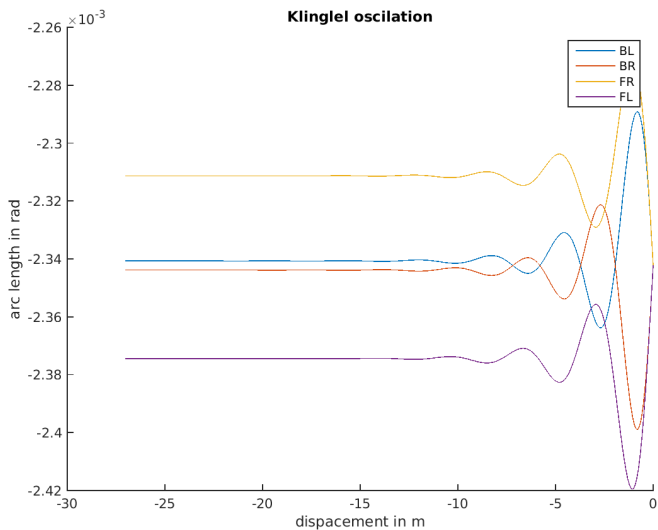


Figura 6.40: longitud de arco vs desplazamiento en U

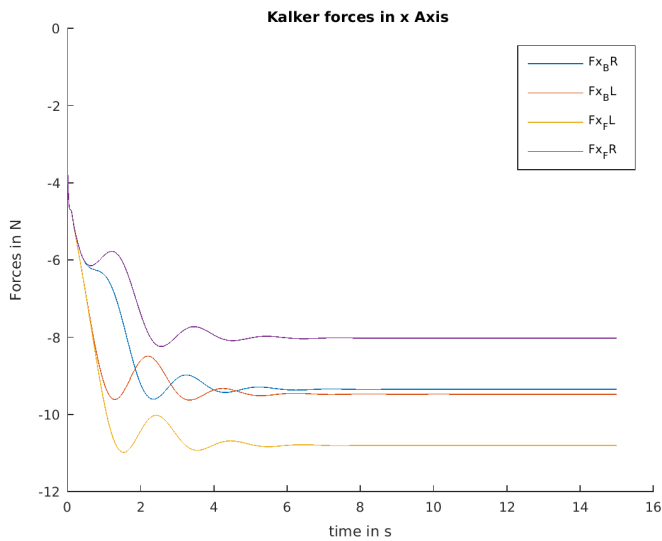


Figura 6.41: Fuerzas de Kalker en la dirección x entre la rueda y el rail en el tiempo

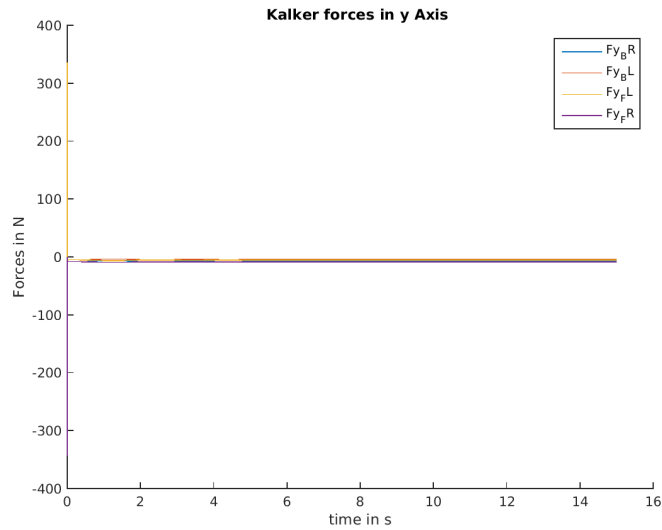


Figura 6.42: Fuerzas de Kalker en la dirección y entre la rueda y el raíl en el tiempo

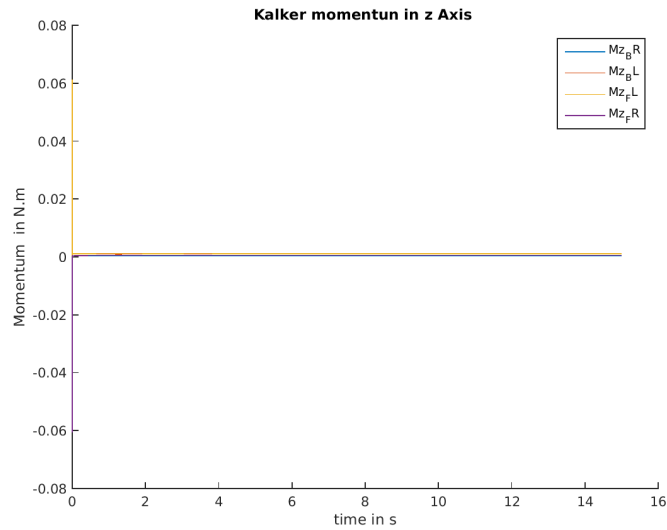


Figura 6.43: Momento de Kalker en la dirección z entre la rueda y el raíl en el tiempo

6.1.4. Conclusiones

En este trabajo se ha desarrollado un modelo de un banco de ensayos de un bogie de tren a escala, el cual fue construido en el laboratorio de ingeniería mecánica aplicada y computacional de la UPNA, con el fin de poder de experimentar y obtener parámetros dinámicos del sistema.

La caracterización fiable de las fuerzas de contacto de fricción que aparecen entre el raíl y la rueda, fue una de las prioridades del proyecto, de forma que el comportamiento del bogie sea lo mas preciso posible.

El modelo de contacto lineal de Kalker es un modelo discreto con el cual podemos obtener las fuerzas, a partir de ciertos parámetros en cada instante de tiempo, entre estos parámetros, tenemos la huella y la fuerza normal ejercida entre el raíl y la rueda.

Es importante ver en cada uno de los casos presentados anteriormente el comportamiento de las fuerzas, ya que en la mayoría de los casos en el estado inicial, podemos ver un pico, esto es debido a que en el instante inicial los pseudo deslizamientos producidos tienden a ser muy altos. en este puntos hemos logrado introducir al modelo un limitador de la fuerza el cual expresa el par máximo que se puede transmitir entre las ruedas.

La simulación dinámica se tuvo que ir al uso de un integrador de Euler explícito-implícito el cual debido a un error de stiffness ayuda a hallar la solución de las fuerzas en el tiempo. El paso de integración (Δt) utilizado para la simulación es de 0.001 s. esto se traduce en que el tiempo de análisis es mayor que el tiempo físico del movimiento, por lo que no es posible realizar simulaciones a tiempo real.

Uno de los casos mas representativos es en el evaluado en el apartado 6.1.1 donde representamos una condición ideal de funcionamiento y logramos ver como se transmiten las fuerzas de fricción de Kalker de una rueda a otra esto se puede ver en la 6.6. Lo cual es muy importante para saber el comportamiento correcto del modelo. En el apartado 6.1.3 responde a un experimento hecho en el laboratorio y logramos ver que el comportamiento de este corresponde con lo que sucede en el modelo.

Con lo cual se pudo constar que la respuesta de nuestra simulación dinámica en los diferentes casos, con respecto a las hipótesis y experimentos realizados son acordes o se corresponden entre estos con lo cual se puede decir que el modelo presentado en el trabajo es valido.

6.1.5. Otras simulaciones y pruebas

Muchas variables y muchas condiciones pueden ser evaluadas , por lo que se ha optado poner estos casos que muestran un comportamiento correcto en situaciones muy ideales

para completar esta validación se consideró entonces colocar un vídeo en el que se muestre diferentes situaciones para el banco de pruebas, durante la simulación no solo podremos ver el comportamiento, también podemos observar los vectores tangentes y normales del punto de contacto así como las fuerzas de

Kalker en su paso por el tiempo, este vídeo formará parte de los anexos que se entreguen del trabajo.

Capítulo 7

Mejoras en el modelo

Aun cuando se tiene un modelo que es capaz de reproducir unas condiciones muy cercanas a las condiciones en las que se estará sometido el banco de pruebas, es posible de alguna manera dar algunas mejoras al modelo, entre estas pueden ser:

7.0.6. Transmisión del Par Motor

una de las condiciones que puede buscarse reproducir es la transmisión del par que ofrece el motor a cada una de las ruedas , las cuales en este modelo están puestas como una entrada al sistema, sin embargo esto puede modificarse de manera que se consideren las perdidas que se tienen por la transmisión debido al sistema de poleas y correas.

7.0.7. Tiempo de integración

Aun cuando se tiene un paso de integración de 0.001, es posible considerar que esto se puede ejecutar de una manera mas rápida, si nos fijamos en las gráficas respecto al tiempo podemos apreciar que para un tiempo menos a 0.5s se tiene una variación muy brusca debido a las fuerzas de Kalker, sin embargo después de este tiempo el modelo se comienza comportar de manera mas estable con lo cual es posible que para tiempos mayores a 0.5 usemos un paso de integración mayor con lo cual pudiésemos obtener una simulación en un tiempo más cercano a el tiempo real.

Bibliografía

- [1] SIMON IWNICKI *Handbook of Railway Vehicle Dynamics* , Taylor and Francis Group. Estados Unidos, Boca Raton, 2006
- [2] JAVIER ROS *Symbolic Modeling of Multibody Systems For Real-time Applications* , UPNA. España, Pamplona, 2015
- [3] JAVIER ROS *Apuntes de Dinámica de Sistemas Multicuerpo* , UPNA. España, Pamplona, 2013
- [4] DAVID HERREROS SOJO *Diseño y Construcción de un Banco de Ensayos para un Bicie de Tren a Escala* , UPNA. España, Pamplona, 2014

Apéndice

Valores de los Parámetros

```
1 g = 9.800000000000007105;
2 aFrame = 0.349100000000000214;
3 m_RailB = 10.37446899999999497;
4 m_RailF = 10.37446899999999497;
5 m_Ch = 13.61052800000000404;
6 m_WhsB = 9.26934999999999312;
7 m_WhsF = 9.26934999999999312;
8 K_S1xy = 100000.0;
9 K_S1z = 100000.0;
10 C_S1xy = 1713.0;
11 C_S1z = 1713.0;
12 K_S2 = 100000.0;
13 C_S2 = 1713.0;
14 RRAIL = 0.10624999999999997224;
15 RWHS = 0.0531249999999998612;
16 LRAIL = 0.218499999999999978;
17 LWHS = 0.218499999999999978;
18 aW_BL = 0.0;
19 bW_BL = 0.0;
20 cW_BL = 0.181999999999999512;
21 dW_BL = -0.0531249999999998612;
22 IW_BL = 0.0;
23 aR_BL = 0.0;
24 bR_BL = -2.747300000000000753;
25 cR_BL = 0.0;
26 dR_BL = 0.10624999999999997224;
27 lR_BL = 0.0;
28 aW_BR = 0.0;
29 bW_BR = 0.0;
30 cW_BR = 0.181999999999999512;
31 dW_BR = -0.0531249999999998612;
32 IW_BR = 0.0;
33 aR_BR = 0.0;
34 bR_BR = -2.747300000000000753;
35 cR_BR = 0.0;
36 dR_BR = 0.10624999999999997224;
37 lR_BR = 0.0;
38 aW_FL = 0.0;
39 bW_FL = 0.0;
```

```

41 cW_FL = 0.181999999999999512;
42 dW_FL = -0.0531249999999998612;
43 lW_FL = 0.0;
44 aR_FL = 0.0;
45 bR_FL = -2.7473000000000000753;
46 cR_FL = 0.0;
47 dR_FL = 0.1062499999999997224;
48 lR_FL = 0.0;
49 aW_FR = 0.0;
50 bW_FR = 0.0;
51 cW_FR = 0.181999999999999512;
52 dW_FR = -0.0531249999999998612;
53 lW_FR = 0.0;
54 aR_FR = 0.0;
55 bR_FR = -2.7473000000000000753;
56 cR_FR = 0.0;
57 dR_FR = 0.1062499999999997224;
58 lR_FR = 0.0;
59 Ct = 10000.0;
60 E_elastic = 2.1E11;
61 nu_poisson = 0.2700000000000001776;
62 G_elastic = 8.07E10;
63 aBR = 0.0;
64 bBR = 0.0;
65 aBL = 0.0;
66 bBL = 0.0;
67 aFR = 0.0;
68 bFR = 0.0;
69 aFL = 0.0;
70 bFL = 0.0;
71 C11BR = 0.0;
72 C22BR = 0.0;
73 C23BR = 0.0;
74 C33BR = 0.0;
75 C11BL = 0.0;
76 C22BL = 0.0;
77 C23BL = 0.0;
78 C33BL = 0.0;
79 C11FR = 0.0;
80 C22FR = 0.0;
81 C23FR = 0.0;
82 C33FR = 0.0;
83 C11FL = 0.0;
84 C22FL = 0.0;
85 C23FL = 0.0;
86 C33FL = 0.0;

```

Coordenadas

```

1 bRailB = 0.0;
2 bRailF = 0.0;
3 xCh = 0.0;
4 yCh = 0.0;
5 zCh = 0.0;

```

```

6 | cCh = 0.0;
7 | aCh = 0.0;
8 | bCh = 0.0;
9 | bWhsB = 0.0;
10 | cWhsB = 0.0;
11 | aWhsB = 0.0;
12 | xWhsB = 0.0;
13 | yWhsB = 0.0;
14 | zWhsB = 0.0;
15 | bWhsF = 0.0;
16 | cWhsF = 0.0;
17 | aWhsF = 0.0;
18 | xWhsF = 0.0;
19 | yWhsF = 0.0;
20 | zWhsF = 0.0;
21 | thetaW_BL = 3.141599999999999481;
22 | uW_BL = 0.0;
23 | uR_BL = 0.0;
24 | thetaR_BL = 0.0;
25 | thetaW_BR = 3.141599999999999481;
26 | uW_BR = 0.0;
27 | uR_BR = 0.0;
28 | thetaR_BR = 0.0;
29 | thetaW_FL = 3.141599999999999481;
30 | uW_FL = 0.0;
31 | uR_FL = 0.0;
32 | thetaR_FL = 0.0;
33 | thetaW_FR = 3.141599999999999481;
34 | uW_FR = 0.0;
35 | uR_FR = 0.0;
36 | thetaR_FR = 0.0;

```

Fichero Símbolico lib_3D_mec

```

1 // ****
2 #include <fstream>
3 #include "lib_3d_mec_ginac/lib_3d_mec_ginac.h"
4 #include <ginac/ginac.h>
5 #include <sstream>
6 //
7 // ****
8 // PLEASE AIWAYS DEFINE ORDER & MAPLE & METHOD
9 // DEFINED IN "globals.h" + "compilation line or with #define"
10 //
11 // #define METHOD VIRTUALPOWER or #define METHOD LAGRANGE // or
12 // compilation line -DORDER=CMO or -DORDER=RMO
13 // #define ORDER CMO or #define ORDER RMO // or compilation line
14 // -DORDER=CMO or -DORDER=RMO
15 // #define MAPLE MAPLE_ON or #define MAPLE MAPLE_OFF // or
16 // compilation line -DMAPLE=MAPLE_ON -DMAPLE=MAPLE_OFF
17 //
18 // IF METHOD = 1 ==> VIRTUALPOWER & IF METHOD = 0 ==> LAGRANGE

```

```

16 // IF ORDER = 1 ==> CMO & IF ORDER = 0 ==> RMO
17 // IF MAPLE = 1 ==> MAPLE_ON & IF MAPLE = 0 ==> MAPLE_OFF
18 //
19 ****
20 #ifdef LAG
21     # define METHOD LAGRANGE
22 #endif
23
24 #ifdef V_P
25     # define METHOD VIRTUALPOWER
26 #endif
27 //
28 ****
29 #ifdef Q
30     #define PROBLEM_TYPE "Q"
31 #endif
32 #ifdef Z
33     #define PROBLEM_TYPE "Z"
34 #endif
35 #ifdef I3AL_Q
36     #define PROBLEM_TYPE "I3AL_Q"
37 #endif
38 #ifdef I3AL_Z
39     #define PROBLEM_TYPE "I3AL_Z"
40 #endif
41 #ifdef ALL
42     #define PROBLEM_TYPE "ALL"
43 #endif
44 //
45 ****
46 using namespace GiNaC;
47 using namespace std;
48
49 // SYSTEM DEFINITION
50 //
51 ****
52 void printError2(const char* arg){
53     printf("%s\n", arg);
54 }
55
56 #ifdef PROCEDURE
57 int C_EXPORT_AS_PROCEDURE=1;
58 #else
59 int C_EXPORT_AS_PROCEDURE=0;
60 #endif
61
62 int main(int argc, char *argv[]) {
63

```

```

64 // ****
65 cout << " " << endl;
66 cout << "*****BOGIE PROTOTYPE*****" << endl;
67 cout << "*" << endl;
68 cout << "*****" << endl;
69 cout << " " << endl;
70 system("date");
71 cout << " " << endl;
72 // ****
73 if (argc!=3){
74     printf("Error: The program %s takes two parameters: Gravity
75         (UP/DOWN) and Atomize (YES/NO)\n", argv[0]);
76     exit(1);
77 }
78 if (0==strcmp(argv[1], "DOWN")){
79     gravity=DOWN;
80     cout << "Gravity DOWN" << endl;
81 }
82 else{
83     if (0==strcmp(argv[1], "UP")){
84         gravity=UP;
85         cout << "Gravity UP" << endl;
86     }
87     else
88     {
89         printf("Error: The program %s takes two parameters: Gravity
90             (UP/DOWN) and Atomize (YES/NO)\n", argv[0]);
91         exit(1);
92     }
93 }
94 if (0==strcmp(argv[2], "YES")){
95     atomization=YES;
96     cout << "Atomize YES" << endl;
97 }
98 else{
99     if (0==strcmp(argv[2], "NO")){
100         atomization=NO;
101         cout << "Atomize NO" << endl;
102     }
103     else
104     {
105         printf("Error: The program %s takes two parameters: Gravity
106             (UP/DOWN) and Atomize (YES/NO)\n", argv[0]);
107         exit(1);
108     }
109 }
110 // ****

```

```

113 double integration_time=strtod(argv[1], NULL);
114 double delta_t= strtod(argv[2], NULL);
115 long int k,steps;
116
117 printf("integration_time %g delta_t %g\n", integration_time,
118      delta_t);
119
120 /**
121 // System definition
122 /**
123
124 System sys(&printError2);
125
126 /**
127 /**
128 // Coordinate definition
129 /**
130
131
132 //symbol_numeric aFrame = *sys.new_Coordinate("aFrame","daFrame"
133 //,"daFrame", 0.0 , 0.0 , 0.0);
134 symbol_numeric bRailB = *sys.new_Coordinate("bRailB","dbRailB",
135 // "ddbRailB", 0.0 , 0.0 , 0.0);
136 symbol_numeric bRailF = *sys.new_Coordinate("bRailF","dbRailF",
137 // "ddbRailF", 0.0 , 0.0 , 0.0);
138 symbol_numeric xCh = *sys.new_Coordinate("xCh","dxCh",
139 // "ddxCh", 0.0 , 0.0 , 0.0);
140 symbol_numeric yCh = *sys.new_Coordinate("yCh","dyCh",
141 // "ddyCh", 0.0 , 0.0 , 0.0);
142 symbol_numeric zCh = *sys.new_Coordinate("zCh","dzCh",
143 // "ddzCh", 0.0 , 0.0 , 0.0);
144 symbol_numeric cCh = *sys.new_Coordinate("cCh","dcCh",
145 // "ddcCh", 0.0 , 0.0 , 0.0);
146 symbol_numeric aCh = *sys.new_Coordinate("aCh","daCh",
147 // "ddaCh", 0.0 , 0.0 , 0.0);
148 symbol_numeric bCh = *sys.new_Coordinate("bCh","dbCh",
149 // "ddbCh", 0.0 , 0.0 , 0.0);
150 symbol_numeric bWhsB = *sys.new_Coordinate("bWhsB","dbWhsB",
151 // "ddbWhsB", 0.0 , 0.0 , 0.0);
152
153
154 symbol_numeric cWhsB = *sys.new_Coordinate("cWhsB","dcWhsB",
155 // "ddcWhsB", 0.0 , 0.0 , 0.0);
156 symbol_numeric aWhsB = *sys.new_Coordinate("aWhsB","daWhsB",
157 // "ddaWhsB", 0.0 , 0.0 , 0.0);
158 symbol_numeric xWhsB = *sys.new_Coordinate("xWhsB","dxWhsB",
159 // "ddxWhsB", 0.0 , 0.0 , 0.0);

```

```

147     symbol_numeric yWhsB = *sys.new_Coordinate("yWhsB","dyWhsB"
148 , "ddyWhsB", 0.0 , 0.0 , 0.0);
149     symbol_numeric zWhsB = *sys.new_Coordinate("zWhsB","dzWhsB"
150 , "ddzWhsB", 0.0 , 0.0 , 0.0);
151
152     symbol_numeric bWhsF = *sys.new_Coordinate("bWhsF","dbWhsF"
153 , "ddbWhsF", 0.0 , 0.0 , 0.0);
154     symbol_numeric cWhsF = *sys.new_Coordinate("cWhsF","dcWhsF",
155 "ddcWhsF", 0.0 , 0.0 , 0.0);
156     symbol_numeric aWhsF= *sys.new_Coordinate("aWhsF","daWhsF",
157 "ddaWhsF", 0.0 , 0.0 , 0.0);
158     symbol_numeric xWhsF = *sys.new_Coordinate("xWhsF","dxWhsF",
159 "ddxWhsF", 0.0 , 0.0 , 0.0);
160     symbol_numeric yWhsF = *sys.new_Coordinate("yWhsF","dyWhsF"
161 , "ddyWhsF", 0.0 , 0.0 , 0.0);
162     symbol_numeric zWhsF = *sys.new_Coordinate("zWhsF","dzWhsF"
163 , "ddzWhsF", 0.0 , 0.0 , 0.0);
164
165 symbol_numeric *dbRailB=sys.get_Velocity("dbRailB");
166     symbol_numeric *dbRailF=sys.get_Velocity("dbRailF");
167     symbol_numeric *dxCh=sys.get_Velocity("dxCh");
168     symbol_numeric *dyCh=sys.get_Velocity("dyCh");
169     symbol_numeric *dzCh=sys.get_Velocity("dzCh");
170     symbol_numeric *dcCh=sys.get_Velocity("dcCh");
171     symbol_numeric *daCh=sys.get_Velocity("daCh");
172     symbol_numeric *dbCh=sys.get_Velocity("dbCh");
173
174     symbol_numeric *dbWhsF=sys.get_Velocity("dbWhsF");
175     symbol_numeric *dcWhsF=sys.get_Velocity("dcWhsF");
176     symbol_numeric *daWhsF=sys.get_Velocity("daWhsF");
177     symbol_numeric *dxWhsF=sys.get_Velocity("dxWhsF");
178     symbol_numeric *dyWhsF=sys.get_Velocity("dyWhsF");
179     symbol_numeric *dzWhsF=sys.get_Velocity("dzWhsF");
180
181
182
183
184
185
186
187     symbol_numeric *ddbRailB=sys.get_Acceleration("ddbRailB");
188     symbol_numeric *ddbRailF=sys.get_Acceleration("ddbRailF");
189     symbol_numeric *ddxCh=sys.get_Acceleration("ddxCh");
190     symbol_numeric *ddyCh=sys.get_Acceleration("ddyCh");
191     symbol_numeric *ddzCh=sys.get_Acceleration("ddzCh");
192     symbol_numeric *ddcCh=sys.get_Acceleration("ddcCh");
193     symbol_numeric *ddaCh=sys.get_Acceleration("ddaCh");
194     symbol_numeric *ddbCh=sys.get_Acceleration("ddbCh");
195

```

```

196 symbol_numeric *ddbWhsF=sys . get_Acceleration("ddbWhsF");
197 symbol_numeric *ddcWhsF=sys . get_Acceleration("ddcWhsF");
198 symbol_numeric *ddaWhsF=sys . get_Acceleration("ddaWhsF");
199 symbol_numeric *ddxWhsF=sys . get_Acceleration("ddxWhsF");
200 symbol_numeric *ddyWhsF=sys . get_Acceleration("ddyWhsF");
201 symbol_numeric *ddzWhsF=sys . get_Acceleration("ddzWhsF");
202
203 symbol_numeric *ddbWhsB=sys . get_Acceleration("ddbWhsB");
204 symbol_numeric *ddcWhsB=sys . get_Acceleration("ddcWhsB");
205 symbol_numeric *ddaWhsB=sys . get_Acceleration("ddaWhsB");
206 symbol_numeric *ddxWhsB=sys . get_Acceleration("ddxWhsB");
207 symbol_numeric *ddyWhsB=sys . get_Acceleration("ddyWhsB");
208 symbol_numeric *ddzWhsB=sys . get_Acceleration("ddzWhsB");
209
210
211
212
213
214 lst coord_indep_init;
215 //coord_indep_init=bRailB-0.0,bRailF-0.0,yCh+0.0,cCh-0.0,
216 aCh+0.0,bCh-0.0,cWhsB-0.0,xWhsB-(-0.15625),cWhsF-0.0,xWhsF
217 -(0.15625),zCh-0.23184,,yWhsB-0.0,yWhsF-0.0;
218 coord_indep_init=zCh-0.2366;// yCh-0.01,cCh-0.1,bRailB-0.0,
219 bRailF-0.0,xCh-0.0,yCh-0.0,zCh-0.2366,cCh-0.0,aCh-0.0,bCh-0.0,
220 bWhsB-0.0,cWhsB-0.0,aWhsB-0.0,xWhsB-0.1567,yWhsB-0.0,zWhsB
221 +0.0772,bWhsF-0.0,cWhsF-0.0,aWhsF-0.0,xWhsF+0.1567,yWhsF-0.0,
222 zWhsF+0.0772;//zCh-0.2366; //xWhsF-(-0.15625),xWhsB-(0.15625);
223 lst vel_indep_init;
224 vel_indep_init= *dbRailB-0.0,*dbRailF-0.0, *dbWhsF-0.0,*dbWhsB
225 -0.0;
226
227 /**
228 ****
229 // Kinematical parameter definition
230 /**
231 ****
232
233 //symbol_numeric d = *sys . new_Parameter("d",0.5);
234 //symbol_numeric h = *sys . new_Parameter("h",0.5);
235
236 symbol_numeric aFrame = *sys . new_Parameter("aFrame",0.3491);
237
238 /**
239 ****
240 // KINEMATICS
241 /**
242 ****
243
244 /**
245 ****

```

```

236 // Define Bases
237 /**
238 ****
239 sys.new_Base("xyz1","xyz",1,0,0,aFrame);
240 sys.new_Base("B_RailB","xyz1",0,1,0,bRailB);
241 sys.new_Base("B_RailF","xyz1",0,1,0,bRailF);
242 sys.new_Base("B_Ch_c","xyz1",0,0,1,cCh);
243 sys.new_Base("B_Ch_a","B_Ch_c",1,0,0,aCh);
244 sys.new_Base("B_Ch","B_Ch_a",0,1,0,bCh);
245
246 sys.new_Base("B_WhsB_c","xyz1",0,0,1,cWhsB);
247 sys.new_Base("B_WhsB_a","B_WhsB_c",1,0,0,aWhsB);
248 sys.new_Base("B_WhsB","B_WhsB_a",0,1,0,bWhsB);
249
250 sys.new_Base("B_WhsF_c","xyz1",0,0,1,cWhsF);
251 sys.new_Base("B_WhsF_a","B_WhsF_c",1,0,0,aWhsF);
252 sys.new_Base("B_WhsF","B_WhsF_a",0,1,0,bWhsF);
253
254 /**
255 ****
256 // Define Vectors
257 /**
258 ****
259 Vector3D P_O_O_RailB = *sys.new_Vector3D("P_O_O_RailB"
260     ,-0.15625,0,0,"xyz1");
261 Vector3D P_O_O_RailF = *sys.new_Vector3D("P_O_O_RailF"
262     ,0.15625,0,0,"xyz1");
263 //Vector3D O_OCh = *sys.new_Vector3D("O_OCh",0,0,0.23318,"xyz1");
264 Vector3D P_O_O_Ch = *sys.new_Vector3D("P_O_O_Ch",xCh,yCh,
265     zCh,"xyz1");
266
267 Vector3D P_O_Ch_O_WhsB = *sys.new_Vector3D("P_O_Ch_O_WhsB",xWhsB,
268     yWhsB,zWhsB,"xyz1");//*sys.new_Vector3D("OCh_OWhsR"
269     ,0.15625,0,-0.0738,"B_Ch");
270 //Vector3D P_O_WhsB_O_WhsB = *sys.new_Vector3D("P_O_WhsB_O_WhsB"
271     ,0,0,0,"xyz1");
272
273 Vector3D P_O_Ch_O_WhsF = *sys.new_Vector3D("P_O_Ch_O_WhsF",xWhsF,
274     yWhsF,zWhsF,"xyz1");//*sys.new_Vector3D("OCh_O_WhsF"
275     ,-0.15625,0,-0.0738,"B_Ch")
276 //Vector3D P_O_WhsF_O_WhsF = *sys.new_Vector3D("P_O_WhsF_O_WhsF"
277     ,0,0,0,"xyz1");
278
279 Vector3D P_O_WhsB_C_BearBL_WhsB = *sys.new_Vector3D("P_O_WhsB_C_BearBL_WhsB",0,0.188,0,"B_WhsB_a");
280 Vector3D P_O_WhsB_C_BearBR_WhsB = *sys.new_Vector3D("P_O_WhsB_C_BearBR_WhsB",0,-0.188,0,"B_WhsB_a");

```

```

275     Vector3D P_O_WhsF_C_BearFL_WhsF = *sys . new_Vector3D ("
276         P_O_WhsF_C_BearFL_WhsF" ,0 ,0.188 ,0 , "B_WhsF_a" );
277     Vector3D P_O_WhsF_C_BearFR_WhsF = *sys . new_Vector3D ("
278         P_O_WhsF_C_BearFR_WhsF" ,0 , -0.188 ,0 , "B_WhsF_a" );
279
280 //Vector3D X_Ch_STRUCTURE = *sys . new_Vector3D ("X_Ch_STRUCTURE
281     " ,0 ,0 ,0 , "xyz1" );
282 //Vector3D AUX_STRUCTURE = *sys . new_Vector3D ("AUX_STRUCTURE
283     " ,1 ,0 ,0 , "B_Ch" );
284
285 //Rear wheel vectors:
286     Vector3D P_O_Ch_C_BearBL_Ch = *sys . new_Vector3D ("
287         P_O_Ch_C_BearBL_Ch" ,-0.15625 ,0.188 , -0.0775 , "B_Ch" );
288     Vector3D P_O_Ch_C_BearBR_Ch = *sys . new_Vector3D ("
289         P_O_Ch_C_BearBR_Ch" ,-0.15625 , -0.188 , -0.0775 , "B_Ch" );
290
291
292
293
294
295
296 /*
297
298     Vector3D OCh_K_RF1 = *sys . new_Vector3D ("OCh_K_RF1" ,-0.15625 ,0 ,0 , "
299         B_Ch" );
300     Vector3D OCh_K_RR1 = *sys . new_Vector3D ("OCh_K_RR1" ,0.15625 ,0 ,0 , "
301         B_Ch" );
302
303     Vector3D OCh_K_RF2 = *sys . new_Vector3D ("OCh_K_RF2
304         " ,-0.15625 -0.0477 ,0.188 ,0 , "B_Ch" );
305
306     Vector3D OCh_K_LF1 = *sys . new_Vector3D ("OCh_K_LF1
307         " ,-0.15625 +0.0477 , -0.188 ,0 , "B_Ch" );
308     Vector3D OCh_K_LF2 = *sys . new_Vector3D ("OCh_K_LF2
309         " ,-0.15625 -0.0477 , -0.188 ,0 , "B_Ch" );
310
311 /*
312     Vector3D OCh_OBEAR_LR = *sys . new_Vector3D ("OCh_OBEAR_LR
313         " ,0.15625 ,0.00000 , -0.0738 , "B_Ch" ); -0.0738
314     Vector3D OCh_OBEAR_RR = *sys . new_Vector3D ("OCh_OBEAR_RR
315         " ,0.15625 ,0.188 , -0.0738 , "B_Ch" );
316     Vector3D OCh_OBEAR_LF = *sys . new_Vector3D ("OCh_OBEAR_LF
317         " ,-0.15625 , -0.188 , -0.0738 , "B_Ch" );
318     Vector3D OCh_OBEAR_RF = *sys . new_Vector3D ("OCh_OBEAR_RF
319         " ,-0.15625 ,0.188 , -0.0738 , "B_Ch" );
320
321 */
322 /**
323 ****

```

```

314 // Define Points
315 //
316 //*****
317 Point * O_RailB = sys.new_Point("O_RailB","O",&P_O_O_RailB);
318     Point * O_RailF = sys.new_Point("O_RailF","O",&P_O_O_RailF)
319 ;
320     Point * O_Ch = sys.new_Point("O_Ch","O",&P_O_O_Ch);
321     Point * O_WhsB = sys.new_Point("O_WhsB","O_Ch",&
322 P_O_Ch_O_WhsB);
323     Point * O_WhsF = sys.new_Point("O_WhsF","O_Ch",&P_O_Ch_O_WhsF);
324
325
326     Point * C_BearBL_WhsB = sys.new_Point("C_BearBL_WhsB",
327 "O_WhsB",&P_O_WhsB_C_BearBL_WhsB);
328     Point * C_BearBR_WhsB = sys.new_Point("C_BearBR_WhsB",
329 "O_WhsB",&P_O_WhsB_C_BearBR_WhsB);
330     Point * C_BearFL_WhsF = sys.new_Point("C_BearFL_WhsF",
331 "O_WhsF",&P_O_WhsF_C_BearFL_WhsF);
332     Point * C_BearFR_WhsF = sys.new_Point("C_BearFR_WhsF",
333 "O_WhsF",&P_O_WhsF_C_BearFR_WhsF);
334
335
336
337
338 //*****
339 // Dynamical Parameter Definition
340 //
341 //RailB
342 symbol_numeric m_RailB = *sys.new_Parameter("m_RailB"
343 ,10.374469);
344 Vector3D P_O_RailB_G_RailB= *sys.new_Vector3D("P_O_RailB_G_RailB"
345 ,0.0,0.0,0.0,"B_RailB");
346 Tensor3D I_RailB = *sys.new_Tensor3D("I_RailB", (ex) 0.177926,(ex)
347 0.0,(ex) 0.0,(ex) 0.0,(ex) 0.05294,(ex) 0.0,(ex) 0.0,(ex) 0.0,(ex)
0.177927,"B_RailB"); //Desde origen
348
349 //RailF
350 symbol_numeric m_RailF = *sys.new_Parameter("m_RailF"
351 ,10.374469);

```

```

348 Vector3D P_O_RailF_G_RailF= *sys . new_Vector3D (" P_O_RailF_G_RailF"
349 ,0.0 ,0.0 ,0.0 , " B_RailF" );
350 Tensor3D I_RailF = *sys . new_Tensor3D (" I_RailF" ,(ex) 0.177926 ,(ex)
351 0.0 ,(ex) 0.0 ,(ex) 0.0 ,(ex) 0.05294 ,(ex) 0.0 ,(ex) 0.0 ,(ex) 0.0 ,(ex)
352 0.177927 , " B_RailF" ); //Desde origen

353 Vector3D P_O_Ch_G_Ch= *sys . new_Vector3D (" P_O_Ch_G_Ch"
354 ,0.0 ,0.0 ,0.010159 , " B_Ch" );
355 Tensor3D I_Ch = *sys . new_Tensor3D (" I_Ch" ,(ex) 0.220622 ,(ex)
356 0.0 ,(ex) 0.0 ,(ex) 0.0 ,(ex) 0.242055 ,(ex) 0.0 ,(ex) 0.0 ,(ex) 0.0 ,(ex)
357 0.456189 , " B_Ch" ); //Desde origen

358 Vector3D P_O_WhsB_G_WhsB= *sys . new_Vector3D (" P_O_WhsB_G_WhsB"
359 ,0.0 ,0.0 ,0.0 , " B_WhsB" );
360 Tensor3D I_WhsB = *sys . new_Tensor3D (" I_WhsB" ,(ex) 0.119118 ,(ex)
361 0.0 ,(ex) 0.0 ,(ex) 0.0 ,(ex) 0.010442 ,(ex) 0.0 ,(ex) 0.0 ,(ex) 0.0 ,(ex)
362 0.119135 , " B_WhsB" ); //Desde origen
363 //Desprecio el efecto que el chavetero ejerce en WHS,
364 tomando la aproximacion de que el origen coincide en WHS con
365 su centro de masas.
366 // M s informacion en el documento PROPIEDADES PIEZAS

367 Vector3D P_O_WhsF_G_WhsF= *sys . new_Vector3D (" P_O_WhsF_G_WhsF"
368 ,0.0 ,0.0 ,0.0 , " B_WhsF" );
369 Tensor3D I_WhsF = *sys . new_Tensor3D (" I_WhsF" ,(ex) 0.119118 ,(ex)
370 0.0 ,(ex) 0.0 ,(ex) 0.0 ,(ex) 0.010442 ,(ex) 0.0 ,(ex) 0.0 ,(ex) 0.0 ,(ex)
371 0.119135 , " B_WhsF" ); //Desde origen

372 //*****
373 // Define Frames
374 //*****
375 Frame * F_RailB = sys . new_Frame (" F_RailB" , " O_RailB" , " B_RailB" );
376 Frame * F_RailF = sys . new_Frame (" F_RailF" , " O_RailF" , " B_RailF" );
377 Frame * F_Ch = sys . new_Frame (" F_Ch" , " O_Ch" , " B_Ch" );
378 Frame * F_WhsB = sys . new_Frame (" F_WhsB" , " O_WhsB" , " B_WhsB" );
379 Frame * F_WhsF = sys . new_Frame (" F_WhsF" , " O_WhsF" , " B_WhsF" );

```

```

383 // ****
384 // Define Solids
385 // ****
386 Solid * RailB = sys.new_Solid("RailB", "O_RailB", "B_RailB", "
387     m_RailB", "P_O_RailB_G_RailB", "I_RailB");
388 Solid * RailF = sys.new_Solid("RailF", "O_RailF", "B_RailF", "
389     m_RailF", "P_O_RailF_G_RailF", "I_RailF");
390 Solid * Ch = sys.new_Solid("Ch", "O_Ch", "B_Ch", "m_Ch", "P_O_Ch_G_Ch
391     ", "I_Ch");
392 Solid * WhsB = sys.new_Solid("WhsB", "O_WhsB", "B_WhsB", "m_WhsB", "
393     P_O_WhsB_G_WhsB", "I_WhsB");
394 Solid * WhsF = sys.new_Solid("WhsF", "O_WhsF", "B_WhsF", "m_WhsF", "
395     P_O_WhsF_G_WhsF", "I_WhsF");
396 // ****
397 // Define Objects to Draw
398 // ****
399 Drawing3D * D_Structure = sys.new_Drawing3D("D_Structure",
400     "O", "xyz1", "./solids/structure.osgt");
401 Drawing3D * D_RailB = sys.new_Drawing3D("D_RailB", "O_RailB
402     ", "B_RailB", "./solids/railset.osgt");
403 Drawing3D * D_RailF = sys.new_Drawing3D("D_RailF", "O_RailF", "
404     B_RailF", "./solids/railset.osgt");
405 Drawing3D * D_Ch = sys.new_Drawing3D("D_Ch", "O_Ch", "B_Ch", "./
406     solids/chasis.osgt");
407 Drawing3D * D_WhsB = sys.new_Drawing3D("D_WhsB", "O_WhsB",
408     "B_WhsB", "./solids/wheelset.osgt");
409 Drawing3D * D_WhsF = sys.new_Drawing3D("D_WhsF", "O_WhsF",
410     "B_WhsF", "./solids/wheelset.osgt");
411 // Drawing3D * D_WHSR = sys.new_Drawing3D("D_WHSR", "OWHSR",
412     "B_WHSR", "./solids/sistema_boogie.osgt");
413 //Drawing3D * D_WhsF = sys.new_Drawing3D("D_WhsF", "O_WhsF
414     ", "B_WhsF", "./solids/sistema_boogie.osgt");

415 Drawing3D * D_BearBL = sys.new_Drawing3D("D_BearBL", "
416     C_BearBL_WhsB", "B_WhsB_a", "./solids/bear_left.osgt");
417 Drawing3D * D_BearBR = sys.new_Drawing3D("D_BearBR", "
418     C_BearBR_WhsB", "B_WhsB_a", "./solids/bear_right.osgt");
419 Drawing3D * D_BearFL = sys.new_Drawing3D("D_BearFL", "
420     C_BearFL_WhsF", "B_WhsF_a", "./solids/bear_left.osgt");
421 Drawing3D * D_BearFR = sys.new_Drawing3D("D_BearFR", "
422     C_BearFR_WhsF", "B_WhsF_a", "./solids/bear_right.osgt");

```

```

415     Drawing3D * D_F_RailB = sys.new_Drawing3D("D_F_RailB","
416 F_RailB",0.07);
417     Drawing3D * D_F_RailF = sys.new_Drawing3D("D_F_RailF","
418 F_RailF",0.07);
419     Drawing3D * D_F_Ch = sys.new_Drawing3D("D_F_Ch","F_Ch",0.2)
420 ;
421
422 //Vector3D P_O_WhsB_C_BearBL_WhsB = *sys.new_Vector3D("P_O_WhsB_C_BearBL_WhsB",0,0.188,0,"B_WhsB_a");
423
424 Vector3D Aux76 = *sys.new_Vector3D("Aux76",0.0,0.0,0.1,"xyz1");
425 ;
426
427 Drawing3D * D_Aux76 = sys.new_Drawing3D("D_Aux76",&Aux76,
428 C_BearBL_Ch,0,0,1,0.05);
429
430 //Drawing3D * D_C_BearBL_Ch = sys.new_Drawing3D("D_P_O_Ch_C_BearBL_Ch",&P_O_Ch_C_BearBL_Ch,O_Ch);
431 //Drawing3D * D_P_O_WhsB_C_BearBL_WhsB = sys.new_Drawing3D("D_P_O_WhsB_C_BearBL_WhsB",&P_O_WhsB_C_BearBL_WhsB,O_WhsB);
432 /*
433
434 Drawing3D * D_O_Ch_STRUCTURE = sys.new_Drawing3D("D_O_Ch_STRUCTURE",&X_Ch_STRUCTURE,O_Ch);
435
436
437 Drawing3D * D_B_WhsF_K_RF1 = sys.new_Drawing3D("D_B_WhsF_K_RF1",&
438 O_Ch_OBEAR_RF,O_WhsF);
439 Drawing3D * D_B_WhsF_K_LF1 = sys.new_Drawing3D("D_B_WhsF_K_LF1",&
440 O_Ch_OBEAR_LF,O_WhsF);
441 Drawing3D * D_B_WHSR_K_RR1 = sys.new_Drawing3D("D_B_WHSR_K_RR1",&
442 O_Ch_OBEAR_RR,OWHSR);
443 Drawing3D * D_B_WHSR_K_LR1 = sys.new_Drawing3D("D_B_WHSR_K_LR1",&
444 O_Ch_OBEAR_LR,OWHSR);
445
446 Drawing3D * D_B_O_Ch_K_RF1 = sys.new_Drawing3D("D_B_O_Ch_K_RF1",&
447 O_Ch_K_RF1,O_Ch);
448 Drawing3D * D_B_O_Ch_K_LF1 = sys.new_Drawing3D("D_B_O_Ch_K_LF1",&
449 O_Ch_K_LF1,O_Ch);
450 Drawing3D * D_B_O_Ch_K_RR1 = sys.new_Drawing3D("D_B_O_Ch_K_RR1",&
451 O_Ch_K_RR1,O_Ch);
452 Drawing3D * D_B_O_Ch_K_LR1 = sys.new_Drawing3D("D_B_O_Ch_K_LR1",&
453 O_Ch_K_LR1,O_Ch);

```

```

454 Drawing3D * D_O_Ch_K_RF1 = sys.new_Drawing3D("D_O_Ch_K_RF1",&
455   O_Ch_K_RF1,O_Ch);
456 Drawing3D * D_B_WHSR_K_RR1 = sys.new_Drawing3D("D_B_WHSR_K_RR1",&
457   B_WHSR_K_RR1,OWHSR);
458 Drawing3D * D_O_Ch_K_RR1 = sys.new_Drawing3D("D_O_Ch_K_RR1",&
459   O_Ch_K_RR1,O_Ch);
460   Drawing3D * D_B_WhsF_K_RF2 = sys.new_Drawing3D("D_B_WhsF_K_RF2",&
461   B_WhsF_K_RF2,O_WhsF);
462 Drawing3D * D_B_WhsF_K_LF1 = sys.new_Drawing3D("D_B_WhsF_K_LF1",&
463   B_WhsF_K_LF1,O_WhsF);
464 Drawing3D * D_B_WhsF_K_LF2 = sys.new_Drawing3D("D_B_WhsF_K_LF2",&
465   B_WhsF_K_LF2,O_WhsF);
466 */
467 /**
468 // *****
469 // Joint Unknown Definition
470 /**
471 cout << "Joint Unknown Definition" << endl;
472
473
474
475 /**
476 // *****
477 // Input Vector
478 /**
479 cout << "Input Vector" << endl;
480
481 symbol_numeric Fx_BL = *sys.new_Input("Fx_BL",0.0);
482 symbol_numeric Fy_BL = *sys.new_Input("Fy_BL",0.0);
483 symbol_numeric Mz_BL = *sys.new_Input("Mz_BL",0.0);
484
485 symbol_numeric Fx_BR = *sys.new_Input("Fx_BR",0.0);
486 symbol_numeric Fy_BR = *sys.new_Input("Fy_BR",0.0);
487 symbol_numeric Mz_BR = *sys.new_Input("Mz_BR",0.0);
488
489 symbol_numeric Fx_FL = *sys.new_Input("Fx_FL",0.0);
490 symbol_numeric Fy_FL = *sys.new_Input("Fy_FL",0.0);
491 symbol_numeric Mz_FL = *sys.new_Input("Mz_FL",0.0);
492
493

```

```

494
495
496
497     symbol_numeric Fx_FR = *sys.new_Input("Fx_FR",0.0);
498     symbol_numeric Fy_FR = *sys.new_Input("Fy_FR",0.0);
499     symbol_numeric Mz_FR = *sys.new_Input("Mz_FR",0.0);
500
501
502 // Motors
503     symbol_numeric TMOTF = *sys.new_Input("TMOTF",0.0);
504     symbol_numeric TMOTB = *sys.new_Input("TMOTB",0.0);
505
506     symbol_numeric T_WhsF = *sys.new_Input("T_WhsF",0.0);
507     symbol_numeric T_WhsB = *sys.new_Input("T_WhsF",0.0);
508
509 // Additional Forces
510     symbol_numeric FAx = *sys.new_Input("FAx",0.0);
511     symbol_numeric FAy = *sys.new_Input("FAy",0.0);
512     symbol_numeric FAz = *sys.new_Input("FAz",0.0);
513
514     symbol_numeric MAx = *sys.new_Input("MAx",0.0);
515     symbol_numeric MAy = *sys.new_Input("MAy",0.0);
516     symbol_numeric MAz = *sys.new_Input("MAz",0.0);
517
518
519
520
521 // ****
522 // Force and Momentum Definition
523 // ****
524
525
526 Vector3D F_FA= *sys.new_Vector3D("F_FA",F_Ax,F_Ay,F_Az,"B_Ch");
527     Vector3D M_FA = *sys.new_Vector3D("M_FA",MAx,MAy,MAz,""
528     B_Ch);
529     Vector3D FMOTF = *sys.new_Vector3D("FMOTF",0,0,0,"B_RailF");
530     Vector3D MMOTF = *sys.new_Vector3D("MMOTF",0,T_MOTF,0,""
531     B_RailF);
532     Vector3D FMOTB = *sys.new_Vector3D("FMOTB",0,0,0,"B_RailB")
533     ;
534     Vector3D MMOTB = *sys.new_Vector3D("MMOTB",0,T_MOTB,0,""
535     B_RailB);
536
537 Vector3D FT_WhsF = *sys.new_Vector3D("FT_WhsF",0,0,0,"B_WhsF_a");
538     Vector3D M_WhsF = *sys.new_Vector3D("M_WhsF",0,T_WhsF,0,""
539     B_WhsF_a);
540     Vector3D FT_WhsB = *sys.new_Vector3D("FT_WhsB",0,0,0,""
541     B_WhsB_a);
542     Vector3D M_WhsB = *sys.new_Vector3D("M_WhsB",0,T_WhsB,0,""
543     B_WhsB_a);
544
545 // ****

```

```

539 // Define Wrenches
540 //
541 cout << "Define Wrenches" << endl;
542
543
544
545
546 // Gravity
547
548 Wrench3D * Gravity_RailB = sys.Gravity_Wrench("RailB");
549 Wrench3D * Gravity_RailF = sys.Gravity_Wrench("RailF");
550 Wrench3D * Gravity_Ch = sys.Gravity_Wrench("Ch");
551 Wrench3D * Gravity_WhsB = sys.Gravity_Wrench("WhsB");
552 Wrench3D * Gravity_WhsF = sys.Gravity_Wrench("WhsF");
553
554
555 // Inertia
556
557 Wrench3D * Inertia_RailB = sys.Inertia_Wrench("RailB");
558 Wrench3D * Inertia_RailF = sys.Inertia_Wrench("RailF");
559 Wrench3D * Inertia_Ch = sys.Inertia_Wrench("Ch");
560 Wrench3D * Inertia_WhsB = sys.Inertia_Wrench("WhsB");
561 Wrench3D * Inertia_WhsF = sys.Inertia_Wrench("WhsF");
562
563
564 // Constitutive
565
566
567 // External
568
569 Wrench3D * MOTF_Torque = sys.new_Wrench3D ("MOTF_Torque", F_MOTF
570 , MMOTF , O_RailF , RailF , "External");
571 Wrench3D * MOTB_Torque = sys.new_Wrench3D ("MOTB_Torque", F_MOTB
572 , MMOTB , O_RailB , RailB , "External");
573 Wrench3D * F_FA_A_Torque = sys.new_Wrench3D ("F_FA_A_Torque", F_FA
574 , M_FA , O_Ch , Ch , "External");
575 Wrench3D * WhsF_Torque = sys.new_Wrench3D ("WhsF_Torque", FT_WhsF
576 , M_WhsF , O_WhsF , WhsF , "External");
577 Wrench3D * WhsB_Torque = sys.new_Wrench3D ("WhsB_Torque", FT_WhsB
578 , M_WhsB , O_WhsB , WhsB , "External");
579
580 // Springs
581
582 symbol_numeric K_S1xy = *sys.new_Parameter("K_S1xy"
,100000.000);

```

```

583     symbol_numeric K_S1z = *sys.new_Parameter("K_S1z",100000.000);
584
585     symbol_numeric C_S1xy = *sys.new_Parameter("C_S1xy"
586     ,1713.00000000);
587     symbol_numeric C_S1z = *sys.new_Parameter("C_S1z"
588     ,1713.00000000);
589
590
591     symbol_numeric K_S2 = *sys.new_Parameter("K_S2",100000.000);
592     symbol_numeric C_S2 = *sys.new_Parameter("C_S2",1713.00000000)
593     ;
594
595     Tensor3D K_S1 = *sys.new_Tensor3D("K_S1", (ex)K_S1xy,(ex)0.0,(ex)
596     0.0,(ex)0.0,(ex)K_S1xy,(ex)0.0,(ex)0.0,(ex)0.0,(ex)K_S1z,"B_Ch"
597     ); //Desde origen
598     Tensor3D C_S1 = *sys.new_Tensor3D("C_S1", (ex)C_S1xy,(ex)0.0,(ex)
599     0.0,(ex)0.0,(ex)C_S1xy,(ex)0.0,(ex)0.0,(ex)0.0,(ex)C_S1z,"B_Ch"
600     ); //Desde origen
601     //cout << "tensor" << K_S1 << endl;
602
603 //Spring BL
604     Vector3D aux_1 = sys.Position_Vector("C_BearBL_Ch","C_BearBL_WhsB");
605     Vector3D aux_2 = sys.Dt(sys.Position_Vector("C_BearBL_Ch",
606     "C_BearBL_WhsB"), "B_WhsB_a");
607     Vector3D F_SBL = K_S1 * aux_1 + C_S1 * aux_2;
608     Vector3D M_SBL = *sys.new_Vector3D("M_SBL",0,0,0, "B_WhsB_a")
609     ;
610
611     Wrench3D * TA_SBL= sys.new_Wrench3D( "TA_SBL",-F_SBL, -M_SBL
612     , C_BearBL_WhsB ,WhsB , "Constitutive") ;
613     Wrench3D * TR_SBL= sys.new_Wrench3D( "TR_SBL",F_SBL , M_SBL,
614     C_BearBL_Ch ,Ch , "Constitutive") ;
615
616 // Spring BR
617     aux_1 = sys.Position_Vector("C_BearBR_Ch","C_BearBR_WhsB");
618     aux_2 = sys.Dt(sys.Position_Vector("C_BearBR_Ch","C_BearBR_WhsB"
619     ),"B_WhsB_a");
620     Vector3D F_SBR = K_S1 * aux_1 + C_S1 * aux_2;
621     Vector3D M_SBR = *sys.new_Vector3D("M_SBR",0,0,0, "B_WhsB_a")
622     ;
623
624     Wrench3D * TA_SBR = sys.new_Wrench3D( "TA_SBR",-F_SBR, -M_SBR
625     , C_BearBR_WhsB ,WhsB , "Constitutive") ;
626     Wrench3D * TR_SBR = sys.new_Wrench3D( "TR_SBR",F_SBR , M_SBR,
627     C_BearBR_Ch ,Ch , "Constitutive") ;
628
629 // Spring FL
630     aux_1 = sys.Position_Vector("C_BearFL_Ch","C_BearFL_WhsF");

```

```

624 aux_2 = sys.Dt(sys.Position_Vector("C_BearFL_Ch", "C_BearFL_WhsF
625   ", "B_WhsF_a"));
626 Vector3D F_SFL = K_S1 * aux_1 + C_S1 * aux_2;
627 Vector3D M_SFL = *sys.new_Vector3D("M_SFL", 0, 0, 0, "B_WhsF_a");
628 ;
629
630 Wrench3D * TA_SFL= sys.new_Wrench3D ("TA_SFL", -F_SFL , -M_SFL ,
631   C_BearFL_WhsF , WhsF , "Constitutive") ;
632 Wrench3D * TR_SFL= sys.new_Wrench3D ("TR_SFL", F_SFL , M_SFL ,
633   C_BearFL_Ch , Ch , "Constitutive") ;
634
635 // Spring FR
636
637 cout << sys.Position_Vector("C_BearFR_Ch", "C_BearFR_WhsF") <<
638 endl;
639
640 aux_1 =sys.Position_Vector("C_BearFR_Ch", "C_BearFR_WhsF");
641 aux_2 = sys.Dt(sys.Position_Vector("C_BearFR_Ch", "C_BearFR_WhsF
642   ", "B_WhsF_a"));
643 Vector3D F_SFR = K_S1 * aux_1 + C_S1 * aux_2;
644 Vector3D M_SFR = *sys.new_Vector3D("M_SFR", 0, 0, 0, "B_WhsF_a");
645 ;
646
647 Wrench3D * TA_SFR= sys.new_Wrench3D ("TA_SFR", -F_SFR , -M_SFR ,
648   C_BearFR_WhsF , WhsF , "Constitutive") ;
649 Wrench3D * TR_SFR= sys.new_Wrench3D ("TR_SFR", F_SFR , M_SFR,
650   C_BearFR_Ch , Ch , "Constitutive") ;
651
652
653 // Spring 5
654
655 Vector3D e_x_xyz1 = *sys.new_Vector3D("e_x_xyz1", 1, 0, 0,
656   "xyz1");
657 Vector3D mypositionvector = sys.Position_Vector("O", "O_Ch")
658 ;
659 ex xcompofmypositionvector = mypositionvector * e_x_xyz1;
660 Vector3D e_x_position =*sys.new_Vector3D("e_x_position",
661   xcompofmypositionvector, 0, 0, "B_Ch");
662
663 //Point * OChSTRUCTURE = sys.new_Point("OChSTRUCTURE", "OCh",&
664   e_x_position);
665 //Vector3D F1_SRB1 = K_S2 * sys.Position_Vector("OCh",
666   "OChSTRUCTURE") + C_S2 * sys.Dt(sys.Position_Vector("OCh",
667   "OChSTRUCTURE"), "B_Ch");
668 Vector3D F_S_O_O_Ch = K_S2 * e_x_position + C_S2 * sys.Dt(
669   e_x_position, "xyz1");

```

```

664     Vector3D M_S_O_O_Ch = *sys.new_Vector3D("M_S_O_O_Ch",0,0,0, "B_Ch");
665     cout<<unatomize( F_S_O_O_Ch)<< endl;
666
667
668
669 //Wrench3D * TA1_SRR1= sys.new_Wrench3D( "TA1_SRR1",F1_SRR1 ,
670 M_SRR1 , P_OCh_K_RR1 ,WHSR , "Constitutive" );
671 Wrench3D * TR_S_O_O_Ch = sys.new_Wrench3D ( "TR_S_O_O_Ch",-F_S_O_O_Ch ,-M_S_O_O_Ch , O_Ch ,Ch , "Constitutive" );
672
673
674 /**
675 // Kinematic Equations
676 /**
677 cout << "Kinematic Equations" << endl;
678 Matrix Phi(20,1);
679
680
681 symbol_numeric RRAIL = *sys.new_Parameter("RRAIL",0.10625);
682 //radio_RAIL
683 symbol_numeric RWHS = *sys.new_Parameter("RWHS",0.053125);
684 //radio_WHS
685 symbol_numeric LRAIL = *sys.new_Parameter("LRAIL",0.2185);
686 //distancia_RAIL("LRAIL",0.23184);
687 symbol_numeric LWHS = *sys.new_Parameter("LWHS",0.2185); // distancia_WHS
688
689 //BACK LEFT
690 Vector3D P_O_WhsB_O_WhsBL = *sys.new_Vector3D("P_O_WhsB_O_WhsBL",
691 ,0,0.5*LWHS,0 , "B_WhsB_a");
692 Point * O_WhsBL = sys.new_Point("O_WhsBL", "O_WhsB",&P_O_WhsB_O_WhsBL);
693
694 symbol_numeric thetaW_BL = *sys.new_Coordinate("thetaW_BL",
695 "dthetaW_BL", "ddthetaW_BL", 3.1416, 0.0 , 0.0);
696 symbol_numeric uW_BL = *sys.new_Coordinate("uW_BL", "duW_BL",
697 "dduW_BL", 0.0 , 0.0 , 0.0);
698
699 symbol_numeric aW_BL = *sys.new_Parameter("aW_BL",
700 ,0.0000000000);
701 symbol_numeric bW_BL = *sys.new_Parameter("bW_BL",
702 ,0.0000000000);
703 symbol_numeric cW_BL = *sys.new_Parameter("cW_BL",0.1820);
704 ///*sys.new_Parameter("cW_RL",2.7049);
705 symbol_numeric dW_BL = *sys.new_Parameter("dW_BL",
706 ,-0.053125); /*sys.new_Parameter("dW_RL",0.053125);
707 symbol_numeric lW_BL = *sys.new_Parameter("lW_BL",
708 ,0.0000000000);
709
710 ex sW_BL = uW_BL- lW_BL; //;

```

```

700     ex splineW_BL = dW_BL + sW_BL * ( cW_BL + sW_BL * ( bW_BL +
701     sW_BL * aW_BL ) );
702     Vector3D fW_BL = *sys.new_Vector3D("fW_BL",splineW_BL*sin(
703     thetaW_BL),uW_BL,splineW_BL*cos(thetaW_BL),"B_WhsB_a");
704     Vector3D rW_BL = sys.Position_Vector("O","O_WhsBL")+fW_BL;
705     Vector3D t1W_BL= sys.diff( rW_BL , thetaW_BL);
706     Vector3D t2W_BL= sys.diff( rW_BL , uW_BL);
707     Vector3D nW_BL = t1W_BL^t2W_BL;
708
709     Vector3D P_O_RailB_O_RailBL = *sys.new_Vector3D("P_O_RailB_O_RailBL",0,0.5*LRAIL,0,"B_RailB");
710     Point * O_RailBL = sys.new_Point("O_RailBL","O_RailB",&
711     P_O_RailB_O_RailBL);
712
713     symbol_numeric uR_BL = *sys.new_Coordinate("uR_BL","duR_BL",
714     "dduR_BL", 0.0 , 0.0 , 0.0);
715     symbol_numeric thetaR_BL = *sys.new_Coordinate("thetaR_BL",
716     "dthetaR_BL","ddthetaR_BL", 0.0 , 0.0 , 0.0);
717
718     symbol_numeric aR_BL = *sys.new_Parameter("aR_BL",
719     0.000000000000);
720     symbol_numeric bR_BL = *sys.new_Parameter("bR_BL",-2.7473);
721     ///*sys.new_Parameter("bR_RL",-2.7049);
722     symbol_numeric cR_BL = *sys.new_Parameter("cR_BL",
723     0.000000000000);
724     symbol_numeric dR_BL = *sys.new_Parameter("dR_BL",0.10625);
725     ///*sys.new_Parameter("dR_RL",0.10625);
726     symbol_numeric lR_BL = *sys.new_Parameter("lR_BL",
727     0.000000000000);
728
729     ex sR_BL = uR_BL- lR_BL; //;
730     ex splineR_BL = dR_BL + sR_BL * ( cR_BL + sR_BL * ( bR_BL +
731     sR_BL * aR_BL ) );
732     Vector3D fR_BL = *sys.new_Vector3D("fR_BL",splineR_BL*sin(
733     thetaR_BL),uR_BL,splineR_BL*cos(thetaR_BL),"xyz1"); /*sys.
734     new_Vector3D("fR_RL",thetaR_RL,uR_RL,splineR_RL,"B_RAILR");
735     Vector3D rR_BL = sys.Position_Vector("O","O_RailBL")+fR_BL;
736     Vector3D t1R_BL= sys.diff( rR_BL , thetaR_BL);
737     Vector3D t2R_BL= sys.diff( rR_BL , uR_BL);
738     Vector3D nR_BL = t1R_BL^t2R_BL;
739
740     //normal and tangent unitary vectors at contact point
741     Vector3D u_nR_BL =( 1 /sqrt( nR_BL * nR_BL )) * nR_BL;
742     Vector3D u_t1R_BL =( 1 /sqrt( t1R_BL * t1R_BL )) * t1R_BL;
743     Vector3D u_t2R_BL =( 1 /sqrt( t2R_BL * t2R_BL )) * t2R_BL;
744
745     Point * J_BL_Wheel = sys.new_Point("J_BL_Wheel","O",&rW_BL)
746     ;
747     Point * J_BL_Rail = sys.new_Point("J_BL_Rail","O",&rR_BL);
748
749     Drawing3D * D_J_BL_Wheel = sys.new_Drawing3D("D_J_BL_Wheel",
750     J_BL_Wheel,0.04);

```

```

740 Drawing3D * D_u_nR_BL = sys.new_Drawing3D("D_u_nR_BL",&u_nR_BL,
741     J_BL_Rail);
742 Drawing3D * D_u_t1R_BL = sys.new_Drawing3D("D_u_t1R_BL",&
743     u_t1R_BL,J_BL_Rail);
744 Drawing3D * D_u_t2R_BL = sys.new_Drawing3D("D_u_t2R_BL",&
745     u_t2R_BL,J_BL_Rail);
746
747 //Vector3D Pcon_BL_W_Rail = sys.Position_Vector("Pcon_BL",
748 //                                                 "J_BL_Rail");
749 //Vector3D Vcon_BL_W_Rail= sys.Dt(sys.Position_Vector("Pcon_BL",
750 //                                                 "J_BL_Rail"), "xyz1");
751
752 Vector3D V_abs_J_BL_Wheel= sys.Velocity_Vector ("abs" , "
753     J_BL_Wheel", "WhsB");
754 Vector3D V_abs_Pcon_BL_Rail= sys.Velocity_Vector ("abs" , "
755     J_BL_Rail", "RailB");
756 Vector3D Vcon_BL_W_Rail=V_abs_J_BL_Wheel-V_abs_Pcon_BL_Rail
757 ;
758
759 Drawing3D * D_Vcon_BL_W_Rail = sys.new_Drawing3D("D_Vcon_BL_W_Rail",&Vcon_BL_W_Rail,J_BL_Wheel);
760
761 cout << "V_abs_J_BL_Wheel= " << unatomize(V_abs_J_BL_Wheel) << endl
762 ;
763 cout << "V_abs_Pcon_BL_Rail= " << unatomize(V_abs_Pcon_BL_Rail) <<
764 endl;
765 cout << "u_t1R_BL= " << unatomize(u_t1R_BL) << endl;
766
767 Vector3D Vprom_BL_W_RailAux1= V_abs_J_BL_Wheel+V_abs_Pcon_BL_Rail
768 ;
769
770 ex Vprom_BL_W_RailAux2 =abs(sqrt( Vprom_BL_W_RailAux1 *
771     Vprom_BL_W_RailAux1));
772
773 ex Vprom_BL_W_Rail=((numeric(1,2))*Vprom_BL_W_RailAux2);
774
775 //ex Vprom_BL_W_RailAux3 =sqrt( Vprom_BL_W_RailAux1 *
776 //    Vprom_BL_W_RailAux1);
777 ex Vprom_BL_W_Rail2=((numeric(1,2))*((V_abs_J_BL_Wheel+
778     V_abs_Pcon_BL_Rail)*u_t1R_BL));
779
780 ex Vcreepx_BL= (Vcon_BL_W_Rail*u_t1R_BL);
781 ex Vcreepy_BL= (Vcon_BL_W_Rail*u_t2R_BL);
782
783 Vector3D Vcreepphi_BLAux1=sys.Angular_Velocity("xyz1","B_WhsB");
784 Vector3D Vcreepphi_BLAux2=sys.Angular_Velocity("xyz1","B_RailB");
785
786 Vector3D Vcreepphi_BLAux3= Vcreepphi_BLAux1-Vcreepphi_BLAux2;
787
788 ex Vcreepphi_BL=(Vcreepphi_BLAux3* u_nR_BL);
789
790 /*
791 ex V_abs_CBL_wheel= abs((sys.Velocity_Vector ("abs" , "O_WhsBL" )
792     )* u_t1R_BL); //ex V_abs_CBL_wheel= abs((sys.Velocity_Vector ("
793     abs" , "O_WhsBL" )-V_abs_Pcon_BL_Rail)* u_t1R_BL)

```

```

780 Vector3D Aux1_angularBL=(sys . Angular_Velocity ("xyz1", "B_WhsB")) ;
781 Vector3D Aux2_angularBL= sys . Position_Vector("O_WhsBL", "
782 J_BL_Wheel");
783 //ex Aux3_angularBL=(Aux2.angularBL) * (u_t1R_BL);
784 ex Aux_angularBL= (Aux1_angularBL ^ Aux2_angularBL)* u_t1R_BL;
785
786 ex angularBL=abs(Aux_angularBL);
787
788
789 ex Vcreepx_BL= (Vcon_BL_W_Rail*u_t1R_BL)/(( numeric(1,2))*(
790 V_abs_CBL_wheel+ angularBL));
791 ex Vcreepy_BL= (Vcon_BL_W_Rail*u_t2R_BL)/(( numeric(1,2))*(
792 V_abs_CBL_wheel+ angularBL));
793 ex Vcreepphi_BL=(sys . Angular_Velocity("xyz1", "B_WhsB") * u_nR_BL)
794 /(( numeric(1,2)*( V_abs_CBL_wheel+angularBL)));
795
796 */
797 cout<<unatomize(Vcon_BL_W_Rail)<< endl;
798
799 Vector3D FKALKER_BL = (Fx_BL* u_t1R_BL) + (Fy_BL * u_t2R_BL);
800 Vector3D MKALKER_BL = Mz_BL * u_nR_BL;
801
802 Drawing3D * D_FKALKER_BL= sys . new_Drawing3D ("D_FKALKER_BL"
803 ,&FKALKER_BL, J_BL_Rail, 0, 1, 0, 0.5);
804
805 Wrench3D * FKalkerA_BL = sys . new_Wrench3D ( "FKalkerA_BL",
806 FKALKER_BL, MKALKER_BL , J_BL_Wheel, WhsB , "Constitutive" );
807 Wrench3D * FKalkerR_BL = sys . new_Wrench3D ( "FKalkerR_BL",
808 FKALKER_BL, MKALKER_BL , J_BL_Rail, RailB , "Constitutive" );
809
810 Phi(0,0) = u_t1R_BL * (rW_BL-rR_BL);
811 Phi(1,0) = u_t2R_BL * (rW_BL-rR_BL);
812 Phi(2,0) = u_nR_BL * (rW_BL-rR_BL);
813 Phi(3,0) = u_nR_BL*t1W_BL; // nR_RL*t1W_RL
814 Phi(4,0) = u_nR_BL*t2W_BL; //nR_RL*t2W_RL;
815
816
817
818
819 //BACK RIGHT
820
821
822 Vector3D P_O_WhsB_O_WhsBR = *sys . new_Vector3D ("P_O_WhsB_O_WhsBR"
823 ,0, -0.5*LWHS,0 , "B_WhsB_a");
824 Point * O_WhsBR = sys . new_Point ("O_WhsBR" , "O_WhsB",&
P_O_WhsB_O_WhsBR);

```

```

825 symbol_numeric thetaW_BR = *sys.new_Coordinate("thetaW_BR",
826     "dthetaW_BR", "ddthetaW_BR", 3.1416, 0.0, 0.0);
827 symbol_numeric uW_BR = *sys.new_Coordinate("uW_BR", "duW_BR",
828     "dduW_BR", 0.0, 0.0, 0.0);
829 symbol_numeric aW_BR = *sys.new_Parameter("aW_BR",
830     0.0000000000);
831 symbol_numeric bW_BR = *sys.new_Parameter("bW_BR",
832     0.0000000000);
833 symbol_numeric cW_BR = *sys.new_Parameter("cW_BR", 0.1820);
834 ///*sys.new_Parameter("cW_RR", -2.7049)
835 symbol_numeric dW_BR = *sys.new_Parameter("dW_BR",
836     -0.053125); ///*sys.new_Parameter("dW_RR", -0.053125);
837 symbol_numeric IW_BR = *sys.new_Parameter("IW_BR",
838     0.0000000000);
839
840 ex sW_BR = uW_BR - IW_BR; //;
841 ex splineW_BR = dW_BR + sW_BR * ( cW_BR + sW_BR * ( bW_BR +
842     sW_BR * aW_BR ) );
843 Vector3D fW_BR = *sys.new_Vector3D("fW_BR",splineW_BR*sin(
844     thetaW_BR),-uW_BR,splineW_BR*cos(thetaW_BR),"B_WhsB_a");
845 Vector3D rW_BR = sys.Position_Vector("O","O_WhsBR")+fW_BR;
846 Vector3D t1W_BR= sys.diff( rW_BR , thetaW_BR);
847 Vector3D t2W_BR= -(sys.diff( rW_BR , uW_BR));
848 Vector3D nW_BR = t1W_BR^t2W_BR;
849
850 Vector3D P_O_RailB_ORailBR = *sys.new_Vector3D("P_O_RailB_ORailBR
851     ",0,-0.5*LRAIL,0,"B_RailB");
852 Point * O_RailBR = sys.new_Point("O_RailBR", "O_RailB",&
853     P_O_RailB_ORailBR);
854
855 symbol_numeric uR_BR = *sys.new_Coordinate("uR_BR", "duR_BR",
856     "dduR_BR", 0.0, 0.0, 0.0);
857 symbol_numeric thetaR_BR = *sys.new_Coordinate("thetaR_BR",
858     "dthetaR_BR", "ddthetaR_BR", 0.0, 0.0, 0.0);
859
860 symbol_numeric aR_BR = *sys.new_Parameter("aR_BR",
861     0.0000000000);
862 symbol_numeric bR_BR = *sys.new_Parameter("bR_BR", -2.7473);
863 ///*sys.new_Parameter("bR_RR", -2.7049);
864 symbol_numeric cR_BR = *sys.new_Parameter("cR_BR",
865     0.0000000000);
866 symbol_numeric dR_BR = *sys.new_Parameter("dR_BR", 0.10625);
867 ///*sys.new_Parameter("dR_RR", 0.10625);
868 symbol_numeric lR_BR = *sys.new_Parameter("lR_BR",
869     0.0000000000);
870
871 ex sR_BR = uR_BR - lR_BR;//;
872 ex splineR_BR = dR_BR + sR_BR * ( cR_BR + sR_BR * ( bR_BR +
873     sR_BR * aR_BR ) );
874 Vector3D fr_BR = *sys.new_Vector3D("fr_BR",splineR_BR*sin(
875     thetaR_BR),-uR_BR,splineR_BR*cos(thetaR_BR),"xyz1");
876 Vector3D rR_BR = sys.Position_Vector("O","O_RailBR")+fr_BR;
877 ///*sys.new_Vector3D("fr_RR",thetaR_RR,uR_RR,splineR_RR,
878     "B_RAILR");
879 Vector3D t1R_BR= sys.diff( rR_BR , thetaR_BR);

```

```

860     Vector3D t2R_BR= -(sys . diff ( rR_BR , uR_BR));
861     Vector3D nR_BR = t1R_BR^t2R_BR;
862
863 //normal and tangent unitary vectors at contact point
864     Vector3D u_nR_BR =( 1 /sqrt( nR_BR * nR_BR )) * nR_BR;
865     Vector3D u_t1R_BR =( 1 /sqrt( t1R_BR * t1R_BR )) * t1R_BR;
866     Vector3D u_t2R_BR =( 1 /sqrt( t2R_BR * t2R_BR )) * t2R_BR;
867
868
869     Point * J_BR_Wheel = sys . new_Point("J_BR_Wheel", "O", &rW_BR)
870 ;
871     Point * J_BR_RailB = sys . new_Point("J_BR_RailB", "O", &rR_BR)
872 ;
873
874 Drawing3D * D_J_BR_Wheel = sys . new_Drawing3D("D_J_BR_Wheel",
875 J_BR_Wheel, 0.04);
876
877 Drawing3D * D_u_nR_BR = sys . new_Drawing3D("D_u_nR_BR", &u_nR_BR,
878 J_BR_RailB);
879 Drawing3D * D_u_t1R_BR = sys . new_Drawing3D("D_u_t1R_BR", &
880 u_t1R_BR, J_BR_RailB);
881 Drawing3D * D_u_t2R_BR = sys . new_Drawing3D("D_u_t2R_BR", &
882 u_t2R_BR, J_BR_RailB);
883
884 //Vector3D Pcon_BR_W_Rail = sys . Position_Vector("Pcon_BR", "
885 J_BR_RailB");
886 //Vector3D Vcon_BR_W_Rail=sys . Dt(sys . Position_Vector("Pcon_BR", "
887 J_BR_RailB"), "xyz1");
888
889 Vector3D V_abs_J_BR_Wheel= sys . Velocity_Vector ("abs" , "
890 J_BR_Wheel", "WhsB" );
891 Vector3D V_abs_Pcon_BR_Rail= sys . Velocity_Vector ("abs" , "
892 J_BR_RailB", "RailB" );
893 Vector3D Vcon_BR_W_Rail=V_abs_J_BR_Wheel-V_abs_Pcon_BR_Rail
894 ;
895
896 Drawing3D * D_Vcon_BR_W_Rail = sys . new_Drawing3D("D_Vcon_BR_W_Rail",
897 &Vcon_BR_W_Rail, J_BR_RailB);
898
899 cout<<unatomize(Vcon_BR_W_Rail)<< endl;
900
901 Vector3D Vprom_BR_W_RailAux1= V_abs_J_BR_Wheel+V_abs_Pcon_BR_Rail
902 ;
903
904 ex Vprom_BR_W_RailAux2 =abs(sqrt( Vprom_BR_W_RailAux1 *
905 Vprom_BR_W_RailAux1));
906
907 ex Vprom_BR_W_Rail=(( numeric(1,2))*Vprom_BR_W_RailAux2);
908
909 ex Vprom_BR_W_Rail2=(( numeric(1,2))*(( V_abs_J_BR_Wheel+
910 V_abs_Pcon_BR_Rail)*u_t1R_BR));
911
912 ex Vcreepx_BR= (Vcon_BR_W_Rail*u_t1R_BR);
913 ex Vcreepy_BR= (Vcon_BR_W_Rail*u_t2R_BR);
914
915 Vector3D Vcreepphi_BRAux1=sys . Angular_Velocity("xyz1", "B_WhsB");
916 Vector3D Vcreepphi_BRAux2=sys . Angular_Velocity("xyz1", "B_RailB");

```

```

902 Vector3D Vcreepphi_BRAux3= Vcreepphi_BRAux1-Vcreepphi_BRAux2;
903
904 ex Vcreepphi_BR=(Vcreepphi_BRAux3* u_nR_BR);
905
906
907
908 /*
909 ex V_abs_CBR_wheel= abs(( sys . Velocity_Vector ("abs" , "O_WhsBR" )
910 )* u_t1R_BR);
911 Vector3D Aux1_angularBR=(sys . Angular_Velocity ("xyz1" , "B_WhsB" ));
912 Vector3D Aux2_angularBR= sys . Position_Vector("O_WhsBR" ,
913 J_BR_Wheel");
914
915 ex Aux_angularBR= (Aux1_angularBR ^ Aux2_angularBR)* u_t1R_BR;
916
917
918 ex angularBR=abs(Aux_angularBR);
919
920 ex Vcreepx_BR= (Vcon_BR_W_Rail*u_t1R_BR)/(( numeric(1,2)*( V_abs_CBR_wheel+ angularBR)));
921 ex Vcreepy_BR= (Vcon_BR_W_Rail*u_t2R_BR)/(( numeric(1,2)*( V_abs_CBR_wheel+ angularBR)));
922 ex Vcreepphi_BR=(sys . Angular_Velocity("xyz1" , "B_WhsB" ) * u_nR_BR)
923 /(( numeric(1,2)*( V_abs_CBR_wheel+angularBR)));
924 */
925 Vector3D FKALKER_BR = (Fx_BR* u_t1R_BR) + (Fy_BR * u_t2R_BR);
926 Vector3D MKALKER_BR = Mz_BR * u_nR_BR;
927
928 Drawing3D * DFKALKER_BR = sys . new_Drawing3D ("DFKALKER_BR",&
929 FKALKER_BR, J_BR_RailB ,0 ,1 ,0 ,0.5 );
930
931 Wrench3D * FKalkerA_BR = sys . new_Wrench3D ( "FKalkerA_BR" ,
932 FKALKER_BR, MKALKER_BR , J_BR_Wheel , WhsB , "Constitutive" );
933 Wrench3D * FKalkerR_BR = sys . new_Wrench3D ( "FKalkerR_BR" ,
934 FKALKER_BR , MKALKER_BR , J_BR_RailB , RailB , "Constitutive" );
935
936 Phi(5 ,0) = u_t1R_BR * (rW_BR-rR_BR);
937 Phi(6 ,0) = u_t2R_BR * (rW_BR-rR_BR);
938 Phi(7 ,0) = u_nR_BR * (rW_BR-rR_BR);
939 Phi(8 ,0) = u_nR_BR*t1W_BR; //nR_RR*t1W_RR;
940 Phi(9 ,0) = u_nR_BR*t2W_BR; //nR_RR*t2W_RR
941
942 symbol_numeric lambda6 = *sys . new_Joint_Unknown ("lambda6")
943 ;
944 symbol_numeric lambda7 = *sys . new_Joint_Unknown ("lambda7")
945 ;
946 symbol_numeric lambda8 = *sys . new_Joint_Unknown ("lambda8")
947 ;
948 symbol_numeric lambda9 = *sys . new_Joint_Unknown ("lambda9")
949 ;
950 symbol_numeric lambda10 = *sys . new_Joint_Unknown ("lambda10");
951
952 //———
953 //FRONT LEFT

```

```

947
948 Vector3D P_O_WhsF_O_WhsFL = *sys . new_Vector3D ("P_O_WhsF_O_WhsFL"
949     ,0 ,0.5*LWHS,0 ,"B_WhsF_a" );
950     Point * O_WhsFL = sys . new_Point ("O_WhsFL" ,"O_WhsF" ,&
951     P_O_WhsF_O_WhsFL );
952
953 symbol_numeric thetaW_FL = *sys . new_Coordinate ("thetaW_FL" ,
954     "dthetaW_FL" ,"ddthetaW_FL" , 3.1416 , 0.0 , 0.0);
955 symbol_numeric uW_FL = *sys . new_Coordinate ("uW_FL" ,"duW_FL" ,
956     "dduW_FL" , 0.0 , 0.0 , 0.0);
957
958     symbol_numeric aW_FL = *sys . new_Parameter ("aW_FL"
959     ,0.0000000000);
960     symbol_numeric bW_FL = *sys . new_Parameter ("bW_FL"
961     ,0.0000000000);
962     symbol_numeric cW_FL = *sys . new_Parameter ("cW_FL" ,0.1820);
963 ///*sys . new_Parameter ("cW_FL" ,2.7049);
964     symbol_numeric dW_FL = *sys . new_Parameter ("dW_FL"
965     ,-0.053125); // /*sys . new_Parameter ("dW_FL" ,-0.053125);
966     symbol_numeric lW_FL = *sys . new_Parameter ("lW_FL"
967     ,0.0000000000);
968
969     ex sW_FL = uW_FL- lW_FL ;//;
970     ex splineW_FL = dW_FL + sW_FL * ( cW_FL + sW_FL * (bW_FL +
971     sW_FL * aW_FL ) );
972     Vector3D fW_FL = *sys . new_Vector3D ("fW_FL" ,splineW_FL*sin (
973     thetaW_FL) ,uW_FL,splineW_FL*cos (thetaW_FL) ,"B_WhsF_a" );
974     Vector3D rW_FL = sys . Position_Vector ("O" ,"O_WhsFL" )+fW_FL;
975     Vector3D t1W_FL= sys . diff ( rW_FL , thetaW_FL);
976     Vector3D t2W_FL= sys . diff ( rW_FL , uW_FL);
977     Vector3D nW_FL = t1W_FL^t2W_FL;
978
979
980 Vector3D P_O_RailF_O_RailFL = *sys . new_Vector3D ("
981     P_O_RailF_O_RailFL" ,0 ,0.5*LRAIL,0 ,"B_RailF" );
982     Point * O_RailFL = sys . new_Point ("O_RailFL" ,"O_RailF" ,&
983     P_O_RailF_O_RailFL );
984
985 symbol_numeric uR_FL = *sys . new_Coordinate ("uR_FL" ,"duR_FL" ,
986     "dduR_FL" , 0.0 , 0.0 , 0.0);
987 symbol_numeric thetaR_FL = *sys . new_Coordinate ("thetaR_FL" ,
988     "dthetaR_FL" ,"ddthetaR_FL" , 0.0 , 0.0 , 0.0);
989
990     symbol_numeric aR_FL = *sys . new_Parameter ("aR_FL"
991     ,0.0000000000);
992     symbol_numeric bR_FL = *sys . new_Parameter ("bR_FL" ,-2.7473);
993 ///*sys . new_Parameter ("bR_FL" ,-2.7049);
994     symbol_numeric cR_FL = *sys . new_Parameter ("cR_FL"
995     ,0.0000000000);
996     symbol_numeric dR_FL = *sys . new_Parameter ("dR_FL" ,0.10625);
997 ///*sys . new_Parameter ("dR_FL" ,0.10625);
998     symbol_numeric lR_FL = *sys . new_Parameter ("lR_FL"
999     ,0.0000000000);
1000
1001     ex sR_FL = uR_FL- lR_FL ;//;
```

```

983     ex splineR_FL = dR_FL + sR_FL * ( cR_FL + sR_FL * ( bR_FL +
984         sR_FL * aR_FL ) );
985     Vector3D fr_FL = *sys.new_Vector3D("fr_FL",splineR_FL*sin(
986         thetaR_FL),uR_FL,splineR_FL*cos(thetaR_FL),"xyz1"); //;*sys.
987     new_Vector3D("fr_FL",thetaR_FL,sR_FL,splineR_FL,"B_RailF");
988     Vector3D rR_FL = sys.Position_Vector("O","O_RailFL") + fR_FL;
989     Vector3D t1R_FL = sys.diff( rR_FL , thetaR_FL );
990     Vector3D t2R_FL = sys.diff( rR_FL , uR_FL );
991     Vector3D nR_FL = t1R_FL^t2R_FL;
992
993     //normal and tangent unitary vectors at contact point
994     Vector3D u_nR_FL = ( 1 /sqrt( nR_FL * nR_FL ) ) * nR_FL;
995     Vector3D u_t1R_FL = ( 1 /sqrt( t1R_FL * t1R_FL ) ) * t1R_FL;
996     Vector3D u_t2R_FL = ( 1 /sqrt( t2R_FL * t2R_FL ) ) * t2R_FL;
997
998     Point * J_FL_Wheel = sys.new_Point("J_FL_Wheel","O",&rW_FL);
999     Point * J_FL_Rail = sys.new_Point("J_FL_Rail","O",&rR_FL);
1000
1001 Drawing3D * D_J_FL_Wheel = sys.new_Drawing3D("D_J_FL_Wheel",
1002     J_FL_Wheel,0.04);
1003
1004 Drawing3D * D_u_nR_FL = sys.new_Drawing3D("D_u_nR_FL",&u_nR_FL,
1005     J_FL_Rail);
1006 Drawing3D * D_u_t1R_FL = sys.new_Drawing3D("D_u_t1R_FL",&
1007     u_t1R_FL,J_FL_Rail);
1008 Drawing3D * D_u_t2R_FL = sys.new_Drawing3D("D_u_t2R_FL",&
1009     u_t2R_FL,J_FL_Rail);
1010
1011 //Vector3D Pcon_FL_W_Rail = sys.Position_Vector("Pcon_FL",
1012 //        "J_FL_Rail");
1013 //Vector3D Vcon_FL_W_Rail= sys.Dt(sys.Position_Vector("Pcon_FL",
1014 //        "J_FL_Rail"),"xyz1");
1015
1016 Vector3D V_abs_J_FL_Wheel= sys.Velocity_Vector ("abs" ,
1017     "J_FL_Wheel", "WhsF" );
1018     Vector3D V_abs_Pcon_FL_Rail= sys.Velocity_Vector ("abs" ,
1019     "J_FL_Rail", "RailF" );
1020     Vector3D Vcon_FL_W_Rail=V_abs_J_FL_Wheel-V_abs_Pcon_FL_Rail
1021 ;
1022
1023 Drawing3D * D_Vcon_FL_W_Rail = sys.new_Drawing3D("D_Vcon_FL_W_Rail",&Vcon_FL_W_Rail,J_FL_Rail);
cout<<unatomize(Vcon_FL_W_Rail)<< endl;
1024
1025 Vector3D Vprom_FL_W_RailAux1= V_abs_J_FL_Wheel+V_abs_Pcon_FL_Rail
1026 ;
1027
1028 ex Vprom_FL_W_RailAux2 =abs(sqrt( Vprom_FL_W_RailAux1 *
1029     Vprom_FL_W_RailAux1));
1030
1031 ex Vprom_FL_W_Rail=(( numeric(1,2))*Vprom_FL_W_RailAux2);

```

```

1024
1025     ex Vprom_FL_W.Rail2=((numeric(1,2))*((V_abs_J_FL_Wheel+
1026           V_abs_Pcon_FL_Rail)*u_t1R_FL));
1027
1028     ex Vcreepx_FL= (Vcon_FL_W.Rail*u_t1R_FL);
1029     ex Vcreepy_FL= (Vcon_FL_W.Rail*u_t2R_FL);
1030
1031     Vector3D Vcreepphi_FLAux1=sys.Angular_Velocity("xyz1","B_WhsF");
1032     Vector3D Vcreepphi_FLAux2=sys.Angular_Velocity("xyz1","B_RailF");
1033
1034     Vector3D Vcreepphi_FLAux3= Vcreepphi_FLAux1-Vcreepphi_FLAux2;
1035
1036     ex Vcreepphi_FL=(Vcreepphi_FLAux3* u_nR_FL);
1037
1038     /* ex V_abs_CFL_wheel= abs((sys.Velocity_Vector ("abs" , "O_WhsFL" )
1039       )* u_t1R_FL); //abs((sys.Velocity_Vector ("abs" , "O_WhsFL" )-
1040       V_abs_Pcon_FL_Rail)* u_t1R_FL)
1041     Vector3D Aux1_angularFL=(sys.Angular_Velocity( "xyz1","B_WhsF"));
1042     Vector3D Aux2_angularFL= sys.Position_Vector("O_WhsFL",
1043       "J_FL_Wheel");
1044
1045     ex Aux_angularFL= (Aux1_angularFL ^ Aux2_angularFL)* u_t1R_FL;
1046
1047     ex angularFL=abs(Aux_angularFL);
1048
1049     ex Vcreepx_FL= (Vcon_FL_W.Rail*u_t1R_FL)/((numeric(1,2)*(
1050       V_abs_CFL_wheel+ angularFL)));
1051
1052     ex Vcreepy_FL= (Vcon_FL_W.Rail*u_t2R_FL)/((numeric(1,2)*(
1053       V_abs_CFL_wheel+ angularFL)));
1054     ex Vcreepphi_FL=(sys.Angular_Velocity("xyz1","B_WhsF") * u_nR_FL)
1055       /((numeric(1,2)*( V_abs_CFL_wheel+angularFL)));
1056
1057   */
1058
1059   Vector3D FKALKER_FL = (Fx_FL* u_t1R_FL) + (Fy_FL * u_t2R_FL);
1060   Vector3D MKALKERFL = Mz_FL * u_nR_FL;
1061
1062   Drawing3D * DFKALKER_FL = sys.new_Drawing3D("DFKALKER_FL",&
1063     FKALKER_FL, J_FL_Rail, 0,1,0,0.5);
1064
1065   Wrench3D * FKalkerA_FL = sys.new_Wrench3D( "FKalkerA_FL",
1066     FKALKER_FL, MKALKERFL , J_FL_Wheel, WhsF , "Constitutive" );
1067   Wrench3D * FKalkerR_FL = sys.new_Wrench3D( "FKalkerR_FL",
1068     FKALKER_FL, MKALKERFL , J_FL_Rail , RailF , "Constitutive" );
1069
1070   Phi(10,0) = u_t1R_FL * (rW_FL-rR_FL);
1071   Phi(11,0) = u_t2R_FL * (rW_FL-rR_FL);
1072   Phi(12,0) = u_nR_FL * (rW_FL-rR_FL);
1073   Phi(13,0) = u_nR_FL*t1W_FL;
1074   Phi(14,0) = u_nR_FL*t2W_FL;

```

```

1070     symbol_numeric lambda11 = *sys.new_Joint_Unknown("lambda11"
1071     ");
1072     symbol_numeric lambda12 = *sys.new_Joint_Unknown("lambda12"
1073     ");
1074     symbol_numeric lambda13 = *sys.new_Joint_Unknown("lambda13"
1075     ");
1076     symbol_numeric lambda14 = *sys.new_Joint_Unknown("lambda14"
1077     ");
1078     symbol_numeric lambda15 = *sys.new_Joint_Unknown("lambda15");
1079
1080     //FRONT RIGHT
1081
1082     Vector3D P_O_WhsF_O_WhsFR = *sys.new_Vector3D("P_O_WhsF_O_WhsFR"
1083     ,0,-0.5*LWHS,0,"B_WhsF_a");
1084     Point * O_WhsFR = sys.new_Point("O_WhsFR","O_WhsF",&
1085     P_O_WhsF_O_WhsFR);
1086
1087     symbol_numeric thetaW_FR = *sys.new_Coordinate("thetaW_FR",
1088     "dthetaW_FR","ddthetaW_FR", 3.1416 , 0.0 , 0.0);
1089     symbol_numeric uW_FR = *sys.new_Coordinate("uW_FR","duW_FR",
1090     "dduW_FR", 0.0 , 0.0 , 0.0);
1091
1092     symbol_numeric aW_FR = *sys.new_Parameter("aW_FR",
1093     ,0.0000000000);
1094     symbol_numeric bW_FR = *sys.new_Parameter("bW_FR",
1095     ,0.0000000000);
1096     symbol_numeric cW_FR = *sys.new_Parameter("cW_FR",0.1820);
1097     /*sys.new_Parameter("cW_RR",-2.7049)
1098     symbol_numeric dW_FR = *sys.new_Parameter("dW_FR",
1099     ,-0.053125); /*sys.new_Parameter("dW_RR",-0.053125);
1100     symbol_numeric IW_FR = *sys.new_Parameter("IW_FR",
1101     ,0.0000000000);
1102
1103     ex sW_FR = uW_FR- IW_FR; //;
1104     ex splineW_FR = dW_FR + sW_FR * ( cW_FR + sW_FR * (bW_FR +
1105     sW_FR * aW_FR) );
1106     Vector3D fW_FR = *sys.new_Vector3D("fW_FR",splineW_FR*sin(
1107     thetaW_FR),-uW_FR,splineW_FR*cos(thetaW_FR),"B_WhsF_a");
1108     Vector3D rW_FR = sys.Position_Vector("O","O_WhsFR")+fW_FR;
1109     Vector3D t1W_FR= sys.diff( rW_FR , thetaW_FR);
1110     Vector3D t2W_FR= -(sys.diff( rW_FR , uW_FR));
1111     Vector3D nW_FR = t1W_FR^t2W_FR;
1112
1113
1114     Vector3D P_O_RailF_O_RailFR = *sys.new_Vector3D("P_O_RailF_O_RailFR",
1115     ,0,-0.5*LRAIL,0,"B_RailF");
1116     Point * O_RailFR = sys.new_Point("O_RailFR","O_RailF",&
1117     P_O_RailF_O_RailFR);
1118
1119     symbol_numeric uR_FR = *sys.new_Coordinate("uR_FR","duR_FR",
1120     "dduR_FR", 0.0 , 0.0 , 0.0);
1121     symbol_numeric thetaR_FR = *sys.new_Coordinate("thetaR_FR",
1122     "dthetaR_FR","ddthetaR_FR", 0.0 , 0.0 , 0.0);
1123
1124     symbol_numeric aR_FR = *sys.new_Parameter("aR_FR",
1125     ,0.0000000000);

```

```

1107     symbol_numeric bR_FR = *sys.new_Parameter("bR_FR",-2.7473);
1108 ///*sys.new_Parameter("FR_RR",-2.7049);
1109     symbol_numeric cR_FR = *sys.new_Parameter("cR_FR"
1110 ,0.000000000);
1111     symbol_numeric dR_FR = *sys.new_Parameter("dR_FR",0.10625);
1112 ///*sys.new_Parameter("dR_RR",0.10625);
1113     symbol_numeric lR_FR = *sys.new_Parameter("lR_FR"
1114 ,0.000000000);
1115
1116     ex sR_FR = uR_FR - lR_FR;//;
1117     ex splineR_FR = dR_FR + sR_FR * (cR_FR + sR_FR * (bR_FR
1118 + sR_FR * aR_FR));
1119     Vector3D fr_FR = *sys.new_Vector3D("fr_FR",splineR_FR*sin(
1120 thetaR_FR),-uR_FR,splineR_FR*cos(thetaR_FR),"xyz1");
1121     Vector3D rR_FR = sys.Position_Vector("O","O_RailFR")+fR_FR
1122 ; ///*sys.new_Vector3D("fr_RR",thetaR_RR,uR_RR,splineR_RR,
1123 B_RAILR);
1124
1125     Vector3D t1R_FR= sys.diff( rR_FR , thetaR_FR);
1126     Vector3D t2R_FR= -(sys.diff( rR_FR , uR_FR));
1127     Vector3D nR_FR = t1R_FR^t2R_FR;
1128
1129
1130 //normal and tangent unitary vectors at contact point
1131     Vector3D u_nR_FR =( 1 /sqrt( nR_FR * nR_FR )) * nR_FR;
1132     Vector3D u_t1R_FR =( 1 /sqrt( t1R_FR * t1R_FR )) * t1R_FR;
1133     Vector3D u_t2R_FR =( 1 /sqrt( t2R_FR * t2R_FR )) * t2R_FR;
1134
1135
1136 Point * J_FR_Wheel = sys.new_Point("J_FR_Wheel","O",&rW_FR)
1137 ;
1138 Point * J_FR_Rail = sys.new_Point("J_FR_Rail","O",&rR_FR);
1139
1140 Drawing3D * D_J_FR_Wheel = sys.new_Drawing3D("D_J_FR_Wheel",
1141 J_FR_Wheel,0.04);
1142
1143 Drawing3D * D_u_nR_FR = sys.new_Drawing3D("D_u_nR_FR",&u_nR_FR,
1144 J_FR_Rail);
1145 Drawing3D * D_u_t1R_FR = sys.new_Drawing3D("D_u_t1R_FR",&
1146 u_t1R_FR,J_FR_Rail);
1147 Drawing3D * D_u_t2R_FR = sys.new_Drawing3D("D_u_t2R_FR",&
1148 u_t2R_FR,J_FR_Rail);
1149
1150 //Vector3D Pcon_FR_W_Rail = sys.Position_Vector("Pcon_FR",
1151 J_FR_Rail);
1152 //Vector3D Vcon_FR_W_Rail= sys.Dt(sys.Position_Vector("Pcon_FR",
1153 J_FR_Rail),"xyz1");
1154
1155     Vector3D V_abs_J_FR_Wheel= sys.Velocity_Vector ("abs",
1156 "J_FR_Wheel", "WhsF");
1157     Vector3D V_abs_Pcon_FR_Rail= sys.Velocity_Vector ("abs",
1158 "J_FR_Rail", "RailF");
1159     Vector3D Vcon_FR_W_Rail=V_abs_J_FR_Wheel-V_abs_Pcon_FR_Rail
1160 ;
1161
1162
1163 Drawing3D * D_Vcon_FR_W_Rail = sys.new_Drawing3D("D_Vcon_FR_W_Rail",
1164 &Vcon_FR_W_Rail,J_FR_Rail);
1165

```

```

1145 cout<<unatomize(u_t1R_FR)<< endl;
1146
1147 Vector3D Vprom_FR_W_RailAux1= V_abs_J_FR_Wheel+V_abs_Pcon_FR_Rail
1148 ;
1149 ex Vprom_FR_W_RailAux2 =abs(sqrt( Vprom_FR_W_RailAux1 *
1150 Vprom_FR_W_RailAux1));
1151 ex Vprom_FR_W_Rail=((numeric(1,2))*Vprom_FR_W_RailAux2);
1152 ex Vprom_FR_W_Rail2=((numeric(1,2))*((V_abs_J_FR_Wheel+
1153 V_abs_Pcon_FR_Rail)*u_t1R_FR));
1154
1155 ex Vcreepx_FR=(Vcon_FR_W_Rail*u_t1R_FR);
1156 ex Vcreepy_FR=(Vcon_FR_W_Rail*u_t2R_FR);
1157
1158 Vector3D Vcreepphi_FRAux1=sys.Angular_Velocity("xyz1","B_WhsF");
1159 Vector3D Vcreepphi_FRAux2=sys.Angular_Velocity("xyz1","B_RailF");
1160
1161 Vector3D Vcreepphi_FRAux3= Vcreepphi_FRAux1-Vcreepphi_FRAux2;
1162
1163 ex Vcreepphi_FR=(Vcreepphi_FRAux3*u_nR_FR);
1164
1165
1166
1167 /*
1168 ex V_abs_CFR_wheel= abs((sys.Velocity_Vector("abs","O_WhsFR"))
1169 )* u_t1R_FR);
1170 Vector3D Aux1_angularFR=(sys.Angular_Velocity("xyz1","B_WhsF"));
1171 Vector3D Aux2_angularFR= sys.Position_Vector("O_WhsFR",
1172 "J_FR_Wheel");
1173
1174 ex Aux_angularFR= (Aux1_angularFR ^ Aux2_angularFR)* u_t1R_FR;
1175
1176
1177 ex angularFR=abs(Aux_angularFR);
1178
1179 ex Vcreepx_FR=(Vcon_FR_W_Rail*u_t1R_FR)/((numeric(1,2)*(
1180 V_abs_CFR_wheel+ angularFR)));
1181 ex Vcreepy_FR=(Vcon_FR_W_Rail*u_t2R_FR)/((numeric(1,2)*(
1182 V_abs_CFR_wheel+ angularFR)));
1183 ex Vcreepphi_FR=(sys.Angular_Velocity("xyz1","B_WhsF") * u_nR_FR)
1184 /((numeric(1,2)*( V_abs_CFR_wheel+angularFR)));
1185
1186 */
1187 Vector3D FKALKER_FR =(Fx_FR*u_t1R_FR) + (Fy_FR * u_t2R_FR);
1188 Vector3D MKALKER_FR = Mz_FR * u_nR_FR;
1189 Drawing3D * DFKALKER_FR = sys.new_Drawing3D("DFKALKER_FR",&
1190 FKALKER_FR,J_FR_Rail,0,1,0,0.5);
1191
1192 Wrench3D * FKalkerA_FR = sys.new_Wrench3D("FKalkerA_FR",
1193 FKALKER_FR, MKALKER_FR , J_FR_Wheel, WhsF , "Constitutive");
1194 Wrench3D * FKalkerR_FR = sys.new_Wrench3D("FKalkerR_FR",
1195 FKALKER_FR, MKALKER_FR , J_FR_Rail , RailF , "Constitutive");

```

```

1191
1192     Phi(15,0) = u_t1R_FR * (rW_FR-rR_FR); //u_t1R_FR * (rW_FL-
1193     rR_FR); Phi(15,0)
1194     Phi(16,0) = u_t2R_FR * (rW_FR-rR_FR); //u_t2R_FR * (rW_FL-
1195     rR_FR); Phi(16,0)
1196     Phi(17,0) = u_nR_FR * (rW_FR-rR_FR); //u_nR_FR * (rW_FL-
1197     rR_FR); Phi(17,0)
1198     Phi(18,0) = u_nR_FR*t1W_FR; //nR_FR*t1W_FR; Phi(18,0)
1199     Phi(19,0) = u_nR_FR*t2W_FR; //nR_FR*t2W_FR; Phi(19,0)
1200
1201 /*
1202     Phi(5,0) = u_t1R_FR * (rW_FR-rR_FR); //u_t1R_FR * (rW_FL-rR_FR);
1203     Phi(6,0) = u_t2R_FR * (rW_FR-rR_FR); //u_t2R_FR * (rW_FL-rR_FR)
1204     );Phi(16,0)
1205     Phi(7,0) = u_nR_FR * (rW_FR-rR_FR); //u_nR_FR * (rW_FL-rR_FR)
1206     );Phi(17,0)
1207     Phi(8,0) = u_nR_FR*t1W_FR; //nR_FR*t1W_FR; Phi(18,0)
1208     Phi(9,0) = u_nR_FR*t2W_FR; //nR_FR*t2W_FR; Phi(19,0)
1209 */
1210
1211 symbol_numeric lambda16 = *sys.new_Joint_Unknown("lambda16");
1212 symbol_numeric lambda17 = *sys.new_Joint_Unknown("lambda17");
1213 symbol_numeric lambda18 = *sys.new_Joint_Unknown("lambda18");
1214 symbol_numeric lambda19 = *sys.new_Joint_Unknown("lambda19");
1215 symbol_numeric lambda20 = *sys.new_Joint_Unknown("lambda20");
1216
1217
1218 /*
1219     Drawing3D * D_O_RAIL_RL = sys.new_Drawing3D("D_O_RAIL_LR",
1220     O_RAIL_RL,0.06);
1221     Drawing3D * D_O_RAIL_RR = sys.new_Drawing3D("D_O_RAIL_RR",
1222     O_RAIL_RR,0.06);
1223     Drawing3D * D_O_RailFL = sys.new_Drawing3D("D_O_RAIL_LF",
1224     O_RailFL,0.06);
1225     Drawing3D * D_O_RailFR = sys.new_Drawing3D("D_O_RAIL_RF",
1226     O_RailFR,0.06);
1227
1228     Drawing3D * D_O_WHS_RL = sys.new_Drawing3D("D_O_WHS_LR",
1229     O_WHS_RL,0.06);
1230     Drawing3D * D_O_WHS_RR = sys.new_Drawing3D("D_O_WHS_RR",
1231     O_WHS_RR,0.06);
1232     Drawing3D * D_O_WhsFL = sys.new_Drawing3D("D_O_WHS_LF",
1233     O_WhsFL,0.06);
1234     Drawing3D * D_O_WhsFR = sys.new_Drawing3D("D_O_WHS_RF",
1235     O_WhsFR,0.06);
1236
1237 Vector3D O_RAIL_RL_JRAIL_RL = *sys.new_Vector3D(
1238     "O_RAIL_RL_JRAIL_RL",0,0,RRAIL,"B_RAILR");

```

```

1230 Vector3D O_RAIL_RR_JRAIL_RR = *sys . new_Vector3D ("O_RAIL_RR_JRAIL_RR", 0 ,0 ,RRAIL,"B_RAILR");
1231 Vector3D O_RailFL_JRAIL_FL = *sys . new_Vector3D ("O_RailFL_JRAIL_FL", 0 ,0 ,RRAIL,"B_RailF");
1232 Vector3D O_RailFR_JRAIL_FR = *sys . new_Vector3D ("O_RailFR_JRAIL_FR", 0 ,0 ,RRAIL,"B_RailF");
1233 Point * JRAIL_RL = sys . new_Point ("JRAIL_RL", "O_RAIL_RL", & O_RAIL_RL_JRAIL_RL);
1234 Point * JRAIL_RR = sys . new_Point ("JRAIL_RR", "O_RAIL_RR", & O_RAIL_RR_JRAIL_RR);
1235 Point * JRAIL_FL = sys . new_Point ("JRAIL_FL", "O_RailFL", & O_RailFL_JRAIL_FL);
1236 Point * JRAIL_FR = sys . new_Point ("JRAIL_FR", "O_RailFR", & O_RailFR_JRAIL_FR);
1237
1238 Vector3D O_WHS_RL_JWHS_RL = *sys . new_Vector3D ("O_WHS_RL_JWHS_RL", 0 ,0 ,RWHS,"B_WHSR");
1239 Vector3D O_WHS_RR_JWHS_RR = *sys . new_Vector3D ("O_WHS_RR_JWHS_RR", 0 ,0 ,RWHS,"B_WHSR");
1240 Vector3D O_WhsFL_JWHS_FL = *sys . new_Vector3D ("O_WhsFL_JWHS_FL", 0 ,0 ,RWHS,"B_WhsF");
1241 Vector3D O_WhsFR_JWHS_FR = *sys . new_Vector3D ("O_WhsFR_JWHS_FR", 0 ,0 ,RWHS,"B_WhsF");
1242
1243 Point * JWHS_RL = sys . new_Point ("JWHS_RL", "O_RAIL_RL", & O_WHS_RL_JWHS_RL);
1244 Point * JWHS_RR = sys . new_Point ("JWHS_RR", "O_RAIL_RR", & O_WHS_RR_JWHS_RR);
1245 Point * JWHS_FL = sys . new_Point ("JWHS_FL", "O_RailFL", & O_WhsFL_JWHS_FL);
1246 Point * JWHS_FR = sys . new_Point ("JWHS_FR", "O_RailFR", & O_WhsFR_JWHS_FR);
1247
1248 Drawing3D * D_JRAIL_RL = sys . new_Drawing3D ("D_JRAIL_RL", JRAIL_RL, 0.03);
1249 Drawing3D * D_JRAIL_RR = sys . new_Drawing3D ("D_JRAIL_RR", JRAIL_RR, 0.03);
1250 Drawing3D * D_JRAIL_FL = sys . new_Drawing3D ("D_JRAIL_FL", JRAIL_FL, 0.03);
1251 Drawing3D * D_JRAIL_FR = sys . new_Drawing3D ("D_JRAIL_FR", JRAIL_FR, 0.03);
1252
1253 Drawing3D * D_JWHS_RL = sys . new_Drawing3D ("D_JWHS_RL", JWHS_RL, 0.03);
1254 Drawing3D * D_JWHS_RR = sys . new_Drawing3D ("D_JWHS_RR", JWHS_RR, 0.03);
1255 Drawing3D * D_JWHS_FL = sys . new_Drawing3D ("D_JWHS_FL", JWHS_FL, 0.03);
1256 Drawing3D * D_JWHS_FR = sys . new_Drawing3D ("D_JWHS_FR", JWHS_FR, 0.03);
1257
1258 */
1259 */
1260
1261
1262

```

```

1263 // ****
1264 // Radius of the Ellipse
1265 // ****
1266 cout << "Radius of the Ellipse" << endl;
1267 //BACK LEFT
1268 ex cryW_BL = abs(sqrt(fW_BL(0,0)*fW_BL(0,0) + fW_BL(2,0)*fW_BL(2,0)));
1269 ex crxW_BL = abs(pow(1 + pow(sys.diff(splineW_BL,uW_BL),2.0)
1270 ,(3.0/2.0)) / abs(sys.diff(sys.diff(splineW_BL,uW_BL),uW_BL)));
1271 /* Radius of Curvature rho = (1+y')^(3/2) / y' */
1272 ex cryR_BL = abs(sqrt(fR_BL(0,0)*fR_BL(0,0) + fR_BL(2,0)*fR_BL(2,0)));
1273 ex crxR_BL = abs(pow(1 + pow(sys.diff(splineR_BL,uR_BL),2.0)
1274 ,(3.0/2.0)) / abs(sys.diff(sys.diff(splineR_BL,uR_BL),uR_BL)));
1275
1276 ex n_BL = sqrt(lambda1*lambda1+lambda2*lambda2+lambda3*lambda3);
1277 Matrix Radius_BL(10,1);
1278
1279 Radius_BL(0,0)=cryW_BL;
1280 Radius_BL(1,0)=crxW_BL;
1281 Radius_BL(2,0)=cryR_BL;
1282 Radius_BL(3,0)=crxR_BL;
1283 Radius_BL(4,0)=n_BL;
1284 Radius_BL(5,0)=Vcreepx_BL;
1285 Radius_BL(6,0)=Vcreepy_BL;
1286 Radius_BL(7,0)=Vcreepphi_BL;
1287 Radius_BL(8,0)=Vprom_BL_W_Rail;
1288 Radius_BL(9,0)=Vprom_BL_W_Rail2;
1289 lst new_atom_list_Radius_BL, new_exp_list_Radius_BL;
1290 matrix_list_optimize (Radius_BL, new_atom_list_Radius_BL,
1291 new_exp_list_Radius_BL);
1292 sys.export_function_MATLAB("Radius_BL", "Radius_BL",
1293 Radius_BL, new_atom_list_Radius_BL, new_exp_list_Radius_BL);
1294
1295
1296
1297
1298
1299 //BACK RIGHT
1300 ex cryW_BR = abs(sqrt(fW_BR(0,0)*fW_BR(0,0) + fW_BR(2,0)*fW_BR(2,0)));
1301 ex crxW_BR = abs(pow(1 + pow(sys.diff(splineW_BR,uW_BR),2.0)
1302 ,(3.0/2.0)) / abs(sys.diff(sys.diff(splineW_BR,uW_BR),uW_BR)));
1303 /* Radius of Curvature rho = (1+y')^(3/2) / y' */
ex cryR_BR = abs(sqrt(fR_BR(0,0)*fR_BR(0,0) + fR_BR(2,0)*fR_BR(2,0)));

```

```

1304 ex crxR_BR = abs(pow(1 + pow(sys . diff(splineR_BR ,uR_BR) ,2.0)
1305 ,(3.0/2.0)) / abs(sys . diff(sys . diff(splineR_BR ,uR_BR) ,uR_BR)));
1306
1307 ex n_BR = sqrt(lambda6*lambda6+lambda7*lambda7+lambda8*lambda8);
1308
1309 Matrix Radius_BR(10,1);
1310
1311 Radius_BR(0,0)=cryW_BR;
1312 Radius_BR(1,0)=crxW_BR;
1313 Radius_BR(2,0)=cryR_BR;
1314 Radius_BR(3,0)=crxR_BR;
1315 Radius_BR(4,0)=n_BR;
1316 Radius_BR(5,0)=Vcreepx_BR;
1317 Radius_BR(6,0)=Vcreepy_BR;
1318 Radius_BR(7,0)=Vcreepphi_BR;
1319 Radius_BR(8,0)=Vprom_BR_W_Rail;
1320 Radius_BR(9,0)=Vprom_BR_W_Rail2;
1321
1322 lst new_atom_list_Radius_BR , new_exp_list_Radius_BR ;
1323 matrix_list_optimize ( Radius_BR , new_atom_list_Radius_BR ,
1324 new_exp_list_Radius_BR );
1325
1326 sys.export_function_MATLAB("Radius_BR" , "Radius_BR_",
1327 Radius_BR , new_atom_list_Radius_BR , new_exp_list_Radius_BR );
1328
1329 //FRONT LEFT
1330 ex cryW_FL = abs(sqrt(fW_FL(0,0)*fW_FL(0,0) + fW_FL(2,0)*fW_FL
1331 (2,0)));
1332 ex crxW_FL = abs(pow(1 + pow(sys . diff(splineW_FL ,uW_FL) ,2.0)
1333 ,(3.0/2.0)) / abs(sys . diff(sys . diff(splineW_FL ,uW_FL) ,uW_FL));
1334 /* Radius of Curvature rho = (1+y')^(3/2) / y' , */
1335 ex cryR_FL = abs(sqrt(fR_FL(0,0)*fR_FL(0,0) + fR_FL(2,0)*fR_FL
1336 (2,0)));
1337 ex crxR_FL = abs(pow(1 + pow(sys . diff(splineR_FL ,uR_FL) ,2.0)
1338 ,(3.0/2.0)) / abs(sys . diff(sys . diff(splineR_FL ,uR_FL) ,uR_FL)));
1339
1340 ex n_FL = sqrt(lambda11*lambda11+lambda12*lambda12+lambda13*
1341 lambda13);
1342
1343 Matrix Radius_FL(10,1);
1344
1345 Radius_FL(0,0)=cryW_FL;
1346 Radius_FL(1,0)=crxW_FL;
1347 Radius_FL(2,0)=cryR_FL;
1348 Radius_FL(3,0)=crxR_FL;
1349 Radius_FL(4,0)=n_FL;
1350 Radius_FL(5,0)=Vcreepx_FL;
1351 Radius_FL(6,0)=Vcreepy_FL;
1352 Radius_FL(7,0)=Vcreepphi_FL;
1353 Radius_FL(8,0)=Vprom_FL_W_Rail;
1354 Radius_FL(9,0)=Vprom_FL_W_Rail2;
1355
1356 lst new_atom_list_Radius_FL , new_exp_list_Radius_FL ;
1357 matrix_list_optimize ( Radius_FL , new_atom_list_Radius_FL ,
1358 new_exp_list_Radius_FL );

```

```

1351
1352     sys.export_function_MATLAB("Radius_FL", "Radius_FL_",
1353     Radius_FL, new_atom_list_Radius_FL, new_exp_list_Radius_FL);
1354 //FRONT RIGHT
1355
1356     ex cryW_FR = abs(sqrt(fW_FR(0,0)*fW_FR(0,0) + fW_FR(2,0)*fW_FR
1357     (2,0)));
1358     ex crxW_FR = abs(pow(1 + pow(sys.diff(splineW_FR,uW_FR),2,0)
1359     ,(3.0/2.0)) / abs(sys.diff(sys.diff(splineW_FR,uW_FR),uW_FR));
1360     /* Radius of Curvature rho = (1+y')^(3/2) / y' */
1361     ex cryR_FR = abs(sqrt(fR_FR(0,0)*fR_FR(0,0) + fR_FR(2,0)*fR_FR
1362     (2,0)));
1363     ex crxR_FR = abs(pow(1 + pow(sys.diff(splineR_FR,uR_FR),2,0)
1364     ,(3.0/2.0)) / abs(sys.diff(sys.diff(splineR_FR,uR_FR),uR_FR)));
1365
1366     ex n_FR = sqrt(lambda16*lambda16+lambda17*lambda17+lambda18*
1367     lambda18);
1368
1369     Matrix Radius_FR(10,1);
1370
1371     Radius_FR(0,0)=cryW_FR;
1372     Radius_FR(1,0)=crxW_FR;
1373     Radius_FR(2,0)=cryR_FR;
1374     Radius_FR(3,0)=crxR_FR;
1375     Radius_FR(4,0)=n_FR;
1376     Radius_FR(5,0)=Vcreepx_FR;
1377     Radius_FR(6,0)=Vcreepy_FR;
1378     Radius_FR(7,0)=Vcreepphi_FR;
1379     Radius_FR(8,0)=Vprom_FR_W_Rail;
1380     Radius_FR(9,0)=Vprom_FR_W_Rail2;
1381
1382
1383
1384
1385
1386
1387
1388
1389
1390
1391
1392
1393 // ****
1394 // Glide forces
1395 // ****

```

```

1396 cout << "Glide forces" << endl;
1397
1398 symbol_numeric Ct = *sys.new_Parameter("Ct",10000.000);
1399
1400 Vector3D F1_BR = -Ct * Vcon_BR_W_Rail;
1401 Vector3D F1_BL = -Ct * Vcon_BL_W_Rail;
1402 Vector3D F1_FL = -Ct * Vcon_FL_W_Rail;
1403 Vector3D F1_FR = -Ct * Vcon_FR_W_Rail;
1404
1405
1406 cout << F1_BR << endl;
1407 cout << F1_BL << endl;
1408 cout << F1_FL << endl;
1409 cout << F1_FR << endl;
1410 cout << F1_FR(0,0) << endl;
1411
1412 Matrix Kalker_Kinematics(12,1);
1413
1414
1415 Kalker_Kinematics(0,0)=F1_BR*u_t1R_BR;//Fx_BR
1416 Kalker_Kinematics(1,0)=F1_BR*u_t2R_BR;//Fy_BR
1417 Kalker_Kinematics(2,0)=0;//Mz_BR
1418 Kalker_Kinematics(3,0)=F1_BL*u_t1R_BL;//Fx_BL
1419 Kalker_Kinematics(4,0)=F1_BL*u_t2R_BL;//Fy_BL
1420 Kalker_Kinematics(5,0)=0;//Mz_BL
1421 Kalker_Kinematics(6,0)=F1_FL*u_t1R_FL;//Fx_FL
1422 Kalker_Kinematics(7,0)=F1_FL*u_t2R_FL;//Fy_FL
1423 Kalker_Kinematics(8,0)=0;//Mz_FL
1424 Kalker_Kinematics(9,0)=F1_FR*u_t1R_FR;//Fx_FR
1425 Kalker_Kinematics(10,0)=F1_FR*u_t2R_FR;//Fy_FR
1426 Kalker_Kinematics(11,0)=0;//Mz_FR
1427
1428
1429 lst new_atom_list_Kalker_Kinematics,
1430 new_exp_list_Kalker_Kinematics;
1431 matrix_list_optimize (Kalker_Kinematics,
1432 new_atom_list_Kalker_Kinematics, new_exp_list_Kalker_Kinematics
1433 );
1434
1435 sys.export_function_MATLAB("Kalker_Kinematics", "
1436 Kalker_Kinematics_", Kalker_Kinematics,
1437 new_atom_list_Kalker_Kinematics, new_exp_list_Kalker_Kinematics
1438 );
1439
1440 //*****
1441 // Vectors needed to take different Jacobians
1442 //*****
1443
1444 cout << "Vectors needed to take different Jacobians" << endl;
1445
1446 Matrix q = sys.Coordinates();

```

```

1442 Matrix dq = sys.Velocities();
1443 Matrix ddq = sys.Accelerations();
1444 Matrix epsilon = sys.Joint_Unknowns();
1445 Matrix pars = sys.Parameters();
1446 Matrix inps = sys.Inputs();
1447 Matrix unks = sys.Joint_Unknowns();
1448
1449 /**
1450 // Dynamic Equations
1451 /**
1452 cout << "Dynamic Equations" << endl;
1453
1454 Matrix Dynamic_Equations = sys.GenForceSys("ALL");
1455
1456
1457 /**
1458 /**
1459 // Output Vector
1460 /**
1461 cout << "Output Vector" << endl;
1462
1463
1464 Matrix Output(36,1); //Matrix Output(40,1);
1465 Output(0,0)=u_nR_BL(0,0);
1466 Output(1,0)=u_nR_BL(1,0);
1467 Output(2,0)=u_nR_BL(2,0);
1468 Output(3,0)= u_nR_BR(0,0);
1469 Output(4,0)= u_nR_BR(1,0);
1470 Output(5,0)= u_nR_BR(2,0);
1471 Output(6,0)= u_nR_FL(0,0);
1472 Output(7,0)= u_nR_FL(1,0);
1473 Output(8,0)= u_nR_FL(2,0);
1474 Output(9,0)= u_nR_FR(0,0);
1475 Output(10,0)= u_nR_FR(1,0);
1476 Output(11,0)= u_nR_FR(2,0);
1477
1478 Output(12,0)=u_t1R_BL(0,0);
1479 Output(13,0)=u_t1R_BL(1,0);
1480 Output(14,0)=u_t1R_BL(2,0);
1481 Output(15,0)= u_t1R_BR(0,0);
1482 Output(16,0)= u_t1R_BR(1,0);
1483 Output(17,0)= u_t1R_BR(2,0);
1484 Output(18,0)= u_t1R_FL(0,0);
1485 Output(19,0)= u_t1R_FL(1,0);
1486 Output(20,0)= u_t1R_FL(2,0);
1487 Output(21,0)= u_t1R_FR(0,0);
1488 Output(22,0)= u_t1R_FR(1,0);
1489 Output(23,0)= u_t1R_FR(2,0);
1490

```

```

1491     Output(24,0)=u_t2R_BL(0,0);
1492     Output(25,0)=u_t2R_BL(1,0);
1493     Output(26,0)=u_t2R_BL(2,0);
1494     Output(27,0)= u_t2R_BR(0,0);
1495     Output(28,0)= u_t2R_BR(1,0);
1496     Output(29,0)= u_t2R_BR(2,0);
1497     Output(30,0)= u_t2R_FL(0,0);
1498     Output(31,0)= u_t2R_FL(1,0);
1499     Output(32,0)= u_t2R_FL(2,0);
1500
1501     Output(33,0)= u_t2R_FR(0,0);
1502     Output(34,0)= u_t2R_FR(1,0);
1503     Output(35,0)= u_t2R_FR(2,0);
1504
1505
1506
1507
1508
1509 /*/
1510 //REAR LEFT
1511     ex cryW_RL =abs(sqrt(fW_RL(0,0)*fW_RL(0,0) + fW_RL(2,0)*fW_RL
1512 (2,0)));
1513     ex crxW_RL = abs(pow(1 + pow(sys.diff(splineW_RL,uW_RL),2.0)
1514 ,(3.0/2.0)) / abs(sys.diff(sys.diff(splineW_RL,uW_RL),uW_RL));
1515     /* Radius of Curvature rho = (1+y')^(3/2) / y' */
1516 /*
1517
1518     ex cryR_RL = abs(sqrt(fW_RL(0,0)*fW_RL(0,0) + fW_RL(2,0)*fW_RL
1519 (2,0)));
1520     ex crxR_RL = abs(pow(1 + pow(sys.diff(splineR_RL,uR_RL),2.0)
1521 ,(3.0/2.0)) / abs(sys.diff(sys.diff(splineR_RL,uR_RL),uR_RL));
1522
1523     Output(0,0) = sqrt(lambda1*lambda1+lambda2*lambda2+lambda3*
1524 lambda3); //0.0;
1525     Output(1,0) = (*dbRAILR * cryR_RL - *dbWHSR * cryW_RL); //(*
1526 dbRAIL * cryR_RLR - *dbRWHSF * cryW_RLR);
1527     Output(2,0) = (*daCh * cryR_RL - *dbWHSR * cryW_RL); //(*daCh
1528 * cryR_RLR - *daRWHSF * cryW_RLR);
1529     Output(3,0) = (sys.Angular_Velocity("xyz1","B_WHSR") *
1530 u_nR_RL);
1531     Output(4,0) = *dbWHSR;
1532     Output(5,0) = *dxCh;
1533     Output(6,0) = cryW_RL;
1534     Output(7,0) = crxW_RL;
1535     Output(8,0) = cryR_RL;
1536     Output(9,0) = crxR_RL;
1537
1538 //REAR RIGHT
1539     ex cryW_RR = abs(sqrt(fW_RR(0,0)*fW_RR(0,0) + fW_RR(2,0)*
1540 fW_RR(2,0)));
1541     ex crxW_RR = abs(pow(1 + pow(sys.diff(splineW_RR,uW_RR),2.0)
1542 ,(3.0/2.0)) / abs(sys.diff(sys.diff(splineW_RR,uW_RR),uW_RR));
1543     /* Radius of Curvature rho = (1+y')^(3/2) / y' */
1544     /* ex cryR_RR = abs(sqrt(fW_RR(0,0)*fW_RR(0,0) + fW_RR(2,0)*
1545 fW_RR(2,0)); */

```

```

1534     ex crxR_RR = abs(pow(1 + pow(sys. diff(splineR_RR ,uR_RR) ,2.0)
1535     ,(3.0/2.0))) / abs(sys. diff(sys. diff(splineR_RR ,uR_RR) ,uR_RR));
1536     Output(10,0) = sqrt(lambda6*lambda6+lambda7*lambda7+lambda8*
1537 lambda8);
1538     Output(11,0) = (*dbRAILR * cryR_RR - *dbWHSR * cryW_RR); //(*
1539 dbRAIL * cryR_RFR - *dbRWHSF * cryW_RFR);
1540     Output(12,0) = (*daCh * cryR_RR- *dbWHSR * cryW_RR); //(*daCh
1541 * cryR_RFR - *daRWHSF * cryW_RFR);
1542     Output(13,0) = (sys. Angular_Velocity("xyz1","B_WHSR") *
1543 u_nR_RR);
1544     Output(14,0) = *dbWHSR;
1545     Output(15,0) = *dxCh;
1546     Output(16,0) = cryW_RR;
1547     Output(17,0) = crxW_RR;
1548     Output(18,0) = cryR_RR;
1549     Output(19,0) = crxR_RR;
1550
1551 //FRONT LEFT
1552     ex cryW_FL = abs(sqrt(fW_FL(0,0)*fW_FL(0,0) + fW_FL(2,0)*
1553 fW_FL(2,0)));
1554     ex crxW_FL = abs(pow(1 + pow(sys. diff(splineW_FL ,uW_FL) ,2.0)
1555 ,(3.0/2.0))) / abs(sys. diff(sys. diff(splineW_FL ,uW_FL) ,uW_FL));
1556 /* Radius of Curvature rho = (1+y')^(3/2) / y' */
1557 /* ex cryR_FL = abs(sqrt(fW_FL(0,0)*fW_FL(0,0) + fW_FL(2,0)*
1558 fW_FL(2,0)));
1559     ex crxR_FL = abs(pow(1 + pow(sys. diff(splineR_FL ,uR_FL) ,2.0)
1560 ,(3.0/2.0))) / abs(sys. diff(sys. diff(splineR_FL ,uR_FL) ,uR_FL));
1561
1562     Output(20,0) = sqrt(lambda11*lambda11+lambda12*lambda12+
1563 lambda13*lambda13);
1564     Output(21,0) = (*dbRailF * cryR_FL - *dbWHSF * cryW_FL); //(*
1565 dbRAIL * cryR_RFR - *dbRWHSF * cryW_RFR);
1566     Output(22,0) = (*daCh * cryR_FL- *dbWHSF * cryW_FL); //(*daCh
1567 * cryR_RFR - *daRWHSF * cryW_RFR);
1568     Output(23,0) = (sys. Angular_Velocity("xyz1","B_WHSF") *
1569 u_nR_FL);
1570     Output(24,0) = *dbWHSF;
1571     Output(25,0) = *dxCh;
1572     Output(26,0) = cryW_FL;
1573     Output(27,0) = crxW_FL;
1574     Output(28,0) = cryR_FL;
1575     Output(29,0) = crxR_FL;
1576
1577 //FRONT RIGHT
1578     ex cryW_FR = abs(sqrt(fW_FR(0,0)*fW_FR(0,0) + fW_FR(2,0)*
1579 fW_FR(2,0)));
1580     ex crxW_FR = abs(pow(1 + pow(sys. diff(splineW_FR ,uW_FR) ,2.0)
1581 ,(3.0/2.0))) / abs(sys. diff(sys. diff(splineW_FR ,uW_FR) ,uW_FR));
1582 /* Radius of Curvature rho = (1+y')^(3/2) / y' */
1583 /* ex cryR_FR = abs(sqrt(fW_FR(0,0)*fW_FR(0,0) + fW_FR(2,0)*
1584 fW_FR(2,0)));
1585     ex crxR_FR = abs(pow(1 + pow(sys. diff(splineR_FR ,uR_FR) ,2.0)
1586 ,(3.0/2.0))) / abs(sys. diff(sys. diff(splineR_FR ,uR_FR) ,uR_FR));
1587
1588     Output(30,0) = sqrt(lambda16*lambda16+lambda17*lambda17+
1589 lambda18*lambda18);

```

```

1571     Output(31,0) = (*dbRailF * crxR_FR - *dbWhsF * cryW_FR); //(*
1572     dbRailF * cryR_RFR - *dbRWhsF * cryW_RFR);
1573     Output(32,0) = (*dbRailF * crxR_FR- *dbWhsF * cryW_FR); //(*
1574     daCh * cryR_RFR - *daRWhsF * cryW_RFR);
1575     Output(33,0) = (sys . Angular_Velocity("xyz1","B_WhsF") *
1576     u_nR_FR);
1577     Output(34,0) = *dbWhsF;
1578     Output(35,0) = *dxCh;
1579     Output(36,0) = cryW_FR;
1580     Output(37,0) = crxW_FR;
1581     Output(38,0) = cryR_FR;
1582     Output(39,0) = crxR_FR;
1583 */
1584     sys . new_Matrix("Output",Output);
1585 /**
1586 ****
1587 // Energy Equations
1588 /**
1589 ****
1590 cout << "Energy Equations" << endl;
1591 Matrix Energy(1,1);
1592 Energy(0,0)=0;
1593 sys . new_Matrix("Energy",Energy);
1594 /**
1595 // KALKER
1596 /**
1597 // KALKER
1598
1599 symbol_numeric E_elastic = *sys . new_Parameter("E_elastic",210.0
1600 e+9); // MPa
1601 symbol_numeric nu_poisson = *sys . new_Parameter("nu_poisson"
1602 ,0.27); // Steel
1603 // Steel
1604 symbol_numeric G_elastic = *sys . new_Parameter("G_elastic",80.7e
1605 +9); // G = E/(2*(1+nu)); %MPa
1606 // hertz ellipse parameters
1607 symbol_numeric aBR = *sys . new_Parameter("aBR",0.0);
1608 symbol_numeric bBR = *sys . new_Parameter("bBR",0.0);
1609 symbol_numeric aBL = *sys . new_Parameter("aBL",0.0);
1610 symbol_numeric bBL = *sys . new_Parameter("bBL",0.0);
1611 symbol_numeric aFR = *sys . new_Parameter("aFR",0.0);
1612 symbol_numeric bFR = *sys . new_Parameter("bFR",0.0);

```

```

1614 symbol_numeric aFL = *sys.new_Parameter("aFL",0.0);
1615 symbol_numeric bFL = *sys.new_Parameter("bFL",0.0);
1616
1617 // Kalker's coefficients
1618
1619 symbol_numeric C11BR = *sys.new_Parameter("C11BR",0.0);
1620 symbol_numeric C22BR = *sys.new_Parameter("C22BR",0.0);
1621 symbol_numeric C23BR = *sys.new_Parameter("C23BR",0.0);
1622 symbol_numeric C33BR = *sys.new_Parameter("C33BR",0.0);
1623
1624 symbol_numeric C11BL = *sys.new_Parameter("C11BL",0.0);
1625 symbol_numeric C22BL = *sys.new_Parameter("C22BL",0.0);
1626 symbol_numeric C23BL = *sys.new_Parameter("C23BL",0.0);
1627 symbol_numeric C33BL = *sys.new_Parameter("C33BL",0.0);
1628
1629 symbol_numeric C11FR = *sys.new_Parameter("C11FR",0.0);
1630 symbol_numeric C22FR = *sys.new_Parameter("C22FR",0.0);
1631 symbol_numeric C23FR = *sys.new_Parameter("C23FR",0.0);
1632 symbol_numeric C33FR = *sys.new_Parameter("C33FR",0.0);
1633
1634 symbol_numeric C11FL = *sys.new_Parameter("C11FL",0.0);
1635 symbol_numeric C22FL = *sys.new_Parameter("C22FL",0.0);
1636 symbol_numeric C23FL = *sys.new_Parameter("C23FL",0.0);
1637 symbol_numeric C33FL = *sys.new_Parameter("C33FL",0.0);
1638
1639
1640 Matrix D_BR(3,3);
1641 ex GabBR = G_elastic*aBR*bBR;
1642 D_BR(0,0) = GabBR * C11BR; D_BR(0,1) = 0;
1643 D_BR(0,2) = 0;
1644 D_BR(1,0) = 0; D_BR(1,1) = GabBR * C22BR;
1645 D_BR(1,2) = GabBR * sqrt(aBR*bBR)*C23BR;
1646 D_BR(2,0) = 0; D_BR(2,1) = -GabBR * sqrt(aBR*bBR)*
1647 C23BR; D_BR(2,2) = GabBR * aBR*bBR*C33BR;
1648
1649 Matrix D_BL(3,3);
1650 ex GabBL = G_elastic*aBL*bBL;
1651 D_BL(0,0) = GabBL * C11BL; D_BL(0,1) = 0;
1652 D_BL(0,2) = 0;
1653 D_BL(1,0) = 0; D_BL(1,1) = GabBL * C22BL;
1654 D_BL(1,2) = GabBL * sqrt(aBL*bBL)*C23BL;
1655 D_BL(2,0) = 0; D_BL(2,1) = -GabBL * sqrt(aBL*bBL)*
1656 C23BL; D_BL(2,2) = GabBL * aBL*bBL*C33BL;
1657
1658 Matrix D_FR(3,3);
1659 ex GabFR = G_elastic*aFR*bFR;
1660 D_FR(0,0) = GabFR * C11FR; D_FR(0,1) = 0;
1661 D_FR(0,2) = 0;
1662 D_FR(1,0) = 0; D_FR(1,1) = GabFR * C22FR;
1663 D_FR(1,2) = GabFR * sqrt(aFR*bFR)*C23FR;
1664 D_FR(2,0) = 0; D_FR(2,1) = -GabFR * sqrt(aFR*bFR)*
1665 C23FR; D_FR(2,2) = GabFR * aFR*bFR*C33FR;
1666
1667 Matrix D_FL(3,3);

```

```

1662     ex GabFL = G_elastic*aFL*bFL;
1663     D_FL(0,0) = GabFL * C11FL; D_FL(0,1) = 0;
1664         D_FL(0,2) = 0;
1664     D_FL(1,0) = 0;           D_FL(1,1) = GabFL * C22FL;
1665         D_FL(1,2) = GabFL * sqrt(aFL*bFL)*C23FL;
1665     D_FL(2,0) = 0;           D_FL(2,1) = -GabFL * sqrt(aFL*bFL)*
1665         C23FL;   D_FL(2,2) = GabFL * aFL*bFL*C33FL;
1666 // ****
1667 // Matrix Calculation
1668 // ****
1669     cout << "Matrix Calculation" << endl;
1670
1671
1672     //sys.Matrix_Calculation(Phi, coord_indep_init ,
1672     vel_indep_init , sys, METHOD);
1673     sys.Matrix_Calculation(Phi, coord_indep_init , vel_indep_init ,
1673     Dynamic_Equations , sys , METHOD);
1674
1675
1676
1677 // ****
1678 // Kalker NEW
1679 // ****
1680     Matrix Qo = *sys.get_Matrix( "Q" );
1681
1682     lst kalker_forcesBR , kalker_forcesBL ,kalker_forcesFR ,
1682     kalker_forcesFL ;
1683     kalker_forcesBR =Fx_BR,Fy_BR,Mz_BR;
1684     kalker_forcesBL =Fx_BL,Fy_BL,Mz_BL;
1685     kalker_forcesFR =Fx_FR,Fy_FR,Mz_FR;
1686     kalker_forcesFL =Fx_FL,Fy_FL,Mz_FL;
1687
1688     Matrix Mat_KakerForcesBR = Matrix(kalker_forcesBR .nops() ,1 ,
1688     kalker_forcesBR );
1689     Matrix Mat_KakerForcesBL = Matrix(kalker_forcesBL .nops() ,1 ,
1689     kalker_forcesBL );
1690     Matrix Mat_KakerForcesFR = Matrix(kalker_forcesFR .nops() ,1 ,
1690     kalker_forcesFR );
1691     Matrix Mat_KakerForcesFL = Matrix(kalker_forcesFL .nops() ,1 ,
1691     kalker_forcesFL );
1692
1693     lst new_atom_list_Mat_KakerForcesBR ,
1693     new_exp_list_Mat_KakerForcesBR ;
1694     matrix_list_optimize (Mat_KakerForcesBR ,
1694     new_atom_list_Mat_KakerForcesBR , new_exp_list_Mat_KakerForcesBR
1694 );
1695     sys.export_Matrix_C ("Mat_KakerForcesBR" ,"_Mat_KakerForcesBR" ,
1695     Mat_KakerForcesBR , new_atom_list_Mat_KakerForcesBR ,
1695     new_exp_list_Mat_KakerForcesBR ,ORDER);

```

```

1696 sys.export_function_MATLAB("Mat_KakerForcesBR", "
1697 Mat_KakerForcesBR_",
1698 Mat_KakerForcesBR,
1699 new_atom_list_Mat_KakerForcesBR, new_exp_list_Mat_KakerForcesBR
);
1700
1701
1702
1703
1704
1705
1706
1707
1708
1709
1710
1711
1712
1713
1714
1715
1716
1717
1718
1719
1720
1721
1722

```

`sys.export_function_MATLAB("Mat_KakerForcesBR", "
 Mat_KakerForcesBR_",
 Mat_KakerForcesBR,
 new_atom_list_Mat_KakerForcesBR, new_exp_list_Mat_KakerForcesBR
);
 lst new_atom_list_Mat_KakerForcesBL,
 new_exp_list_Mat_KakerForcesBL;
 matrix_list_optimize (Mat_KakerForcesBL,
 new_atom_list_Mat_KakerForcesBL, new_exp_list_Mat_KakerForcesBL
);
 sys.export_Matrix_C ("Mat_KakerForcesBL", "_Mat_KakerForcesBL",
 Mat_KakerForcesBL, new_atom_list_Mat_KakerForcesBL,
 new_exp_list_Mat_KakerForcesBL ,ORDER);
 sys.export_function_MATLAB("Mat_KakerForcesBL", "
 Mat_KakerForcesBL_",
 Mat_KakerForcesBL,
 new_atom_list_Mat_KakerForcesBL, new_exp_list_Mat_KakerForcesBL
);
 lst new_atom_list_Mat_KakerForcesFR,
 new_exp_list_Mat_KakerForcesFR;
 matrix_list_optimize (Mat_KakerForcesFR,
 new_atom_list_Mat_KakerForcesFR, new_exp_list_Mat_KakerForcesFR
);
 sys.export_Matrix_C ("Mat_KakerForcesFR", "_Mat_KakerForcesFR",
 Mat_KakerForcesFR, new_atom_list_Mat_KakerForcesFR,
 new_exp_list_Mat_KakerForcesFR ,ORDER);
 sys.export_function_MATLAB("Mat_KakerForcesFR", "
 Mat_KakerForcesFR_",
 Mat_KakerForcesFR,
 new_atom_list_Mat_KakerForcesFR, new_exp_list_Mat_KakerForcesFR
);
 lst new_atom_list_Mat_KakerForcesFL,
 new_exp_list_Mat_KakerForcesFL;
 matrix_list_optimize (Mat_KakerForcesFL,
 new_atom_list_Mat_KakerForcesFL, new_exp_list_Mat_KakerForcesFL
);
 sys.export_Matrix_C ("Mat_KakerForcesFL", "_Mat_KakerForcesFL",
 Mat_KakerForcesFL, new_atom_list_Mat_KakerForcesFL,
 new_exp_list_Mat_KakerForcesFL ,ORDER);
 sys.export_function_MATLAB("Mat_KakerForcesFL", "
 Mat_KakerForcesFL_",
 Mat_KakerForcesFL,
 new_atom_list_Mat_KakerForcesFL, new_exp_list_Mat_KakerForcesFL
);
 Matrix dQ_dKFBR=sys.jacobian(Qo.transpose(),Mat_KakerForcesBR);
 Matrix dQ_dKFBL=sys.jacobian(Qo.transpose(),Mat_KakerForcesBL);
 Matrix dQ_dKFFR=sys.jacobian(Qo.transpose(),Mat_KakerForcesFR);
 Matrix dQ_dKFFL=sys.jacobian(Qo.transpose(),Mat_KakerForcesFL);
 lst new_atom_list_dQ_dKFBR, new_exp_list_dQ_dKFBR;
 matrix_list_optimize (dQ_dKFBR, new_atom_list_dQ_dKFBR,
 new_exp_list_dQ_dKFBR);
 sys.export_Matrix_C ("dQ_dKFBR", "_dQ_dKFBR",dQ_dKFBR,
 new_atom_list_dQ_dKFBR, new_exp_list_dQ_dKFBR ,ORDER);
 sys.export_function_MATLAB("dQ_dKFBR", "dQ_dKFBR_",
 dQ_dKFBR, new_atom_list_dQ_dKFBR, new_exp_list_dQ_dKFBR);`

```

1723
1724     lst new_atom_list_dQ_dKFBL , new_exp_list_dQ_dKFBL ;
1725     matrix_list_optimize (dQ_dKFBL, new_atom_list_dQ_dKFBL ,
1726     new_exp_list_dQ_dKFBL) ;
1727     sys.export_Matrix_C ("dQ_dKFBL" , "dQ_dKFBL" ,dQ_dKFBL,
1728     new_atom_list_dQ_dKFBL , new_exp_list_dQ_dKFBL ,ORDER) ;
1729     sys.export_function_MATLAB("dQ_dKFBL" , "dQ_dKFBL" ,dQ_dKFBL,
1730     new_atom_list_dQ_dKFBL , new_exp_list_dQ_dKFBL) ;
1731
1732     lst new_atom_list_dQ_dKFFR , new_exp_list_dQ_dKFFR ;
1733     matrix_list_optimize (dQ_dKFFR, new_atom_list_dQ_dKFFR ,
1734     new_exp_list_dQ_dKFFR) ;
1735     sys.export_Matrix_C ("dQ_dKFFR" , "dQ_dKFFR" ,dQ_dKFFR,
1736     new_atom_list_dQ_dKFFR , new_exp_list_dQ_dKFFR ,ORDER) ;
1737     sys.export_function_MATLAB("dQ_dKFFR" , "dQ_dKFFR" ,dQ_dKFFR,
1738     new_atom_list_dQ_dKFFR , new_exp_list_dQ_dKFFR) ;
1739
1740     Matrix SlipBR (3,1) ;
1741     SlipBR (0,0) =Vcreepx_BR;
1742     SlipBR (1,0) = Vcreepy_BR;
1743     SlipBR (2,0) = Vcreepphi_BR;
1744
1745     Matrix SlipBL (3,1) ;
1746     SlipBL (0,0) = Vcreepx_BL;
1747     SlipBL (1,0) = Vcreepy_BL;
1748     SlipBL (2,0) = Vcreepphi_BL;
1749
1750     Matrix SlipFR (3,1) ;
1751     SlipFR (0,0) =Vcreepx_FR;
1752     SlipFR (1,0) = Vcreepy_FR;
1753     SlipFR (2,0) = Vcreepphi_FR;
1754
1755     Matrix SlipFL (3,1) ;
1756     SlipFL (0,0) = Vcreepx_FL;
1757     SlipFL (1,0) = Vcreepy_FL;
1758     SlipFL (2,0) = Vcreepphi_FL;
1759
1760
1761     Matrix dSBR_dq = sys.jacobian(SlipBR.transpose() ,dq);
1762     Matrix dSBL_dq = sys.jacobian(SlipBL.transpose() ,dq);
1763     Matrix dSFR_dq = sys.jacobian(SlipFR.transpose() ,dq);
1764     Matrix dSFL_dq = sys.jacobian(SlipFL.transpose() ,dq);
1765
1766
1767
1768
1769

```

```

1770 Matrix CKBR = dQ.dKFBR * D_BR*sys.jacobian(SlipBR.transpose(), dq);
1771 Matrix CKBL = dQ.dKFBL * D_BL*sys.jacobian(SlipBL.transpose(), dq);
1772 Matrix CKFR = dQ.dKFFR * D_FR*sys.jacobian(SlipFR.transpose(), dq);
1773 Matrix CKFL = dQ.dKFFL * D_FL*sys.jacobian(SlipFL.transpose(), dq);

1774
1775
1776 lst new_atom_list_dSBR_dq, new_exp_list_dSBR_dq;
1777 matrix_list_optimize (dSBR_dq, new_atom_list_dSBR_dq,
1778 new_exp_list_dSBR_dq);
1779 sys.export_Matrix_C ("dSBR_dq", "dSBR_dq", dSBR_dq,
1780 new_atom_list_dSBR_dq, new_exp_list_dSBR_dq ,ORDER);
1781 sys.export_function_MATLAB("dSBR_dq", "dSBR_dq", dSBR_dq,
1782 new_atom_list_dSBR_dq, new_exp_list_dSBR_dq);

1783 lst new_atom_list_dSBL_dq, new_exp_list_dSBL_dq;
1784 matrix_list_optimize (dSBL_dq, new_atom_list_dSBL_dq,
1785 new_exp_list_dSBL_dq);
1786 sys.export_Matrix_C ("dSBL_dq", "dSBL_dq", dSBL_dq,
1787 new_atom_list_dSBL_dq, new_exp_list_dSBL_dq ,ORDER);
1788 sys.export_function_MATLAB("dSBL_dq", "dSBL_dq", dSBL_dq,
1789 new_atom_list_dSBL_dq, new_exp_list_dSBL_dq);

1790 lst new_atom_list_dSFR_dq, new_exp_list_dSFR_dq;
1791 matrix_list_optimize (dSFR_dq, new_atom_list_dSFR_dq,
1792 new_exp_list_dSFR_dq);
1793 sys.export_Matrix_C ("dSFR_dq", "dSFR_dq", dSFR_dq,
1794 new_atom_list_dSFR_dq, new_exp_list_dSFR_dq ,ORDER);
1795 sys.export_function_MATLAB("dSFR_dq", "dSFR_dq", dSFR_dq,
1796 new_atom_list_dSFR_dq, new_exp_list_dSFR_dq);

1797 cout << " CKalker Exportng" << endl;

1798 lst new_atom_list_CKBR, new_exp_list_CKBR;
1799 matrix_list_optimize (CKBR, new_atom_list_CKBR,
1800 new_exp_list_CKBR);
1801 sys.export_Matrix_C ("CKBR", "CKBR", CKBR, new_atom_list_CKBR ,
1802 new_exp_list_CKBR ,ORDER);
1803 sys.export_function_MATLAB("CKBR", "CKBR", CKBR,
1804 new_atom_list_CKBR , new_exp_list_CKBR);

1805 lst new_atom_list_CKBL, new_exp_list_CKBL;
1806 matrix_list_optimize (CKBL, new_atom_list_CKBL,
1807 new_exp_list_CKBL);
1808 sys.export_Matrix_C ("CKBL", "CKBL", CKBL, new_atom_list_CKBL ,
1809 new_exp_list_CKBL ,ORDER);

```

```

1806 sys.export_function_MATLAB("CKBL", "CKBL", CKBL,
1807 new_atom_list_CKBL, new_exp_list_CKBL);
1808
1809 lst new_atom_list_CKFR, new_exp_list_CKFR;
1810 matrix_list_optimize (CKFR, new_atom_list_CKFR,
1811 new_exp_list_CKFR);
1812 sys.export_Matrix_C ("CKFR", "_CKFR", CKFR, new_atom_list_CKFR,
1813 new_exp_list_CKFR ,ORDER);
1814 sys.export_function_MATLAB("CKFR", "CKFR", CKFR,
1815 new_atom_list_CKFR, new_exp_list_CKFR);
1816
1817 lst new_atom_list_CKFL, new_exp_list_CKFL;
1818 matrix_list_optimize (CKFL, new_atom_list_CKFL,
1819 new_exp_list_CKFL);
1820 sys.export_Matrix_C ("CKFL", "_CKFL", CKFL, new_atom_list_CKFL,
1821 new_exp_list_CKFL ,ORDER);
1822 sys.export_function_MATLAB("CKFL", "CKFL", CKFL,
1823 new_atom_list_CKFL, new_exp_list_CKFL);
1824
1825
1826 lst new_atom_list_D_BR, new_exp_list_D_BR;
1827 matrix_list_optimize (D_BR, new_atom_list_D_BR,
1828 new_exp_list_D_BR);
1829 sys.export_Matrix_C ("D_BR", "_D_BR", D_BR, new_atom_list_D_BR,
1830 new_exp_list_D_BR ,ORDER);
1831 sys.export_function_MATLAB("D_BR", "D_BR", D_BR,
1832 new_atom_list_D_BR, new_exp_list_D_BR);
1833
1834 lst new_atom_list_D_BL, new_exp_list_D_BL;
1835 matrix_list_optimize (D_BL, new_atom_list_D_BL,
1836 new_exp_list_D_BL);
1837 sys.export_Matrix_C ("D_BL", "_D_BL", D_BL, new_atom_list_D_BL,
1838 new_exp_list_D_BL ,ORDER);
1839 sys.export_function_MATLAB("D_BL", "D_BL", D_BL,
1840 new_atom_list_D_BL, new_exp_list_D_BL);
1841
1842 lst new_atom_list_D_FR, new_exp_list_D_FR;
1843 matrix_list_optimize (D_FR, new_atom_list_D_FR,
1844 new_exp_list_D_FR);
1845 sys.export_Matrix_C ("D_FR", "_D_FR", D_FR, new_atom_list_D_FR,
1846 new_exp_list_D_FR ,ORDER);
1847 sys.export_function_MATLAB("D_FR", "D_FR", D_FR,
1848 new_atom_list_D_FR, new_exp_list_D_FR);
1849
1850 lst new_atom_list_D_FL, new_exp_list_D_FL;
1851 matrix_list_optimize (D_FL, new_atom_list_D_FL,
1852 new_exp_list_D_FL);
1853 sys.export_Matrix_C ("D_FL", "_D_FL", D_FL, new_atom_list_D_FL,
1854 new_exp_list_D_FL ,ORDER);
1855 sys.export_function_MATLAB("D_FL", "D_FL", D_FL,
1856 new_atom_list_D_FL, new_exp_list_D_FL);

```

```

1844 // sustituir las fuerzas de kalker (inputs) por cero en Q y
1845 // exportar el nuevo Q (Q2)
1846
1847     vector < symbol_numeric * > fk;
1848     fk .push_back( &Fx_BR ); fk .push_back( &Fy_BR ); fk .push_back( &
1849     Mz_BR );
1850     fk .push_back( &Fx_BL ); fk .push_back( &Fy_BL ); fk .push_back( &
1851     Mz_BL );
1852     fk .push_back( &Fx_FR ); fk .push_back( &Fy_FR ); fk .push_back( &
1853     Mz_FR );
1854     fk .push_back( &Fx_FL ); fk .push_back( &Fy_FL ); fk .push_back( &
1855     Mz_FL );
1856
1857
1858     lst new_atom_list_Q2 , new_exp_list_Q2 ;
1859     matrix_list_optimize (Qo, new_atom_list_Q2 ,new_exp_list_Q2 );
1860     sys.export_Matrix_C ("Q2" , "Q2_ " ,Qo, new_atom_list_Q2 ,
1861     new_exp_list_Q2 ,ORDER);
1862     sys.export_function_MATLAB("Q2" , "Q2_ " ,Qo, new_atom_list_Q2 ,
1863     new_exp_list_Q2 );
1864
1865 // ****
1866 // Export C code for Direct Simulation
1867
1868 cout << "Export C code for Direct Simulation " << endl;
1869 sys.export_Dynamic_Simulation(sys , ORDER , MAPLE);
1870
1871 // ****
1872
1873 // Export Point , Base and Frame Diagrams
1874 // ****
1875 #ifdef GRAPHVIZ
1876     cout << "Export Point , Base and Frame Diagrams" << endl;
1877
1878     sys.export_Graphviz_dot ( );
1879
1880     //Generate eps figure
1881     system("dot -Tps    base_diagram.dot -o plain_base_diagram.eps
1882             ");
1883     system("latex base_diagram.tex");
1884     system("dvips base_diagram.dvi -o base_diagram.eps");
1885 //Generate figure eps

```

```

1885     system("dot -Tps    point_diagram.dot -o plain_point_diagram.
1886             eps");
1887     system("latex point_diagram.tex");
1888     system("dvips point_diagram.dvi -o point_diagram.eps");
1889 // Generate eps figure
1890     system("dot -Tps    frame_diagram.dot -o plain_frame_diagram.
1891             eps");
1892     system("latex frame_diagram.tex");
1893     system("dvips base_diagram.dvi -o base_diagram.eps");
1894 #endif
1895
1896 //
1897 // Export MATLAB environment vector
1898 //
1899 cout << "Export ENVIRONMENT file " << endl;
1900 sys.export_environment_m( );
1901
1902 //
1903 // Export config.ini file
1904 //
1905 cout << "Export config.ini file " << endl;
1906 sys.export_config_ini( );
1907
1908 //
1909 // Export C++ code for Openscenegraph
1910 //
1911 cout << "Export C++ code for Openscenegraph." << endl;
1912 sys.export_open_scene_graph( );
1913
1914 //
1915 // Export State File
1916 //
1917 // *****
1918
1919
1920
1921
1922
1923

```

```

1924     cout << "Export State File" << endl;
1925
1926     lst state;
1927
1928     //state = x , theta , *dx , *dtheta , *ddx , *ddtheta ;
1929
1930     sys.export_write_data_file_C(state);
1931
1932
1933 // ****
1934 // ****
1935 // Export graphics.gnuplot
1936 // ****
1937
1938     cout << "Export GNUPLOT file" << endl;
1939     sys.export_gnuplot ( state );
1940
1941 // ****
1942 // Summary
1943 // ****
1944
1945             cout << "" << endl;
1946             cout << "
1947             *****" << endl;
1948             cout << " ** COMPILED WITH
OPTIONS
1949             *****" << endl;
1950             cout << " ** Dynamic equations
1951             LAGRANGE      **" << endl;
1952             cout << " ** Dynamic equations
1953             VIRTUALPOWER  **" << endl;
1954             cout << " ** Matrix Order
1955             CMO          **" << endl;
1956             cout << " ** Matrix Order
1957             Col_MO       **" << endl;
1958             cout << " ** Matrix Order
1959             Row_MO       **" << endl;
1960             cout << " ** Maple
1961             MAPLE.OFF    **" << endl;
1962             cout << " ** Maple
1963             MAPLE.ON     **" << endl;
1964             cout << " ** ON
1965             cout << "
1966             *****" << endl;
1967
1968
1969 // ****
1970
1971 // END program

```

```

1961 // ****
1962 return 0;
1963 }
1964 }
1965 }
```

Fichero de integración en MATLAB

```

1 clear all
2
3 tic;
4
5 global t
6 coord_init
7 coord_vect_init
8 vel_init
9 vel_vect_init
10 unknowns_init
11 unknowns_vect_init
12 param_init
13 param_vect_init
14 inputs_init
15 inputs_vect_init
16 %
17 global breaks_wheelFR
18 global coefs_wheelFR ;
19
20 splines_data_wheel ;
21 global breaks_wheelFR ;
22 global coefs_wheelFR ;
23 global breaks_wheelFL ;
24 global coefs_wheelFL ;
25 global breaks_wheelBR ;
26 global coefs_wheelBR ;
27 global breaks_wheelBL ;
28 global coefs_wheelBL ;
29
30 global breaks_railFR ;
31 global coefs_railFR ;
32 global breaks_railFL ;
33 global coefs_railFL ;
34 global breaks_railBR ;
35 global coefs_railBR ;
36 global breaks_railBL ;
37 global coefs_railBL ;
38
39
40 NEWTON_RAPHSON_TOLERANCE = 1.0e-14;
41 TRAPEZOIDAL_TOLERANCE = 1.0e-8;
42
43 INTEG = 'EULER'
```

```

45 % INTEG = 'TRAPEZOIDAL'
46 METF='KALKER'
47 %METF='VISCOSO'
48 %METF='SINFUERZAS'
49 t_final = 15;
50 delta_t = 0.001;
51 % alpha=0.001;
52
53
54 Ct=1/delta_t
55
56 % CT2= 0.083314;
57
58 CT2= 0.0278*2;
59
60 % CT2= 0;
61 aFrame=0;
62 Phi=zeros(20,1);
63 dPhi_dq=zeros(20,36);
64 MXdPhi_dqZero=zeros(56,56);
65 Qgamma=zeros(56,1);
66 %%%%%%%%%%%%%%%%
67 % Solution state in equilibrium
68 %%%%%%%%%%%%%%%%
69 q=evalq;
70 dq=zeros(length(q),1);
71 lambda=evallambda;
72
73 x0=[q;lambda]
74 options= optimoptions('fsolve','TolFun',1e-14,'TolX',1e-14)
75 x=fsolve(@F_equidq,x0,options)
76 q=x(1:36,1);
77 lambda=x(36+1:end,1);
78
79 lambdaupdate
80
81 %%%%%%%%%%%%%%%%
82 % Initial Position
83 %%%%%%%%%%%%%%%%
84
85 q(4)=q(4)-0.003;
86 dq(1)=0*(-0.500409153694144);
87 dq(2)=0*(-0.500409153694144);
88 dq(9)=0;
89 dq(15)=0;
90
91 T_WhsF=CT2*dq(2);
92 T_WhsB=CT2*dq(1);
93 T_MOTF = 2.0;
94 T_MOTB = 2.0;
95 error_nr= sqrt(Phi(q,dq) * Phi(q,dq));
96 % aFrame=0.0698;
97

```



```

228 Fy_FL=Kalker_Kinematics_(8,1);
229 Mz_FL=Kalker_Kinematics_(9,1);
230 Fx_FR=Kalker_Kinematics_(10,1);
231 Fy_FR=Kalker_Kinematics_(11,1);
232 Mz_FR=Kalker_Kinematics_(12,1);
233
234
235 MXdPhi_dqZero_=MXdPhi_dqZero(q,dq);
236 Qgamma_=Qgamma(q,dq);
237 ddqlambda = MXdPhi_dqZero_ \ Qgamma_;
238 ddq=ddqlambda(1:n_q,1);
239
240 lambda=ddqlambda(n_q+1:n_lambda+n_q,1);
241
242 lambda1=lambda(1,:);
243 lambda2=lambda(2,:);
244 lambda3=lambda(3,:);
245 lambda4=lambda(4,:);
246 lambda5=lambda(5,:);
247 lambda6=lambda(6,:);
248 lambda7=lambda(7,:);
249 lambda8=lambda(8,:);
250 lambda9=lambda(9,:);
251 lambda10=lambda(10,:);
252 lambda11=lambda(11,:);
253 lambda12=lambda(12,:);
254 lambda13=lambda(13,:);
255 lambda14=lambda(14,:);
256 lambda15=lambda(15,:);
257 lambda16=lambda(16,:);
258 lambda17=lambda(17,:);
259 lambda18=lambda(18,:);
260 lambda19=lambda(19,:);
261 lambda20=lambda(20,:);

262
263
264
265 while t < t_final
266
267
268
269 [aW_BL,bW_BL,cW_BL,dW_BL,lW_BL]=spline_get_coefs(coefs_wheelBL,
270 breaks_wheelBL, uW_BL);
270 [aR_BL,bR_BL,cR_BL,dR_BL,IR_BL]=spline_get_coefs(coefs_railBL,
271 breaks_railBL, uR_BL);
271
272 [aW_BR,bW_BR,cW_BR,dW_BR,lW_BR]=spline_get_coefs(coefs_wheelBR,
273 breaks_wheelBR, uW_BR);
273 [aR_BR,bR_BR,cR_BR,dR_BR,IR_BR]=spline_get_coefs(coefs_railBR,
274 breaks_railBR, uR_BR);
274
275 [aW_FL,bW_FL,cW_FL,dW_FL,lW_FL]=spline_get_coefs(coefs_wheelFL,
276 breaks_wheelFL, uW_FL);
276 [aR_FL,bR_FL,cR_FL,dR_FL,IR_FL]=spline_get_coefs(coefs_railFL,
277 breaks_railFL, uW_FL);

```

```

278 [aW_FR,bW_FR,cW_FR,dW_FR,lW_FR]=spline_get_coefs(coefs_wheelFR ,
279 breaks_wheelFR , uW_FR);
280 [aR_FR,bR_FR,cR_FR,dR_FR,lR_FR]=spline_get_coefs(coefs_railFR ,
281 breaks_railFR , uR_FR);
282 %
283 % if t<2
284 % F_Ay=0;
285 % else
286 % F_Ay=10000;
287 % if t<3
288 % F_Ay=10000;
289 % else
290 % F_Ay=0;
291 % end
292 % end
293 Kalker_Kinematics_ = Kalker_Kinematics(q,dq);
294
295 Fx_BR=Kalker_Kinematics_(1,1);
296 Fy_BR=Kalker_Kinematics_(2,1);
297 Mz_BR=Kalker_Kinematics_(3,1);
298 Fx_BL=Kalker_Kinematics_(4,1);
299 Fy_BL=Kalker_Kinematics_(5,1);
300 Mz_BL=Kalker_Kinematics_(6,1);
301 Fx_FL=Kalker_Kinematics_(7,1);
302 Fy_FL=Kalker_Kinematics_(8,1);
303 Mz_FL=Kalker_Kinematics_(9,1);
304 Fx_FR=Kalker_Kinematics_(10,1);
305 Fy_FR=Kalker_Kinematics_(11,1);
306 Mz_FR=Kalker_Kinematics_(12,1);
307 %
308 MXdPhi_dqZero_=MXdPhi_dqZero(q,dq);
309 Qgamma_=Qgamma(q,dq);
310 ddqlambda = MXdPhi_dqZero_ \ Qgamma_;
311 ddq=ddqlambda(1:n_q,1);
312
313 lambda=ddqlambda(n_q+1:n_lambda+n_q,1);
314
315 lambda1=lambda(1,:);
316 lambda2=lambda(2,:);
317 lambda3=lambda(3,:);
318 lambda4=lambda(4,:);
319 lambda5=lambda(5,:);
320 lambda6=lambda(6,:);
321 lambda7=lambda(7,:);
322 lambda8=lambda(8,:);
323 lambda9=lambda(9,:);
324 lambda10=lambda(10,:);
325 lambda11=lambda(11,:);
326 lambda12=lambda(12,:);
327 lambda13=lambda(13,:);
328 lambda14=lambda(14,:);
329 lambda15=lambda(15,:);
330 lambda16=lambda(16,:);
331 lambda17=lambda(17,:);
332 lambda18=lambda(18,:);

```

```

333 lambda19=lambda(19,:);
334 lambda20=lambda(20,:);
335
336
337
338 %%%%%%
339 % if strcmp(INTEG, 'EULER')
340 %     q = q + (dq + 0.5 * ddq * delta_t) * delta_t;
341 %     dq = dq + ddq * delta_t;
342 % end
343 %%%%%%
344 % if strcmp(INTEG, 'TRAPEZOIDAL')
345 %     qn=q;
346 %     dqn=dq;
347 %     ddqn=ddq;
348 %
349 %     % Euler mejorado
350 %     q = qn + (dqn + 0.5 * ddqn * delta_t) * delta_t;
351 %     q = dqn + ddqn * delta_t;
352 %     error= sqrt((q-qn)*(q-qn))+sqrt((dq-dqn)*(dq-dqn));
353 %
354 %     iter=0;
355 %
356 % while error > TRAPEZOIDAL_TOLERANCE
357 %
358 % aux = MXdPhi_dqZero(q,dq) \ Qgamma(q,dq);
359 %     ddq = aux(1:36,1);
360 %     lambda = aux(37:69,1);
361 %
362 %     qn1=q;
363 %     dqn1=dq;
364 %     ddqn1=ddq;
365 %
366 %     q= qn + 0.5 * delta_t * ( dqn + dqn1 );
367 %     dq=dqn + 0.5 * delta_t * ( ddqn + ddqn1 );
368 %     error= sqrt((q-qn1)*(q-qn1))+sqrt((dq-dqn1)*(dq-dqn1));
369 %     iter=iter+1;
370 % end
371 % end
372 %%%%%%
373
374
375
376 t = t +delta_t;
377
378
379 [aW_BL,bW_BL,cW_BL,dW_BL,lW_BL]=spline_get_coefs(coefs_wheelBL,
380 breaks_wheelBL, uW_BL);
380 [aR_BL,bR_BL,cR_BL,dR_BL,lR_BL]=spline_get_coefs(coefs_railBL,
381 breaks_railBL, uR_BL);
382
382 [aW_BR,bW_BR,cW_BR,dW_BR,lW_BR]=spline_get_coefs(coefs_wheelBR,
383 breaks_wheelBR, uW_BR);

```



```

477 lambda16=lambda(16,:);
478 lambda17=lambda(17,:);
479 lambda18=lambda(18,:);
480 lambda19=lambda(19,:);
481 lambda20=lambda(20,:);

482

483

484
485 while t < t_final
486
487
488
489 [aW_BL,bW_BL,cW_BL,dW_BL,lW_BL]=spline_get_coefs(coefs_wheelBL,
490 breaks_wheelBL, uW_BL);
490 [aR_BL,bR_BL,cR_BL,dR_BL,lR_BL]=spline_get_coefs(coefs_railBL,
491 breaks_railBL, uR_BL);

491
492 [aW_BR,bW_BR,cW_BR,dW_BR,lW_BR]=spline_get_coefs(coefs_wheelBR,
493 breaks_wheelBR, uW_BR);
493 [aR_BR,bR_BR,cR_BR,dR_BR,lR_BR]=spline_get_coefs(coefs_railBR,
494 breaks_railBR, uR_BR);

495 [aW_FL,bW_FL,cW_FL,dW_FL,lW_FL]=spline_get_coefs(coefs_wheelFL,
496 breaks_wheelFL, uW_FL);
496 [aR_FL,bR_FL,cR_FL,dR_FL,lR_FL]=spline_get_coefs(coefs_railFL,
497 breaks_railFL, uW_FL);

498 [aW_FR,bW_FR,cW_FR,dW_FR,lW_FR]=spline_get_coefs(coefs_wheelFR,
499 breaks_wheelFR, uW_FR);
499 [aR_FR,bR_FR,cR_FR,dR_FR,lR_FR]=spline_get_coefs(coefs_railFR,
500 breaks_railFR, uR_FR);

501 %
501 % if t<2
502 % F_Ay=0;
503 % else
504 %
505 % F_Ay=10000;
506 % if t<3
507 % F_Ay=10000;
508 % else
509 %
510 % F_Ay=0;
511 % end
512 % end
513
514 MXdPhi_dqZero_=MXdPhi_dqZero(q,dq);
515 Qgamma_=Qgamma(q,dq);
516 ddqlambda = MXdPhi_dqZero_ \ Qgamma_;
517 ddq=ddqlambda(1:n_q,1);

518
519 lambda=ddqlambda(n_q+1:n_lambda+n_q,1);

520
521 lambda1=lambda(1,:);
522 lambda2=lambda(2,:);
523 lambda3=lambda(3,:);
524 lambda4=lambda(4,:);
525 lambda5=lambda(5,:);

```

```

526 lambda6=lambda(6,:);
527 lambda7=lambda(7,:);
528 lambda8=lambda(8,:);
529 lambda9=lambda(9,:);
530 lambda10=lambda(10,:);
531 lambda11=lambda(11,:);
532 lambda12=lambda(12,:);
533 lambda13=lambda(13,:);
534 lambda14=lambda(14,:);
535 lambda15=lambda(15,:);
536 lambda16=lambda(16,:);
537 lambda17=lambda(17,:);
538 lambda18=lambda(18,:);
539 lambda19=lambda(19,:);
540 lambda20=lambda(20,:);

541
542
543
544 %%%%%%
545 % if strcmp(INTEG, 'EULER')
546 %    q = q + (dq + 0.5 * ddq * delta_t) * delta_t;
547 %    dq = dq + ddq * delta_t;
548 % end
549 %%%%%%
550 % if strcmp(INTEG, 'TRAPEZOIDAL')
551 %    qn=q;
552 %    dqn=dq;
553 %    ddqn=ddq;
554 %
555 %    Euler mejorado
556 %    q = qn + (dqn + 0.5 * ddqn * delta_t) * delta_t;
557 %    q = dqn + ddqn * delta_t;
558 %    error= sqrt((q-qn)*(q-qn))+sqrt((dq-dqn)*(dq-dqn));
559 %
560 %    iter=0;
561 %
562 % while error > TRAPEZOIDAL_TOLERANCE
563 %
564 %    aux = MXdPhi_dqZero(q,dq) \ Qgamma(q,dq);
565 %    ddq = aux(1:36,1);
566 %    lambda = aux(37:69,1);
567 %
568 %    qn1=q;
569 %    dqn1=dq;
570 %    ddqn1=ddq;
571 %
572 %    q= qn + 0.5 * delta_t * ( dqn + dqn1 );
573 %    dq=dqn + 0.5 * delta_t * ( ddqn + ddqn1 );
574 %    error= sqrt((q-qn1)*(q-qn1))+sqrt((dq-dqn1)*(dq-dqn1));
575 %    iter=iter+1;
576 %
577 % end
578 %%%%%%
579

```



```

cCh , aCh , bCh , bWhsB , cWhsB , aWhsB , xWhsB , yWhsB , zWhsB , bWhsF , cWhsF ,
aWhsF , xWhsF , yWhsF , zWhsF , thetaW_BL , uW_BL , uR_BL , thetaR_BL ,
thetaW_BR , uW_BR , uR_BR , thetaR_BR , thetaW_FL , uW_FL , uR_FL , thetaR_FL
, thetaW_FR , uW_FR , uR_FR , thetaR_FR , Fx_BR , Fy_BR , Mz_BR , Fx_BL ,
Fy_BL , Mz_BL , Fx_FL , Fy_FL , Mz_FL , Fx_FR , Fy_FR , Mz_FR ) ;

627
628
629
630 end
631
632
633 fclose ( fid ) ;
634
635
636 end

```

Fichero Solve Dynamics2

```

1 %Solve_Dynamics
2 dPhi_dqSize=size(dPhi_dq(q,dq));
3 q_size = length(q);
4 Zeros=zeros(dPhi_dqSize(1));
5
6
7 [aW_BL,bW_BL,cW_BL,dW_BL,lW_BL]=spline_get_coefs(coefs_wheelBL,
8 breaks_wheelBL , uW_BL);
9 [aR_BL,bR_BL,cR_BL,dR_BL,IR_BL]=spline_get_coefs(coefs_railBL ,
breaks_railBL , uR_BL);
10
11 [aW_BR,bW_BR,cW_BR,dW_BR,lW_BR]=spline_get_coefs(coefs_wheelBR ,
breaks_wheelBR , uW_BR);
12 [aR_BR,bR_BR,cR_BR,dR_BR,IR_BR]=spline_get_coefs(coefs_railBR ,
breaks_railBR , uR_BR);
13
14 [aW_FL,bW_FL,cW_FL,dW_FL,lW_FL]=spline_get_coefs(coefs_wheelFL ,
breaks_wheelFL , uW_FL);
15 [aR_FL,bR_FL,cR_FL,dR_FL,IR_FL]=spline_get_coefs(coefs_railFL ,
breaks_railFL , uW_FL);
16
17 [aW_FR,bW_FR,cW_FR,dW_FR,lW_FR]=spline_get_coefs(coefs_wheelFR ,
breaks_wheelFR , uW_FR);
18 [aR_FR,bR_FR,cR_FR,dR_FR,IR_FR]=spline_get_coefs(coefs_railFR ,
breaks_railFR , uR_FR);
19
20 %MQn = MQ(q,dq,t,param,input);
21 Mn = M(q,dq);
22 %Qn = Q(q,dq,t,param,input);
23 Q2n= Q2(q,dq);
24 CKBRe= CKBR(q,dq);
25 CKBLr= CKBL(q,dq);
26 CKFRr= CKFR(q,dq);
27 CKFLr= CKFL(q,dq);
28 dPhi_dqn= dPhi_dq(q,dq);
29 Gamman = Gamma(q,dq);
30
31 % Output=Output(q,dq,ddq,unkn,t,param,input);
32 Radius_BR_ = Radius_BR(q,dq);
33 Radius_BL_ = Radius_BL(q,dq);
34 Radius_FR_ = Radius_FR(q,dq);
35 Radius_FL_ = Radius_FL(q,dq);
36 tol_r=1e-5;
37
38 if Radius_BR_(9,1)<tolr
39 velBR=tolr;
40 velBL=tolr;
41 velFR=tolr;
42 velFL=tolr;
43 else
44 velBR=Radius_BR_(9,1);
45 velBL=Radius_BL_(9,1);
46 velFR=Radius_FR_(9,1);
47
```

```

48 | velFL=Radius_FL_(9,1);
49 |
50 | end
51 |
52 | %
53 | %MX=[Mn,dPhi_dqn';dPhi_dqn,Zeros];
54 | %QG=[Q2n-(CKBRn/velBR+CKBLn/velBL+CKFRn/velFR+CKFLn/velFL)*dq
55 | ;Gamman];
56 | CKT=(CKBRn/velBR+CKBLn/velBL+CKFRn/velFR+CKFLn/velFL);
57 | MX=[Mn+(CKT*delta_t),(dPhi_dq(q,dq)'*delta_t);dPhi_dqn,Zeros];
58 |
59 |
60 | dqlambda=pinv(MX)*QG;
61 | dq=dqlambda(1:q_size);
62 | unkn=dqlambda(q_size+1:length(dqlambda));
63 |
64 |
65 |
66 | Forces_Vcreep_BL1=D_BL(q,dq)*dSBL_dq(q,dq)*dq/velBL;
67 | Forces_Vcreep_BR1=D_BR(q,dq)*dSBR_dq(q,dq)*dq/velBR;
68 | Forces_Vcreep_FL1=D_FL(q,dq)*dSFL_dq(q,dq)*dq/velFL;
69 | Forces_Vcreep_FR1=D_FR(q,dq)*dSFR_dq(q,dq)*dq/velFR;
70 |
71 |
72 | Fx_BR=Forces_Vcreep_BR1(1,1);
73 | Fy_BR=Forces_Vcreep_BR1(2,1);
74 | Mz_BR=Forces_Vcreep_BR1(3,1);
75 | Fx_BL=Forces_Vcreep_BL1(1,1);
76 | Fy_BL=Forces_Vcreep_BL1(2,1);
77 | Mz_BL=Forces_Vcreep_BL1(3,1);
78 | Fx_FL=Forces_Vcreep_FL1(1,1);
79 | Fy_FL=Forces_Vcreep_FL1(2,1);
80 | Mz_FL=Forces_Vcreep_FL1(3,1);
81 | Fx_FR=Forces_Vcreep_FR1(1,1);
82 | Fy_FR=Forces_Vcreep_FR1(2,1);
83 | Mz_FR=Forces_Vcreep_FR1(3,1);

```

Fichero KalkerCoeffUpdate2

```

1 % KalkerCoeffUpdate
2
3 Radius_BR_ = Radius_BR(q,dq);
4 Radius_BL_ = Radius_BL(q,dq);
5 Radius_FR_ = Radius_FR(q,dq);
6 Radius_FL_ = Radius_FL(q,dq);
7
8
9 Ry_wBR = Radius_BR_(1,1);
10 Rx_wBR = Radius_BR_(2,1);
11 Ry_rBR = Radius_BR_(3,1);
12 Rx_rBR = Radius_BR_(4,1);
13
14 N_BR=Radius_BR_(5,1);
15
16 R_BR = [Rx_wBR,Rx_rBR,Ry_wBR,Ry_rBR];
17
18 Ry_wBL = Radius_BL_(1,1);
19 Rx_wBL = Radius_BL_(2,1);
20 Ry_rBL = Radius_BL_(3,1);
21 Rx_rBL = Radius_BL_(4,1);
22 N_BL=Radius_BL_(5,1);
23 R_BL = [Rx_wBL,Rx_rBL,Ry_wBL,Ry_rBL];
24
25 N_FL=Radius_FL_(5,1);
26
27 Ry_wFL = Radius_FL_(1,1);
28 Rx_wFL = Radius_FL_(2,1);
29 Ry_rFL = Radius_FL_(3,1);
30 Rx_rFL = Radius_FL_(4,1);
31 R_FL = [Rx_wFL,Rx_rFL,Ry_wFL,Ry_rFL];
32 % Output_=Output(q,dq,ddq,unkn,t,param,input);
33
34 N_FR=Radius_FR_(5,1);
35
36 Ry_wFR = Radius_FR_(1,1);
37 Rx_wFR = Radius_FR_(2,1);
38 Ry_rFR = Radius_FR_(3,1);
39 Rx_rFR = Radius_FR_(4,1);
40 R_FR = [Rx_wFR,Rx_rFR,Ry_wFR,Ry_rFR];
41
42 [aBR,bBR] = Hertz_ellipse( N_BR , R_BR ,param( 59 ),param( 60 ) );
43 param( 62:63 ) = [aBR,bBR];
44 param( 70:73 ) = kalker_coeff(aBR,bBR,param( 60 ) );
45
46 [aBL,bBL] = Hertz_ellipse( N_BL , R_BL ,param( 59 ),param( 60 ) );
47 param( 64:65 ) = [aBL,bBL];
48 param( 74:77 ) = kalker_coeff(aBL,bBL,param( 60 ) );
49
50 [aFR,bFR] = Hertz_ellipse( N_FR , R_FR ,param( 59 ),param( 60 ) );
51 param( 66:67 ) = [aFR,bFR];
52 param( 78:81 ) = kalker_coeff(aFR,bFR,param( 60 ) );
53
54 [aFL,bFL] = Hertz_ellipse( N_FL , R_FL ,param( 59 ),param( 60 ) );
55 param( 68:69 ) = [aFL,bFL];

```

```

56 param( 82:85 ) = kalker_coeff(aFL,bFL,param( 60 )) ;
57
58 C11BR=param( 70 ) ;
59 C22BR=param( 71 ) ;
60 C23BR=param( 72 ) ;
61 C33BR=param( 73 ) ;
62 C11BL=param( 74 ) ;
63 C22BL=param( 75 ) ;
64 C23BL=param( 76 ) ;
65 C33BL=param( 77 ) ;
66 C11FR=param( 78 ) ;
67 C22FR=param( 79 ) ;
68 C23FR=param( 80 ) ;
69 C33FR=param( 81 ) ;
70 C11FL=param( 82 ) ;
71 C22FL=param( 83 ) ;
72 C23FL=param( 84 ) ;
73 C33FL=param( 85 ) ;
74
75 if bRailB <0
76
77 C23BR=-C23BR ;
78 C23BL=-C23BL ;
79 C23FR=-C23FR ;
80 C23FL=-C23FL ;
81
82 end

```

Fichero de Cálculo de Splines en MATLAB

```
1 clear all
2 close all
3
4
5 x0
6 =[-11.6363438450441;-11.4395488186953;-11.0602733846826;-7.97808358844242;-4.03387719528
7 options=optimoptions('fminunc','Algorithm','quasi-newton','MaxIter
8 ',2000,'TolFun',1e-8,'TolX',1e-8,'MaxFunEvals',2000000)
9 x=fminunc(@object,x0,options);
% x=fminunc(@object,x0)
10
11 for i=1:length(x);
12     yy(i)=myfun(x(i));
13 end
14
15 z=yy/1000;
16 r=x/1000
17 sy=spline(r,z);
18
19
20
21 hold on
22
23 xx=[ -11.67:0.001:11.67];
24
25 for i=1:length(xx);
26     yy1(i)=myfun(xx(i));
27 end
28 z1=yy1/1000;
29 r1=xx/1000
30
31
32 yyspline=ppval(sy,r1);
33 plot(r1,z1,'r')
34 axis equal
35 plot(r1,yyspline,'b')
36 plot(r,z,'o')
37 error1=norm(yyspline-yy1);
```